

15867

KURUTMA SİSTEMLERİNDE OPTİMUM DREN
ARALIĞININ BELİRLENMESİ

Recep BAKİŞ

Anadolu Üniversitesi
Fen Bilimleri Enstitüsü
Lisansüstü Yönetmeliği Uyarınca
İnşaat Mühendisliği Anabilim Dalı
Hidrolik bilim Dalında

YÜKSEK LİSANS TEZİ

Olarak Hazırlanmıştır.

T. C.
Yükseköğretim Kurulu
Dokümantasyon Merkezi

Danışman : Doç.Dr. Sedat KAPDAŞLI

Şubat - 1991

Recep BAKIŞ'ın YÜKSEK LİSANS TEZİ olarak hazırladığı "Kurutma Sistemlerinde Optimum Dren Aralığının Belirlenmesi" başlıklı bu çalışma jürimizce lisansüstü yönetmeliğinin ilgili maddeleri uyarınca değerlendirilerek kabul edilmiştir.

Üye : Doç.Dr. Sedat KAPDAŞLI



Üye : Prof.Dr. Necati AĞIRALIOĞLU



Üye : Prof.Dr. Mehmet BİLGİN



Fen Bilimleri Enstitüsü Yönetim Kurulu'nun20.ŞUBAT.1991....
gün ve ..268-7.... sayılı kararıyla onaylanmıştır.


Prof.Dr. Rüstem KAYA

Enstitü Müdürü

Ö N S Ö Z

Tarım topraklarında borulu drenaj, zeminin su ile doygun hale gelmesini, zararlı tuzların birikmesini ve toprak yapısının bozulmasını engellemek amacıyla, fazla suların arazi dışına atılmasını sağlar.

Drenaj problemini, toprak yüzeyinde biriken ve toprak içinde bitki kök bölgesi derinliğinde toplanan fazla sular meydana getirmektedir. Drenaj sistemlerinin projelendirilmesinde dren aralıklarının; doğru ve yeterli bir şekilde planlanması lazım.

Bu çalışmada dren aralıklarının optimum olarak hesaplanması amaçlanmıştır. Bitki kök derinliğine göre, yeraltı suyunu zemin yüzeyinden belirli bir mesafede tutmak için, yerleştirilecek dren borularının aralıkları araştırılmıştır.

Homojen ve homojen olmayan zeminlerde, permeabiliteye bağlı olarak dren aralıkları hesaplanmış ve nap yüzeyi açık bir şekilde belirlenmiştir.

Dren aralıklarında oluşan akımın çözümü için, BASIC dilinde hazırlanmış örnek bilgisayar programı hazırlanmış ve çözümler sonlu farklar metoduna göre yapılmıştır.

Yaptığım bu çalışma sırasında değerli düşünelerinden yararlandığım, İstanbul Teknik Üniversitesi'nden saygı değer tez hocam sayın Doç.Dr. Sedat KAPDASLI ile bölümümüz öğretim üyesi sayın Hasan TOZLUK'a teşekkür ederim.

Ö Z E T

Bu çalışmada, tarım topraklarındaki borulu drenaj aralıklarının optimum hesabı yapılmıştır. Dren aralıklarının belirlenmesinde; hidrolojik şartlar, toprağın fiziksel ve kimyasal özellikleri ile geçirimsiz tabaka derinliği en önemli faktörlerdir.

Birinci bölümde, drenajın tanım ve özellikleri ile dren tesislerinde meydana gelen gelişmeler açıklanmıştır.

İkinci bölümde, tarım topraklarındaki zararlı suların meydana geliş nedenleri; alınacak önlemler ve kurutma metodlarından bahsedilmiştir.

Üçüncü bölümde, drenajın fayda ve mahzurları ile dren şebekelerinde kullanılan boruların özellikleri, bu borularla yapılan hidrolik hesaplar açıklanmıştır.

Dördüncü bölümde, dren aralıkları hakkında yapılan literatür araştırmaları ve özellikleri incelenmiş, önemli araştırmalar hakkında bilgi verilmiştir.

Beşinci bölümde, homojen ve homojen olmayan zeminlerde meydana gelen yeraltı suyu akımı, sonlu farklar metoduyla çözülmüştür.

Altıncı bölümde, örnek çözümler ve şekiller yapılmıştır.

Yedinci bölümde, bu çalışmadan elde edilen sonuçlar belirtilmiştir.

S U M M A R Y

In this study the optimization of drainage spacing has been made for piped drainage systems in agricultural fields. The hydrological conditions, the physical and chemical properties of the ground and the depth of impermeable layer are the most important factors to compute drainage spaces.

Definition and specifications of drains and developments in the area are explained in the first chapter.

The reasons emergence of the harmful waters in the agricultural fields, possible measures to be taken and the drainage methods are subjected in the second chapter.

The third chapter is attributed to the topics of advantages and disadvantages of drainage, and properties of the pipes which are used in drainage system. Furthermore the hydrolic analysis are explained for the pipes in this chapter.

In the fourth chapter studies are examined which are made on the subject in the past some informations are given for the ones which are assumed most important published works in the literature.

In the fifth chapter, the underground water flow through the homogeneous and non homogeneous soil is analyzed by employing the method of finite difference.

Some solved problems and drawings are presented in the sixth chapter. The results of the study are presented in the seventh chapter which is constituted the last part of the study.

İÇ İNDEKİLER

| | <u>Sayfa</u> |
|---|--------------|
| ÖNSÖZ | 111 |
| ÖZET | iv |
| SUMMARY | v |
| ŞEKİLLER DİZİNİ | xi |
| TABLOLAR DİZİNİ | xv |
| SİMGELER DİZİNİ | xvi |
| I. BÖLÜM | 1 |
| 1. GİRİŞ | 1 |
| 1.1. Dren Tesislerinin Tarihi Gelişimi | 1 |
| 1.2. Dren Tesislerinde Meydana Gelen Gelişmeler .. | 2 |
| II. BÖLÜM | 3 |
| 2. KURUTMANIN TEMELİ | 3 |
| 2.1. Kuraklık İndeksi | 3 |
| 2.2. Tarım Topraklarındaki Zararlı Sular | 4 |
| 2.2.1. Zararlı suların meydana geliş nedenleri | 4 |
| 2.2.2. Tarım topraklarını etkileyen zararlı sular | 4 |
| 2.2.2.1. Yağış suları | 4 |
| 2.2.2.2. Deşarj kanallarının yetersizliği | 6 |
| 2.2.2.3. Yüzeysel akışa geçemeyen yağış suları | 6 |
| 2.2.2.4. Yeraltı suyunun zemin yüze- yine yakın olması | 6 |

İÇ İNDEKİLER (Devam)

| | <u>Sayfa</u> |
|---|--------------|
| 2.2.2.5. Sulama suyunun fazla miktarda kullanılması | 6 |
| 2.2.2.6. Akarsulardan dolayı oluşan zaralı sular..... | 7 |
| 2.2.2.7. Civar arazilerden gelen zararlı sular | 7 |
| 2.2.3. Kurutulacak arazi hakkında gerekli bilgiler | 8 |
| 2.2.4. Kurutma metodları | 8 |
| 2.3. Toprakların Sınıflandırılması | 9 |
| 2.3.1. Sulak bölge toprakları(Humid) | 10 |
| 2.3.2. Kurak bölge toprakları (Arid) | 10 |
| III. BÖLÜM..... | 11 |
| 3. DRENAJIN ESASLARI | 11 |
| 3.1. Drenajın Faydaları | 11 |
| 3.2. Drenlerin Açık Hendeklere Göre Faydaları ... | 11 |
| 3.3. Drenlerin Açık Hendeklere Göre Kusurları .. | 12 |
| 3.4. Dren Boruları | 12 |
| 3.4.1. Dren borularının başlıca özellikleri | 12 |
| 3.4.2. Kil dren boruları | 13 |
| 3.4.3. Plastik dren boruları | 15 |
| 3.4.4. Topraktaki fazla suların dren boru- larına girişi | 18 |
| 3.4.5. Yeraltı suyu hareketi | 20 |
| 3.5. Permeabilitenin Belirlenmesi | 20 |
| 3.5.1. Permeabilitenin belirlenmesi metodları | 20 |

İÇ İNDEKİLER (Devam)

| | <u>Sayfa</u> |
|--|--------------|
| 3.5.2. k (permeabilite) katsayısının belirlenmesi | 21 |
| 3.6. Dren Şebekeleri | 23 |
| 3.6.1. Ana drenler | 24 |
| 3.6.2. Toplayıcı drenler | 25 |
| 3.6.3. Emici drenler | 25 |
| 3.6.4. Çevre dren borusu | 27 |
| 3.7. Hidrolik Hesap | 27 |
| 3.7.1. Drenler için teorik akım formülü ... | 28 |
| 3.7.2. Drenler için empirik formül | 31 |
| IV. BÖLÜM | 32 |
| 4. DREN ARALIKLARININ HESABI | 32 |
| 4.1. Genel | 32 |
| 4.2. Düzgün ve Düzgün olmayan Akım Şartları .. | 32 |
| 4.2.1. Düzgün akış şartları | 33 |
| 4.3. Hooghoudt Denkleminin Esasları | 35 |
| 4.3.1. Su seviyesi için Hooghoudt denklemi- nin yağmur veya sulama suyu ile be- lirlenmesi | 37 |
| 4.3.2. Hooghoudt'un eşdeğer tabakası d 'nin hesabı | 40 |
| 4.3.3. Tabakalaşmış zemin için Hooghoudt denklemi | 41 |
| 4.3.4. Hooghoudt denkleminin kullanılışı .. | 42 |
| 4.3.5. Yağmur suyu veya sulama suyu oranının belirlenmesi..... | 42 |
| 4.3.6. Hooghoudt denkleminin ıslak alanlara uygulanması | 43 |

İÇİNDEKİLER (Devam)

| | <u>Sayfa</u> |
|---|--------------|
| 4.4. Kirkham 1958 Formülü | 44 |
| 4.5. Bureau of Reclamation Formülü | 44 |
| 4.6. Ernst Formülü | 46 |
| 4.7. Donnan Formülü | 50 |
| V. BÖLÜM | 53 |
| 5. ÇALIŞMANIN AMACI | 53 |
| 5.1. Genel | 53 |
| 5.2. Yeraltı Su Yüzeyi Denklemi | 54 |
| 5.3. Geçirimlilik Katsayıları Farklı Zeminlerde Nap Yüzeyi | 56 |
| 5.4. İki Boyutlu Akım Denklemi | 59 |
| 5.5. Laplace Denkleminin Sonlu Fark İfadesi | 62 |
| 5.6. Başlıca Sınır Şartları | 66 |
| 5.7. Akım Değerlerinin İterasyon Metoduyla Hesaplanması | 66 |
| VI. BÖLÜM | 69 |
| 6.1. Genel | 69 |
| 6.2. Örnek Çözümler | 70 |
| 6.2.1. Düşey yönde iki tabakalı zemin durumu | 70 |
| 6.2.2. Düşey yönde iki tabakalı zemin durumu | 76 |
| 6.2.3. Düşey yönde üç tabakalı zemin durumu | 82 |
| 6.2.4. Düşey yönde üç tabakalı zemin durumu | 88 |
| 6.2.5. Permeabilitesleri farklı üç tabakalı zemin durumu | 92 |

İÇ İNDEKİLER (Devam)

| | <u>Sayfa</u> |
|---|--------------|
| 6.2.6. Permeabiliteleri farklı iki tabakalı zemin durumu | 96 |
| 6.2.7. Permeabiliteleri farklı iki tabakalı zemin durumu | 100 |
| 6.2.8. Düşey yönde iki tabakalı zemin durumu | 104 |
| 6.2.9. Permeabiliteleri farklı düşey yönde iki tabakalı zemin durumu | 108 |
| 6.2.10. Permeabiliteleri farklı iki tabakalı zemin durumu | 112 |
| 6.3. Su Yüzeyi Farklarının Hesabı | 118 |
| 6.3.1. $k/k_{\text{ort}} > 1.0$ durumu | 118 |
| 6.3.2. $k/k_{\text{ort}} < 1.0$ durumu | 121 |
| VII. BÖLÜM | 123 |
| SONUÇLAR | 123 |
| KAYNAKLAR | 125 |
| EKLER | |

Ş E K İ L L E R D İ Z İ N İ

| | <u>Sayfa</u> |
|---|--------------|
| 2.1. Toprak profili | 9 |
| 3.1. Geçirimsiz topraklarda bozuk drenajın etkisi | 18 |
| 3.2. Dren borusunun giriş direncine bağlı olarak taban su seviyesinin değişmesi | 19 |
| 3.3. Kil (k) ve PVC (P) borularına suyun akımı | 19 |
| 3.4. Sabit seviyeli permeabilite deneyi | 21 |
| 3.5. Enine ve eğik drenlerin yerleştirilmesi | 26 |
| 3.6. Dik drenlerin yerleştirilmesi | 26 |
| 3.7. Toplayıcı drenlerle-Emici drenlerin bağlantı yerleri..... | 27 |
| 3.8. Dren borularının çap (A _G) grafiği suları (V) debi (Q) (kil künk drenler $k_b = 0.7 \text{ mm}$) | 29 |
| 3.9. Oluklu dren borularının çap (A _G) grafiği su hızı (V) debi (Q) (kıvrımlı PVC dren boruları $k_b = 2.0 \text{ mm}$) | 30 |
| 3.10. Dren borularının çap (A _G) grafiği suları (V) debi (Q) (Düz PVC borular $k_b = 0.1 \text{ mm}$) | 31 |
| 4.1. Düşey, radyal ve yatay akış bileşenleri | 34 |
| 4.2. Hooghoudt için drenaj-derinlik diyagramı | 37 |
| 4.3. Hooghoudt'a göre dren altında oluşan akım | 41 |
| 4.4. İki tabakalı toprakta tabakaların pozisyonları | 47 |
| 4.5. Ernst formülünün prensibi | 47 |
| 4.6. Homojen toprak | 48 |
| 4.7. Dren farklı iki tabakanın sınırlıdadır | 48 |
| 4.8. Dren borusu üst tabakada bulunması durumu | 49 |
| 4.9. Donnan formülünün prensibi | 50 |
| 5.1. Düşey yönde tabakalaşmış zemin | 53 |
| 5.2. Dupuit formülünün prensibi | 54 |
| 5.3. İki tabakalı zemin durumunda yeraltı su yüzeyi | 56 |
| 5.4. Üç tabakalı zemin durumunda yeraltı su yüzeyi | 58 |

Ş E K İ L L E R D İ Z İ N İ (Devam)

| | <u>Sayfa</u> |
|---|--------------|
| 5.5. Dizleme akım durumu | 61 |
| 5.6. Sonlu fark ağı | 63 |
| 5.7. Eğri sınırlarında sonlu fark ağı | 64 |
| 6.1. Permeabilitesi farklı zeminde dren aralığının belirlenmesi | 70 |
| 6.1.a. Permeabilitesi farklı zeminde yeraltı su yüzeyi ve akım çizgileri | 72 |
| 6.1.b. Homojen zeminde yeraltı suyu akımı ve akım çizgileri | 73 |
| 6.1.c. Homojen ve homojen olmayan zeminlerde nap yüzeyleri | 74 |
| 6.1.d. Homojen ve homojen olmayan zeminlerde nap yüzeyleri arasındaki Δh farkları | 75 |
| 6.2. Permeabilitesi farklı zeminlerde dren aralığının belirlenmesi | 76 |
| 6.2.a. Homojen olmayan zeminlerde nap yüzeyi | 78 |
| 6.2.b. Homojen zeminde nap yüzeyi | 79 |
| 6.2.c. Homojen ve homojen olmayan zeminlerde nap yüzeyi | 80 |
| 6.2.d. Homojen ve homojen olmayan zeminlerde nap yüzeyleri arasındaki Δh farkları | 81 |
| 6.3. Permeabilitesi farklı üç tabakalı zeminde dren aralığının (L) belirlenmesi | 82 |
| 6.3.a. Homojen olmayan zeminde nap yüzeyi | 84 |
| 6.3.b. Homojen zeminde nap yüzeyi | 85 |
| 6.3.c. Homojen ve homojen olmayan zeminde nap yüzeyi | 86 |
| 6.3.d. Homojen ve homojen olmayan zeminlerde nap yüzeyleri arasındaki Δh farkları | 87 |
| 6.4. Permeabilitesi farklı üç tabakalı zeminde dren aralığının belirlenmesi | 88 |
| 6.4.a. Homojen ve homojen olmayan zeminlerde nap yüzeyleri | 90 |
| 6.4.b. Homojen ve homojen olmayan zeminlerde nap yüzeyleri arasındaki Δh farkları | 91 |

Ş E K İ L L E R D İ Z İ N İ (Devam)

Sayfa

| | |
|--|-----|
| 6.5. Düşey yönde farklı geçirimliliğe ait zeminde dren aralığıının belirlenmesi | 92 |
| 6.5.a. Homojen ve homojen olmayan zeminlerde nap yüzeyleri | 94 |
| 6.5.b. Homojen ve homojen olmayan zeminlerde nap yüzeyleri arasındaki Δh farkları | 95 |
| 6.6. Düşey yönde iki tabakalı zemin durumu | 96 |
| 6.6.a. Homojen ve homojen olmayan zeminlerde nap yüzeyleri | 98 |
| 6.6.b. Homojen ve homojen olmayan zeminlerde nap yüzeyleri arasındaki Δh farkları | 99 |
| 6.7. Düşey yönde iki tabakalı zeminde dren aralığının belirlenmesi | 100 |
| 6.7.a. Homojen ve homojen olmayan zeminlerde nap yüzeyleri | 102 |
| 6.7.b. Homojen ve homojen olmayan zeminlerde nap yüzeyleri arasındaki Δh farkları | 103 |
| 6.8. Permeabilitesi farklı zeminde dren aralığının belirlenmesi | 104 |
| 6.8.a. Homojen ve homojen olmayan zeminlerde nap yüzeyleri | 106 |
| 6.8.b. Homojen ve homojen olmayan zeminlerde nap yüzeyleri arasındaki Δh farkları | 107 |
| 6.9. Permeabilitesi farklı düşey yönde iki tabakalı zemin durumu | 108 |
| 6.9.a. Homojen ve homojen olmayan zeminlerde nap yüzeyleri | 110 |
| 6.9.b. Homojen ve homojen olmayan zeminlerde nap yüzeyleri arasındaki Δh farkları | 111 |
| 6.10. Permeabilitesi farklı iki tabakalı zeminlerde dren aralığıının durumu | 112 |
| 6.10.a. Homojen ve homojen olmayan zeminlerde nap yüzeyleri | 114 |
| 6.10.b. Homojen ve homojen olmayan zeminlerde nap yüzeyleri arasındaki Δh farkları | 115 |

Ş E K İ L L E R D İ Z İ N İ (Devam)

Sayfa

| | | |
|-------|--|-----|
| 6.11. | Çözülen örnekler için homojen ve homojen olmayan zeminlerde $k/k_{\text{ort}} > 1.0$ değerleri | 116 |
| 6.12. | Çözülen örnekler için homojen ve homojen olmayan zeminlerde $k/k_{\text{ort}} < 1.0$ değerleri | 117 |
| 6.13. | Eğrilerin eğimi ile k/k_{ort} değeri arasındaki ilişki ($k_1/k_{\text{ort}} > 1.0$) | 119 |
| 6.14. | k/k_{ort} değerlerine göre A değeri | 120 |
| 6.15. | eğrilerin eğimi ile k/k_{ort} değeri arasındaki ilişki ($k_2/k_{\text{ort}} < 1.0$) | 122 |

T A B L O L A R D İ Z İ N İ

| | <u>Sayfa</u> |
|---|--------------|
| 3.1. DIN 1180'e göre kil drenaj borularının ebatları | 14 |
| 3.2. DIN 1187'ye göre PVC dren borularında giriş açıklıkları toplam yüzeyi | 16 |
| 3.3. DIN 1187'ye göre düzenli PVC dren borularının ölçülerİ | 17 |
| 3.4. Permeabilitenin farklı geçirgenlik sınırları | 23 |
| 3.5. DIN 1185'e göre ana drenlerin planlanması | 24 |
| 3.6. Toprak cinsine göre toplayıcı eğimleri | 25 |
| 3.7. Dren borularının hidrolik hesapları icin birim alan akım miktarları | 28 |

S İ M G E L E R D İ Z İ N İ

| | |
|-------|--|
| A | Yüzeysel sular |
| A_a | Arazi yapısına bağlı katsayı |
| A_n | Numune kesit alanı |
| B | Buharlaşma |
| D | Dren tabanı ile geçirimsiz tabaka arasındaki mesafe |
| d | Eşdeğer tabaka kalınlığı |
| DIN | Drenaj için Alman teknik şartnamesi |
| D_v | Düşey bileşen için tabaka kalınlığı |
| D_o | Radyal direnç için tabaka kalınlığı |
| D_1 | k_1 tabakasının yatay bileşeni için ortalama kesit |
| D_2 | k_2 tabakasının yatay bileşeni için ortalama kesit |
| F | Yabancı arazi suları |
| G_T | Geçirimsiz tabaka |
| h_L | Dren borusundaki su yüksekliği |
| h_o | Maksimum nap yüksekliği |
| i | Kuraklık indeksi |
| J | Nap yüzeyi eğimi |
| k | Permeabilite |
| k_b | Dren boruları için pürüzlülük katsayısı |
| k_o | Ortalama permeabilite katsayısı |
| k_p | Kilo kuvvet |
| L | Dren aralığı |
| l | Yarı dren aralığı |
| L_n | Numune boyu |
| N_w | Borу çapı |
| OYSS | Orijinal yeraltı su seviyesi |
| R | Hidrolik yarıçap |
| S | Toprakta depolanan su |
| S_z | Zararlı su miktarı |

S İ M G E L E R D İ Z İ N İ (Devam)

| | |
|----------------|--|
| t | Dikkate alınan zaman aralığı |
| U | Islak çevre |
| V | Dren borusundaki su hızı |
| Y | Yağış ortalaması |
| YASS | Yeraltı su seviyesi |
| Q | Drenaj borusundan alınan toplam debi |
| q | Drenaj birim debisi |
| Q _n | Deney numunesinden geçen su hacmi |
| γ | Özgül ağırlık |
| θ _A | Düşey yönde eğri sınırlarına olan mesafenin şebeke aralığına oranı |
| θ _B | Yatay yönde eğri sınırlarına olan mesafenin şebeke aralığına oranı |
| x,y | Koordinat sistemi |
| Δx | Yatayda seçilen aralık |
| Δy | Düşeyde seçilen aralık |
| ∅ | Potansiyel akım fonksiyonu |
| ψ | Akım fonksiyonu |

I. BÖLÜM

1. GİRİŞ

Dünya nüfusu büyük bir hızla artmaktadır. Bu nüfus artışı ile beraber daha çok insanın beslenmesini zorunlu hale getirmektedir. Teknolojide yeni buluşlar insan yaşamına kolaylıklar sunmuştur. İnsan ihtiyaçlarının karşılanması için yeni kaynaklar araştırılmaktadır. İnsanın yaşama için, zorunlu ihtiyaçlarını karşılayan temel kaynak topraktır.

Dünyadaki toprak kaynağı sınırlıdır. Artan nüfus ise, bu sınırlı kaynakla beslenmek zorundadır. Bunu başarmak için bütün toprakların verimi artırmak ve bu artışı yaparken gerekli tedbirleri almak gereklidir.

İnsan yaşamı için gerekli olan tarım bitkilerinden maksimum faydayı sağlamak için toprağın cinsine bağlı olarak, toprak su ilişkisi iyi ayarlanmalıdır. Toprağın içindeki su miktarı toprağın ihtiyacı olan değerinin altında veya üstünde ise elde edilecek ürünün miktarı ve kalitesi istenilen değerden az olur.

Toprağın kurutulması genel olarak, toprağın yüzeyinde veya bünyesinde bulunan (profilindeki) fazla suların kontrollü olarak dışarı atılması, aynı zamanda toprağın ısınması ve havalandmasını sağlamak amacıyla yapılır. Kurutma işlemleri optimum şekilde yapılmalıdır.

Fazla miktarda kaliteli ürün yetiştirmek için yeraltı su seviyesini, ekilecek bitkinin cinsine göre belirli bir derinlikte tutmak lazımdır.

1.1. Dren Tesislerinin Tarihi Gelişimi

Tarihsel belgelere göre, ilk drenler miladın başlangıç yıllarında taş ve kıl borulardan yapıldığı bilinmektedir. Orta çağda ise drenler

tamamen unutulmuştur. 1650 yıllarda İngiltere'de ahşap ve taş (çakıl) drenler kullanılmıştır. Almanya'da boruların başlangıcı sayılabilcek çatıda kullanılan mahya kiremitleri, dren borusu olarak kullanılmıştır.

İngiltere'de 1840 yılında pres makinasının icadı ile kil borularının yaygın olarak kullanılmasına neden olmuştur. Dren tesisleri 150 yıldan beri uygulanmaktadır. Bu uygulamalar sonunda geniş bir bilgi birikimi oluşmuştur. Dren tesislerinin daha da geliştirilmesi için bir çok ülkede teorik ve deneysel araştırmalar yapılmıştır. Dren makinalarının icadı sayesinde dren borularının daha kolay döşenmesi sağlanmıştır.

Plastik boruların devreye girmesiyle (P.V.C - tırtıklı P.V.C), toprak bünyesindeki fazla suların borulara girmesi mümkün hale getirilmiş olup bu alanda en büyük gelişme sağlanmıştır.

1.2. Dren Tesislerinde Meydana Gelen Gelişmeler

Son yirmi yılda dren tesislerindeki başlıca gelişmeler şunlardır:

- 1- İşçi ücretlerinin artması sonucu, dren tesislerinin yapımı yalnız özel durumlarda insan gücüyle yapılmaktadır.
- 2- Toprak ve zemin bilim dallarındaki gelişmeler sayesinde drenlerin hesap esasları değişmiş drenleme sınırları genişletilmiştir.
- 3- Tarımda makinalaşma sonucu toprağa gelen yük artmıştır. Bu nedenle dren tesislerinin yapımında problemler ortaya çıkmıştır.
- 4- Dren tesisleri sayesinde toprağın ıslaklığını giderilmiş tarım araçlarının arazide uzun süre çalışma arzusu gerçekleştirilmiştir.

II. BÖLÜM

2. KURUTMANIN TEMELİ

2.1. Kuraklık İndeksi

Tarım topraklarında kurutma yapılabilmesi için yıllık yağış yüksekliği 600 mm'den fazla olması gereklidir. Yüzeysel akışa geçen suların arazi eğimine göre (% 0 - % 2) arasında olmalıdır. Eğer yüzeysel akışa geçen suların dışarıya atılma imkanı yok ise, toprakta çoraklaşmayı önlemek için 600 mm'den az yağışlı, sulama yapılan kurak bölgelerde kurutma sistemleri oluşturulmalıdır. Tarım topraklarının da yüzeysel akışa geçen suların taşıme imkanı var ise; kurutma yapılmayabilir.

Tarım topraklarında, arazi yapısına göre kurutmanın gerekli olup olmadığını anlamak için, yağış sıcaklık, buharlaşma ve sızmalara göre kuraklık indeksi ile belirlenir [12].

$$i = \frac{Y}{t+10} \dots \dots \dots \dots \dots \quad (2.1)$$

Burada;

i : Kuraklık indeksi

Y : En az 10 yıllık yağış ortalaması

t : Aynı yıllara ait sıcaklık ortalaması

Eğer kuraklık indeksi 60 değerinden küçük ise kesin olarak kurutma yapılmalıdır. Eğer 40 ila 60 arasında ise kurutma yapılmayabilir. Arazinin kurutulmasına karar verdikten sonra toprağın ıslaklık (rutubet-nem) durumu araştırılır.

2.2. Tarım Topraklarındaki Zararlı Sular

2.2.1. Zararlı suların meydana geliş nedenleri

Tarım topraklarındaki zararlı sular bitki kök bölgesini etkileyerek büyümeyi ve bitkinin gelişip verimli olmasını engeller. Bitkilerin gelişmesi için optimum seviyede su almaları gereklidir. Eğer toprak, ihtiyaçtan fazla su ihtiyacını karşılırsa, bitkiye zarar vermeğa başlar. İhtiyaç fazlası olan bu sulara veya ıslaklığa zararlı su denir.

Tarım topraklarında yağış veya sulamadan sonra, bitki, gerekli faydalı suyu depo eder. Toprak profili bir miktar hava da ihtiyacını karşılar. Toprak profili sürekli olarak suya doygun bir halde olursa, bitki kök bölgesinde bakteri faaliyetleri durur; organik maddeler yığılır ve bitkinin beslenmesini engeller. Bu gibi yerlerde rutubetli arazide yetişen yabani otlar türler. Böylece tarım bitkilerinin verimi düşerek kalitesinin bozulmasına neden olur. Su taşkınları ve yeraltı su seviyesinin yüksekte olması, toprakların çoraklaşmasına neden olur.

2.2.2. Tarım topraklarını etkileyen zararlı sular

2.2.2.1. Yağış suları

Tarım topraklarında zararlı sular en çok yağışlardan meydana gelir. Ard arda yağışlı geçen yıllarda toprak tamamıyla zararlı sulara maruz kalır. Toprak yüzeyinde sürekli buharlaşma da meydana gelir. Yağış ve buharlaşma arasında Zunker'e göre, [9]

$$Y + F = A + B + S \dots \dots \dots \dots \dots \quad (2.2)$$

Bağıntısı mevcuttur.

Burada;

Y : Yağış

F : Yabancı arazi suları

A : Yüzeysel sular

B : Buharlaşma

S : Bölgede depolama

Bir bölgede zararlı suların miktarı ise,

$$S_z = h + F_a + F_h - A_a - A_h - B - S_f \dots \dots \dots \quad (2.3)$$

Burada;

a : Yüzeysel akış

h : Yeraltı suyu

f : Depolanan faydalı su

z : Zararlı su endeksi dir.

Tarım topraklarının zararlı sulardan etkilenmemesi için $S_z = 0$ olmalıdır.

Eğer yağışlardan dolayı toprak zararlı sulardan etkileniyorsa

$F_a = F_h = 0$ olur. $A_a - A_h = A$ ile gösterilirse;

$$S_z = h - A - B - S_f \dots \dots \dots \quad (2.4)$$

şeklinde ifade edilir. Eğer topraktaki zararlı sular yüzeysel akışa geçen yabancı sulardan oluşuyor ise; $F = F_a + F_h$ olmak üzere $S_z = F$ şeklinde ifade edilir.

Genel olarak zaralı sular yukarıda tanımlanan faktörlerin beraberce tesir etmesi sonucu oluşur.

A_a değeri arazi eğimine, kullanım şekline ve toprağın yapısına bağlıdır.

2.2.2.2. Deşarj kanallarının yetersizliği

Fazla suların topraktan atılması için yeterli tahliye kanalları veya borular sistemi olmalıdır. Yağışlardan veya sulamadan sonra toprak yüzeyinde biriken suların en kısa zamanda dışarıya atılması gereklidir. Fazla suları, yeterli derinlikte tahliye kanalları inşa ederek çözmek mümkündür.

2.2.2.3. Yuzeysel akışa geçemeyen yağış suları

Tahliye kanalları arazinin topografik yapısına göre inşa edilmez ise, yağış suları arazinin düz ve alçak kısımlarında göllenir. Bu gibi arazileri kurutmak için, küçük alanlı arazileri, düzeltmek ve yükseltmek gereklidir. Çok çukur kısımlarda ise su yutucu kuyular açmak gereklidir. Büyüük alanlı arazilerde ise, yuzeysel akışı engelleyen kısımları kaldırarak, tahliye kanallarına yeterli eğim verilerek fazla suları dışarı atmak gereklidir.

2.2.2.4. Yeraltı suyunun zemin yüzeyine yakın olması

Tarım topraklarında yeraltı suyu, genelde toprak yüzeyine yakın geçirimsiz veya az geçirimsiz bir tabakanın bulunmasından oluşur. Eğer zemin yüzeyine 1.3 m'den daha yakın bir geçirimsiz tabaka mevcut ise yağışlardan oluşan sızmaları önleyeceğinden yeraltı suyu zemin yüzeyine kadar yükselir. Tarım topraklarında, yeraltı suyunun bitkiye zarar vermemesi için zemin yüzeyinden en az 80 cm aşağıda olmalıdır. Bu tip arazilerde sızmaların oluşması için makinalarla derin sürüm yapılmalıdır.

2.2.2.5. Sulama suyunun fazla miktarda kullanılması

Tarım bitkilerinin ihtiyacı olan su verilirken çiftçiler belirli ara-

lıklarla, yüzeysel sulama ile suyu verirler. Bu sulama sırasında fazla miktarda akıtilan sular arazinin düz ve alçak kısımlarında birikime neden olur. Yersel olarak oluşan ıslaklık bitkiye büyük zarar verir. Bu gibi durumlarda arazinin düz kısımlarında fazla suları arazi dışına deşarj edecek tahliye kanalları yapılmalıdır. Arazinin alçak olan kısımları düzeltilerek veya dışardan toprak getirilerek doldurulur.

Bilindiği gibi yeraltı suyu zamanla sızan fazla suların etkisiyle yeryüzüne doğru yükselir. Bu yükselme sırasında toprağın alt tabakalarından erittiği zararlı tuzları, toprak yüzeyi ile bitki, kök bölgesi civarında bırakır. Buradaki zararlı tuzlar çoraklaşmaya neden olur. Dünyada ve ülkemizde kurak ve yarı kurak bölgelerdeki pek verimli olmayan toprakların çoğu, çorak topraklardır. Toprağın sulanmasından sonra fazla suların tahliye edilmesi için kurutma şebekeleri yapılmalıdır.

2.2.2.6. Akarsulardan dolayı oluşan zararlı sular

Tarım topraklarının civarından akan, akarsuların yamaçlarından sızan sular yersel olarak zararlı ıslaklık meydana getirirler. Bu sızan su miktarı toprağın geçirimliliğine, su tutma kapasitesine göre değişir. Zararlı suları önlemek için, tarım topraklarının içinden akan akarsuların şevlerini ve tabanı kaplamak suretiyle önlenebilir. Ayrıca arazi kenarına hendek kazarak veya yerleştirilen dren borularla fazla sular dışarı atılır.

2.2.2.7. Civar arazilerden gelen zararlı sular

Eğim nedeniyle civar araziden gelen, yağış veya yeraltı suyundan oluşan zararlı suları arazinin çevresine açılan çevre hendekleri veya çevre drenlerle önlenir. Toplanan sular bir boşaltıcı ile arazi dışına atılır. Eğer eğim nedeniyle bu imkansız ise, arazi kenarına inşa edilecek bir havuzda toplanan fazla sular bir pompa vasıtası ile dışarı atılır.

2.2.3. Kurutulacak arazi hakkında gerekli bilgiler

- 1- Bölgenin iklim şartlarının araştırılması
- 2- Kurutulacak arazinin topografyası
- 3- Kurutma bölgesinde toprak etüdleri
- 4- Kurutma bölgesinin jeolojik incelemesi
- 5- Fazla suların meydana geliş nedenleri
- 6- Drene edilecek su miktarı
- 7- Kurutma sahasındaki mevcut yapılar (yol, menfez, vb.)
- 8- Arazinin tabii akış durumu

2.2.4. Kurutma metodları [9]

- 1- Arazide çukur kısımların doldurularak yükseltilmesi
- 2- Su yutucu kuyuların inşası
- 3- Suyu seven bitkilerin yetiştirilmesi
- 4- Arazinin derin gevşetilmesi
- 5- Açık hendeklerle kurutma
- 6- Derin sürium
- 7- Drenlerle kurutma

Arazinin yapısına ve drene edilecek su miktarına göre; yukarıda açıklanan kurutma metodlarından en uygun olanı, kurutma metodu olarak seçilir.

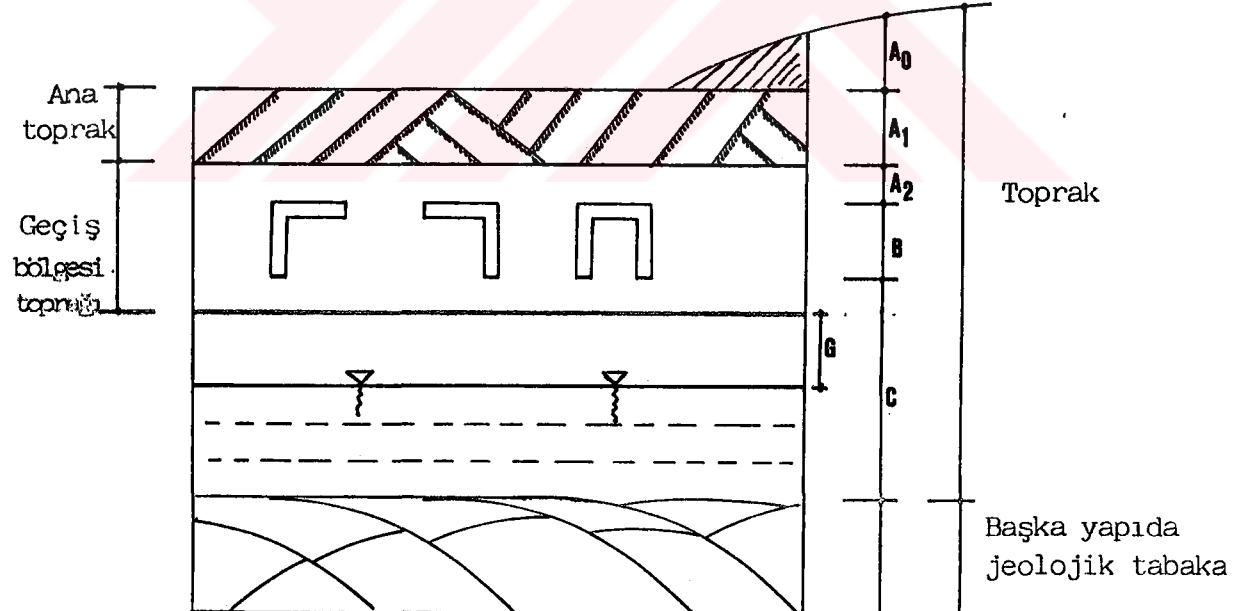
Yalnız tarım toprakları genelde yaz mevsiminde kullanıldığından kurutmanın etkili olabilmesi için açık hendeklerle veya drenlerle yapılmalıdır.

Çünkü tarım bitkilerini zararlı sularдан korumak için yağış veya sulamadan sonra, fazlalık sularını arazi dışına desarj etmek gereklidir.

2.3. Toprakların Sınıflandırılması

Bitkilerin yetiştiği ortam topraktır. Optimum verim elde etmek için toprak özelliklerinin iyi bilirmesi gereklidir.

Toprak yeraltı ve yerüstü tesirleriyle fiziksel, kimyasal biolojik değişimler sonucu, mineral ve organik maddelerden meydana gelen zeminin üst tabakasına denir. Ayrıca su, hava ve küçük canlıları bünyesinde bulunur.



Şekil - 2.1. Toprak profili

A_0 : Toprak yüzeyinde mineral bakımından zengin (humus) katıdır.

A_1 : Humuslu yüzeyde oluşan mineral toprak

A_2 : Yıkılmış, mineral bakımından fakir topraktır.

- B : Üst tabakadan yıkanan mineraller burada toplanır.
- C : Üst tabakaların bu tabakadanoluştüğü söylenebilir.
- Derin köklü bitkiler bu tabakaya kadar yetişirler.
- G : Y.A.S.S.'nin değişim bölgesindeki toprak katıdır.

2.3.1. Sulak bölge toprakları (Humid)

Bu bölgelerde meydana gelen yağışlar, buharlaşmadan daha fazla olduğundan arazi daima ıslaktır. Bu nedenle su toprağın alt tabakalarına sızarken toprağı yıkayarak mineral bakımından fakir hale getirir. Fakat toprakların yıkanmasından dolayı ihtişi tuz miktarı az olduğundan çoraklaşma meydana gelmez [21].

2.3.2. Kurak bölge toprakları (Arid)

Bu bölgelerdeki yağış miktarı, buharlaşmadan azdır. Eğer bu fark fazla ise; topraklarda çoraklaşma meydana gelir. Çoraklaşmayı önlemek için, toprağın sulanması gereklidir. Sulamadan sonra çözülen zararlı tuzları toprakları uzaklaştırmak için drenaj şebekesi, sulama şebekesiyle beraber bulunmalıdır [21].

III. BÖLÜM

3. DRENAJIN ESASLARI

3.1. Drenajın Faydaları

Dren tesisleri genel olarak; bitkilere zarar veren fazla suları toprak binyesinden dışarı atarak, bitki için gerekli su dengesini düzenleyen; toprağın havalandmasını ve ısınmasını sağlayan, toprak altında borulu veya borusuz olarak planlanan yapay kurutma sistemidir. Başlıca faydaları ise;

- 1- Çoraklaşmayı önler**
- 2- Kök bölgesinde havalandmayı sağlar**
- 3- Fazla suları uzaklaştırarak toprağın donmasını önler**
- 4- Yeraltı suyunu alçaltarak, arazi verimini arttırmır**
- 5- Elverişli kök derinliğini arttırmır**
- 6- Sulama suyundan tasarruf sağlar**
- 7- Bataklık sahaları kuruşturarak yeni tarım alanları kazanılır.**
- 8- Erozyon tehlikesi azalır**

3.2. Drenlerin Açık Hendeklere Göre Faydaları [9]

Dren boruları toprağın altına yerleştirildiğinden, arazi kaybı meydana gelmez. Açık hendeklerle yapılan kurutmada ise yaklaşık % 10 - % 15 arazi kaybı meydana gelir. Arazide hendeklerin olmaması, toprağın makine ile işlenmesini kolaylaştırır. Dren şebekeleriyle yapılan kurutmalarda, açık hendeklerdeki gibi yapımı zorunlu olan köprü, menfez, ters sifon gibi sanat yapıları yapılmaz. Dren tesisleriyle yapılan kurutmalarda, tesis masrafları çok azdır. Dren tesislerinde, zararlı hayvan ve bitkilerin kurutma sisteme yerleşmesi, üremesi mümkün

değildir. Dren şebekeleriyle yapılan kurutmada, arazinin her tarafı uniform'a yakın bir kurutmaya maruz kalır.

3.3. Drenlerin Açık Hendeklere Göre Kusurları

Bazı kriterler göze alındığı zaman, açık hendeklerle kurutma sistemi özellikle ekonomik faktörlerde, drenlere göre daha uygundur. Bunlar kısaca özetlenirse;

- 1- Dren tesislerinin yapımı çok masraflıdır
- 2- Zararlı suların cazibe ile dışarı akıtılması için drenlerde minimum eğim % 0.1'den büyük olmalıdır.
- 3- Drenlerle kurutmada zararlı suları sızma yoluyla deşarj edecekinden, suyun dışarı atılması daha geç olur.
- 4- İyi boyutlandırılmayan dren tesisleri, gereğinden fazla suyu drene ederek, toprak binyesindeki faydalı suyu azaltır.
- 5- Dren tesislerindeki arızaların bulunup giderilmesi çok zor ayrıca ek masraf gerektiren durumlardır.
- 6- Planlamada yapılabilecek hataların giderilmesi imkansız hale gelir.
- 7- Hendekler daha kolay kontrol edilir.

3.4. Dren Boruları

3.4.1. Dren borularının başlıca özellikleri

Sulanan alanların drenajında açık yada kapalı, veya her ikisinin kombinasyonunda oluşan sistemlerden yararlanılır. Bir drenaj sistemi ni meydana getiren kanallar ve boru hatları, en büyük üniteden itibaren en alt böümlere doğru; ana toplayıcı dren, toplayıcı dren ve emici

drenlerden meydana gelir. Bir sisteme bu ünitelerin hepsinin bulunması gerekmektedir. Aslında drenaj sisteminin planlanması demek; toplayıcı ve emici drenlerin döşeme derinlik ve aralıklarının en emniyetli ve ekonomik şekilde inşa esaslarının tespiti demektir.

Kurutma sistemlerinde zararlı suları emici drenler toplar. Emici drenlerde toplanan su, toplayıcı drenlere aktarılır, oradan da ana toplayıcıya verilir. Ana toplayıcı drende toplanan toplam zararlı sular arazi dışına (çay, dere) gibi yerlere atılır.

Yapılan drenaj sisteminde toplayıcılar açık, emiciler kapalı ise "Teksel borulu"; her ikisi de kapalı ise "Birleşik borulu"; her ikisi de açık ise "Birleşik açık" sistemler adını alır [19].

3.4.2. Kil dren boruları

Kıl borularının ana maddesi kil veya lem'dir. İçerisinde taş çakıl, kireç olmamalıdır. Modern kiremit fabrikalarında kil boru, kaliteleri DIN 1180'e göre yapılır. Bu boruların ölçüleri DIN 1180'e göre standartlaştırılmıştır.

Usulüne uygun üretilen kil dren boruları aşağıdaki özelliklere sahip olmalıdır [9].

- Yüksek birim hacim ağırlığı $\gamma = 1.7 \text{ kg/m}^3$
- Donmaya karşı dayanıklılık
- Aşındırıcı sulara karşı dirençli olmak
- Toprak içinde uzun süre dayanmak
- DIN 1180'e göre minimum kırılma yükü NW ≥ 50 için 700 KP (kilo kuvvet)

Tablo -3.1. DIN 1180'e göre kil drenaj borularının ebadları [9].

- DIN 1180'e göre minimum kırılma yükü NW > 200 için 2000 KP

Kıl ve dren borularının şekilleri iç yüzeyleri çember, dış yüzeyleri ise çember, altıgen veya sekizgen olabilir.

Kıl dren boruları arazide açılan ~~hendeklerin~~ içine birbiriyle birleşecek şekilde döşenirler. Birleşme yerleri tam düz olmaz ise yani borular döşendikten sonra mekanik olarak toplanmalar gösterirse, birleşme yerleri 0.5 mm açığının altına düşerse, suyun girişi engellenir. Bunun için boruların dış kısmı şimdilik gevşetilmelidir.

3.4.3. Plastik dren boruları

Basıncılı plastik borular 20 yıldan beri kullanılmaktadır. Plastik borular klorinleşmiş hidrojen gruplarının bir polimerizasyon ürünüdür (... - CH - CH₂ - CH -). Büyüük organik moleküllerden oluşur. Plastik borular Polyvinyl Chlorid (kısıltılmış PVC)'den üretilir [9].

PVC ihtiiva ettiği yüksek klorine rağmen ateşe ve kimyasal olaylara çok dirençli beyaz bir tozdur. Dren borusu üretiminde PVC kullanılır. Bu gün tırtıklı plastik borular daha elastiki ve hafif olmaları nedeniyle, düz plastik borulara tercih edilmektedir.

Plastik borular çok hafiftirler $\gamma = 1.3 \text{ KP/m}^3$. Düşük bir hacim ağırlığına sahiptirler. Kimyasal olarak bozulmazlar. Taşınmaları ve drenej yerinde yerleştirilmeleri kolaydır. Muntazam açılmış su giriş deliklerine sahiptirler. Kullanım ömrüleri uzundur.

DIN 1187 şartnamesi, plastik borular üzerinde bırakılacak açıklıkların birim boru boyu için minimum olarak Tablo 3.2'de verilmiştir [9].

Tablo -3.2. DIN 1187'ye göre PVC dren borularında giriş açıklıkları toplam yüzeyi

| Boru çapı (NW) (mm) | Açıklık alanı (Cm ² /m) |
|------------------------|---------------------------------------|
| 40 | 6 |
| 50 | 8 |
| > 50 | 10 |

Tablo - 3.3. DIN 1187'ye göre düzenli PVC dren borularının ölçüleri [9].

| Arma Çapı | Dış Çapı | Misade edilebilir sapma | Minimum duvar kalınlığı | Misade edilebilir sapma | İç Çap ¹⁾ | Minimum ²⁾ ağırlık | Minimum kol derinliği |
|-----------|----------|-------------------------|-------------------------|-------------------------|----------------------|-------------------------------|-----------------------|
| 40 | 40 | + 0.3 | 1.0 | + 0.5 | 38 | 0.171 | 60 |
| 50 | 50 | + 0.3 | 1.0 | + 0.5 | 48 | 0.216 | 75 |
| 63 | 63 | + 0.4 | 1.3 | + 0.6 | 60 | 0.353 | 90 |
| 75 | 75 | + 0.4 | 1.5 | + 0.7 | 72 | 0.485 | 105 |
| 90 | 90 | + 0.5 | 1.8 | + 0.8 | 86 | 0.700 | 115 |
| 110 | 110 | + 0.6 | 1.9 | + 0.8 | 106 | 0.904 | 120 |
| 125 | 125 | + 0.7 | 2.0 | + 0.8 | 121 | 1.08 | 125 |
| 140 | 140 | + 0.8 | 2.3 | + 0.9 | 135 | 1.40 | 125 |
| 160 | 160 | + 0.8 | 2.5 | + 1.0 | 155 | 1.75 | 125 |

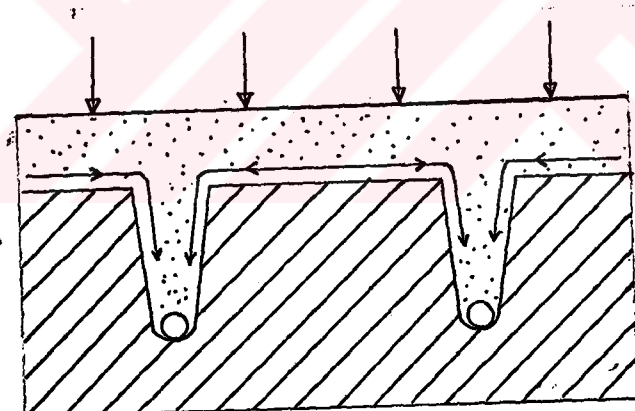
1) Bu değerler değişmez

2) Minimum et kalınlığına göre

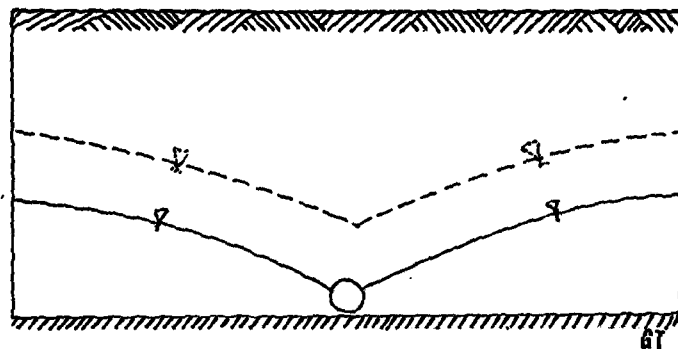
3.4.4. Topraktaki fazla suların dren borularına girişi

Dren borusu, içine girecek suya karşı gösterdiği direnç, toprağın permeabilitesi ve borunun giriş açıklığına bağlı olarak büyük veya küçük olabilir. Suyun dren borusuna girerken karşılaştığı direnç nedeniyle taban su seviyesi yükselir veya alçalır.

Dren boruları arasındaki taban suyu toprağın permeabilitesine bağlı olarak küçük permeabilite de büyük eğrilik, büyük permeabilite de küçük eğrilik meydana gelir.

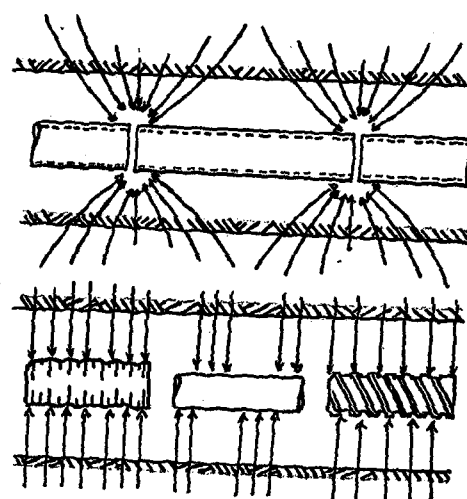


Şekil - 3.1. Geçirimsiz topraklarda bozuk drenajın etkisi



Sekil -3.2. Dren borusunun giriş direğine bağlı olarak taban su seviyesinin değişmesi

Dren aralıkları ne kadar küçük tutulursa, taban suyu o kadar çok alçalır. Çünkü drenlerin içine giren su fazlalaşır. Genelde drenlerde meydana gelen su akımı laminer ve uniform bir akımdır, ve Darcy konumuna uyar. Süreklik denklemine göre dren sistemindeki akım, Laplace dif eransiyel teorisine göre potansiyel akımlar şeklinde düşünüülerek açıklanabilir. Toprak gözeneklerindeki fazla sular, borular arasındaki açıklıkların yerine bağlı olarak şekil -3 .3'teki gibi olusur.



Sekil -3.3. Kil (K) ve PVC (P) borularına suyun akımı

3.4.5. Yeraltı suyu hareketi

Yeraltı suyunun kaynağı genelde yağıştır. Fakat yeraltı sularından oluşan sızmalar nedeniyle yeraltı suyu sürekli beslenir. Yeraltı su seviyesi zemin yüzeyine yakın ise yüksek bir debi ile beslenmektedir, yada zemin içinde geniş ölçü de sızma olayı vardır. Tarım topraklarının da sık sık yapılan arazi sulamalarının da yeraltı suyuna büyük etkisi bulunmaktadır [17].

Yeraltı su akımını ifade eden en önemli bağıntı Darcy Kanunu'dur. Yeraltı suyu viskoz olduğundan sürtünmeye maruz kalır. Zemin boşlukları içinde süzülürken sürtünmeler nedeniyle mekanik enerjinin bir kısmı ısı enerjisine dönüşür. Yani akımın meydana gelebilmesi için mekanik enerjiye sahip olması gereklidir. Su kitlesi bu mekanik enerji ile harekete geçer. Enerjinin bir kısmı ısıya dönüşür. Kinetik enerji sıfır olur, potansiyel enerjinin minimum olduğu yerde durur.

Kısacası su kitlesi piyezometrik düzeyi yüksek olan bir noktadan, alçak olan bir noktaya doğru akacaktır. Kitle içindeki bu akış, suyun hidrolik eğimi sıfır olunca durur.

Eğer zemin içinde, sabit bir nokta gözönüne alınırsa, bu noktadan geçen bir su zerresi belli bir yolu, yani akım çizgisini takip eder. Akım permanent kabul edilirse; gözönüne alınan sabit noktadan geçen her su zerresi aynı yolu; akım çizgisini takip edecektir. Bu nokta üzerinde su zerrelerinin hızları birbirine eşittir.

3.5. Permeabilitenin Belirlenmesi

3.5.1. Permeabilitenin belirlenmesi metodları

Permeabilite katsayısı (k), arazi ve laboratuvarlarda farklı bir çok

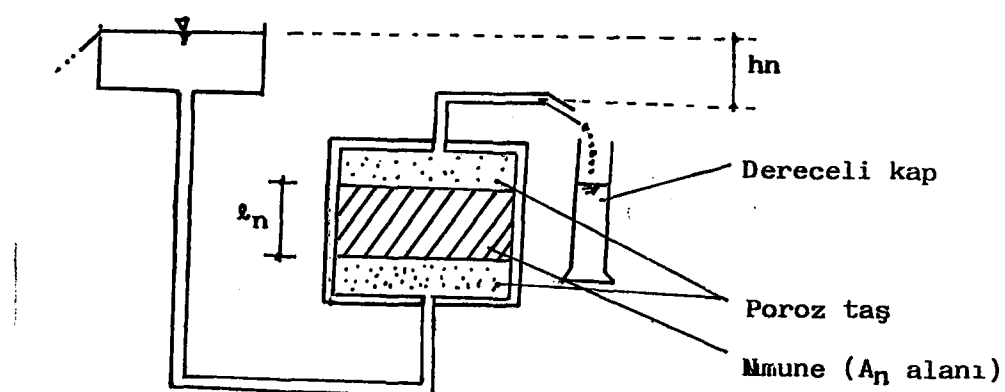
metotla hesaplanabilir. Kısaca permeabilite tanımlanacak olursa; birim hidrolik eğim altında suyun, zemin içindeki hızıdır. Permeabilitenin test edildiği başlıca metotlar şunlardır [9].

- Burgu deliği metodu
- İnfiltasyon boru metodu
- İnfilitremetre ile ölçüm
- Toprakların hava geçirgenliği
- Kesme direnci
- Belle kazmak suretiyle numune almak
- Sabit seviyeli permeabilite deneyi

3.5.2. K (Permeabilite) katsayısının belirlenmesi

Geçirimli zeminlerde permeabilitenin hesabı en basit şekilde; sabit seviyeli permeabilite deneyi yapılarak yaboratuvarda belirlenebilir.

Şekil -3.4'de görüldüğü gibi numunenin alt ve üstüne geçirimli taş yerleştirilir. Numuneden belli bir zaman içinde geçen debi dereceli kap yardımıyla belli bir zaman süresi içinde hesaplanır. [20].



Şekil -3.4. Sabit seviyeli permeabilite deneyi

Burada;

$$Q = k_n \cdot J_n \cdot A_n = A_n \cdot k_n \cdot \frac{h_n}{L_n} \dots \quad (3.3)$$

dikkate alınan zaman içinde poroz taşlardan t sürede geçen su hacmi ise

$$Q > A_n \cdot K_n \cdot \frac{h_n}{L_n} \cdot t \dots \dots \dots \quad (3.4)$$

k_n ifadesi ise;

Q_t : t zaman aralığında nurnuneden geçen su hacmi

k_p : Permeabilite katsayısı

h_n : Hidrolik yük

L_n : Numune boyu

t : Dikkate alınan zaman aralığı

A_n : Numune kesit alanı

Permeabilite katsayısı $k > 10^{-2}$ cm/sn geçirimli zemin

Permeabilite katsayısı $10^{-6} < 10^{-2}$ yarı geçirimli zemin

Permeabilite katsayısı $k < 10^{-6}$ cm/sn geçirimsiz zemin [20].

Tablo -3.4. Permeabilitenin farklı geçirgenlik sınırları

| $k = 10^{+2}$ | 10^1 | 10^{-2} | 10^{-4} | 10^{-6} | 10^{-8} |
|---------------|--------|-------------------|-----------|------------|-----------|
| Çakıl | Kum | Çakıl kum ve silt | | Kil | |
| Geçirimli | | yarı geçirimli | | geçirimsiz | |

Bu deneyin anlamı, permeabilite katsayısı (k)'nın zeminin porozitesine, cinsine, zemin boşluklarının düzgün olup olmamasına ve sıvının viskozitesine bağlı olarak değiştğini ifade eder.

Zemin içinde permeabilite katsayısı, yatay ve düşey doğrultuda farklı değerlere sahip olabilir. Merkeze yönelik (radyal) akımlarda da farklı bir permeabilite katsayısı vardır. Permeabilite katsayısı zeminin sıkışma ve konsolidasyon durumuna göre de değişir. Bu değişme permeabilitenin küçülmesi yani geçirgenliğinin az olmasına neden olur.

Permeabilite katsayısı ölçümler yapılırken, çok hassas ölçülmelidir. Çünkü küçük hatalar permeabilite katsayısında yüz, hatta bin mertebesinde küçük veya büyük ölçülmemesine neden olur.

3.6. Dren Şebekeleri

Drenaj şebekesi yapılmadan önce, proje planlanmasında toprak cinsine göre, kısmi drenleme veya arazinin tamamı için yapılacak tam drenlemeye karar verilir.

Kısmi drenleme : Bir bölgede zemin geçirgenliği (k) sık sık değişiyorsa bu durumu gözlemlemek için; arazinin bir kısmına drenaj uygulanır[7].

Tam drenleme : Toprak incelemeleri sonunda lokal incelemeler arasında az fark bulunuyorsa, K homojen kabul edilerek arazinin tamamını drene edecek şebeke inşaatına gidilir.

3.6.1. Ana drenler

Ana dren boruları arazinin en çukur kısımlarından geçmelidir. Toplayıcı borulardan gelen suları boşaltıcı kısma iletten en büyük borudur. Ana dren uzunluğu, borusu çapına bağlıdır. Hız, eğim, uzunluk kriterleri Tablo -3.5' te verilmiştir. Ana drenlerin yollarla, duvar, çit gibi tesislerle kesilmesinden kaçınmalıdır. Eğer kesilmesini önlemek mümkün değilse; bu gibi yerlerde sağlam boru kullanılmalıdır. Eğer ana drenlerde oluşan hızlar Tablo -3.5.'de verilen hızlardan büyük olursa toprakta yıkanma meydana gelir. Böyle durumlarda eğimi küçültmek gereklidir.

Tablo -3.5. DIN 1185'e göre ana drenlerin planlanması [9].

| Toprak cinsi | I(%) min.Eğim | I(%) max.eğim | V max,hız m/sn | IOp(%) Eğim | L max. (Dren aralığı) | NW Çap | Su girişi için min. açıklık cm ² /m |
|----------------|------------------|------------------|----------------------|----------------|--------------------------|-----------|--|
| Mineral Toprak | 0.45 | 8 | 1.5 | 4 | 500 | 150 | 8 |
| Pit Toprak | 0.15 | 4 | 1 | 0.4 | 400 | 150 | 8 |

Ana toplayıcıların, drene ettikleri arazi alanı 2 km² den küçük ise, suyu deşarj ettikleri boşaltıcılarından 30 cm yukarıda olmaları gereklidir. Eğer arazi alanı 2 km² den büyük ise ana toplayıcı boşaltıcı drenin ortalaması su seviyesinden 10 cm yukarıda olmalıdır. Büyük arazilerin kurutulması sırasında, bir den fazla ana toplayıcı boru kullanımında iki borusu arası en az emici aralığı kadar olmalıdır.

3.6.2. Toplayıcı drenler

Esas görevleri emici borulardan gelen suları, ana toplayıcıya aktarmaktır. Emici borulara göre daha alçak olan arazi kotlarından geçmelidir. Toplayıcı borularda yön değişikliği söz konusu ise, oraya kontrol bacaları inşaa edilmelidir. Toplayıcı boruların maksimum boyları 1000 m, min çapları 65 mm, ve boruların içinde maksimum hız 1.5 m/sn olmalıdır. Eğer hızlar daha büyük ise dren şutları ile eğim ve hız küçük tutulur.

Toprak cinsine bağlı olarak minimum toplayıcı eğimleri Tablo -3.6.'da verilmiştir.

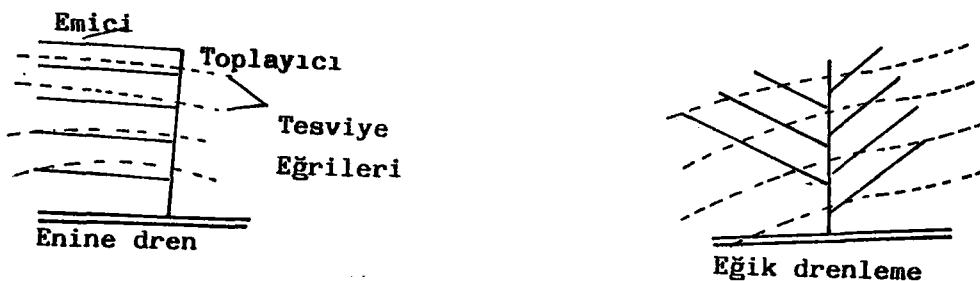
Tablo 3.6. Toprak cinsine göre toplayıcı eğimleri [9].

| Toprak cinsi | Eğim I(%) |
|-----------------------|-----------|
| Birikinti kum ve silt | 0.45 |
| Demir ihtivali toprak | 0.30 |
| Siltli lem | 0.25 |
| Kumlu lem | 0.20 |
| Killi lem | 0.15 |
| Bataklık | 0.05 |

3.6.3. Emici drenler

Arazide bulunan zararlı suları toplayarak, toplayıcı borularaILEten borulardır. Esas kurutmayı bu borular yapar. Emici borularda hidrolik hesap yapmağa gerek yoktur. Minimum boru çapları 50 mm. ve sabittir.

Emiciler arazi eğimine bağlı olarak yerleştirilirler. Eğer arazi eğimi % 0.5'ten büyük ise; tesviye egrilerine paralel olarak; enine ve eğik drenler döşenir. Boyuna drenler ise tesviye egrilerine dik bir şekilde yerleştirilir.

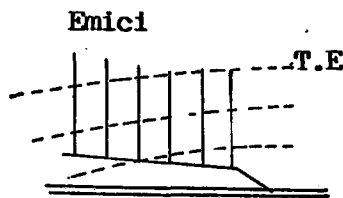


Şekil -3.5. Enine ve eğik drenlerin yerleştirilmesi

Enine drenler, arazi kurutmalarında en etkili (tevsiye eğrilerine paralel) yerleştirme şeklidir.

Eğik drenler ise emiciler kadar etkili olmasalar da, dik yerleştirilen emicilerden daha etkilidir.

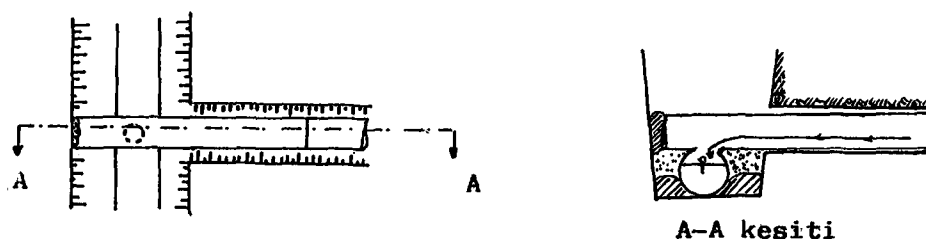
Boyuna drenler, zorunlu olmadıkça özellikle tarım topraklarında uygulanmamalıdır. Çünkü drenaj yönünden zararlı suları emme kabiliyeti oldukça düşüktür.



Şekil - 3.6. dik drenlerin yerleştirilmesi

Emici drenlerde minimum eğim % 0.25, maksimum eğim % 8 olmalıdır. Emici uzunlukları 200 m. seçilmelidir. Bazı şartlardan dolayı emici boyları 200 metreden büyük alınırsa, hidrolik hesaplar yapılarak boru çapları belirlenir. Eğer eğimler çok düşük ise boyalar 150 metre seçilebilir. Akıcı bir yapıya sahip zeminlerde emici boyları daha kısa tutularak, birlesim yerleri filtre malzemesiyle koruma altına alınmalıdır.

Zemin yapısına bağlı olarak yerleştirilen emicilerin kaymaları, çökmeleri önlenmelidir.



Şekil -3.7. Toplayıcı drenlerle - Emici drenlerin bağlantı yerleri

3.6.4. Çevre dren borusu

Komşu araziden gelecek zararlı sularla yeraltı, sularını tutmak için gerekirse arazinin dört tarafı bu dren borularla çevrilebilir. Arazı yapısına bağlı olarak 1.5 metre derinliğe kadar indirilebilir. Drenaj şebekesinde ilk önce dren boruları yerleştirilmelidir. Boru çapları çok büyük seçilmelidir. Minimum boru çapı 80 mm olmalıdır. Çevre dren boruları için açılan hendeklerin tabanına ve kenarları ile üstünü örterken, geçirimli malzeme kullanılmalıdır.

3.7. Hidrolik Hesap

Borulu drenajın amacı; yağışlardan, sulama ve yeraltı suyu nedeniyle oluşan fazla suları zararsız bir şekilde topraktan uzaklaştırarak toprağın uygun ortamda işlenmesini sağlamaktır.

Drenaj sisteminin debisi; $q \text{ lt/sn km}^2$ veya $q \text{ lt/sn ha}$ uzaklaşması gereken miktarıdır.

$$1 \text{ mm yağış} = 1 \text{ lt/m}^2 = 10 \text{ m}^3/\text{ha} = \frac{10000}{86400} = 0.116 \text{ lt/sn ha}$$

1 mm/gün birimi ha çevirmek için

1 mm/gün x 0.116 = $\text{lt}/\text{sn}. \text{ha}$ elde edilir.

q belli bir drenaj alanından

DIN 4047 ve DIN 4049'a göre [9].

$$Q = q \cdot F \dots \dots \dots \dots \dots \dots \dots \quad (3.6)$$

DIN 1185'e göre debi değerleri yıllık ortalama yağışlara göre sınıflandırılmışlardır.

Tablo -3.7. Dren borularının hidrolik hesapları için birim alan akım miktarları

| Ortalama yıllık yağış (mm) | Birim debiler q ($\text{lt}/\text{sn}. \text{ha}$) | |
|----------------------------|--|-----------------|
| | Ağır ve orta ağır.top. | Hafif topraklar |
| 600 | 0.40 | 0.55 |
| 650-750 | 0.40-0.55 | 0.55-0.70 |
| 750-1000 | 0.55-0.70 | 0.70-1.00 |
| > 1000 | 0.70-1.00 | 1.00-1.80 |

3.7.1. Drenler için teorik akım formülü

Dren kapasitesi DIN 1185'e göre PRANDTL COLEBROOK formülüyle hesaplanır [9].

$$V = -2.0 \log \left[\frac{2.51 \cdot V}{D \sqrt{2g \cdot D \cdot j}} + \frac{k_b}{3.71 \cdot D} \right] \cdot \sqrt{2g \cdot D \cdot j} \dots \dots \dots \dots \dots \dots \dots \quad (3.7)$$

Daire kesitli borular için;

$$Q = V \cdot F \dots \dots \dots \dots \dots \dots \dots \quad (3.8)$$

F : Daire kesit alanı olduğundan,

$$Q = \frac{\pi \cdot D^2}{4} \cdot 2.0 \log \left[\frac{2.51 \cdot V}{D \sqrt{g \cdot D \cdot J}} + \frac{k_b}{3,71 \cdot D} \right] \cdot \sqrt{2g \cdot D \cdot J} \dots\dots\dots(3.9)$$

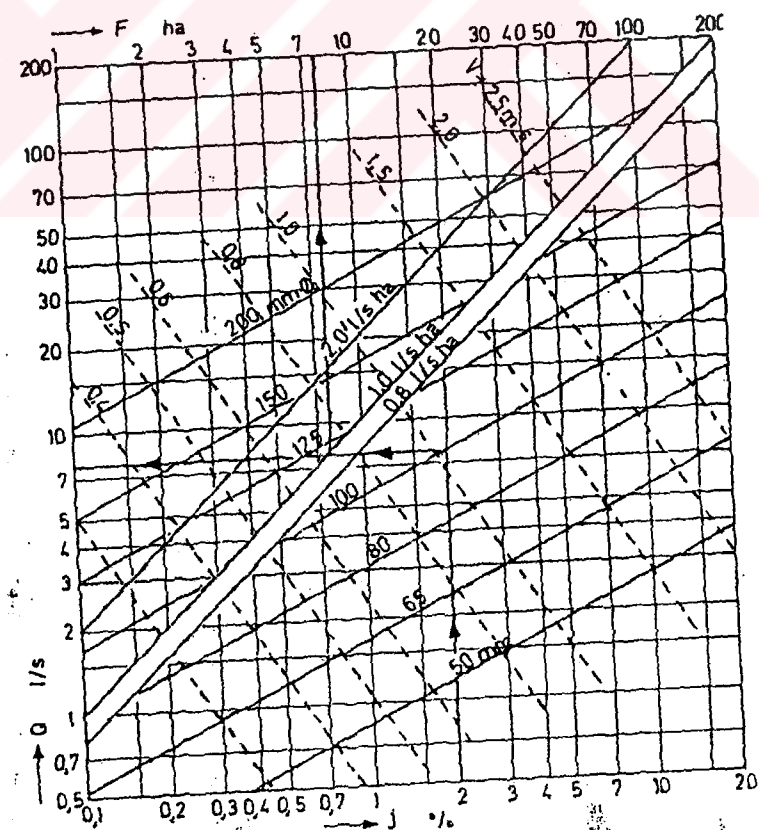
Borular için tespit edilmiş olan k_b pürüzlülük katsayıısı

Kıl borular için $k_b = 0.70 \text{ mm}$.

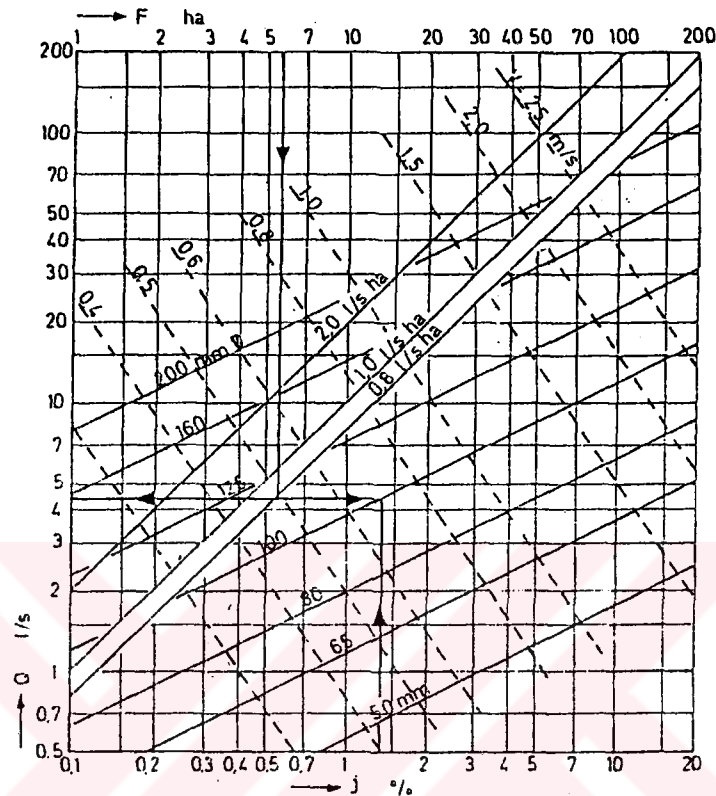
Kıvrımlı PVC borular $k_b = 2.0 \text{ mm}$.

Düz PVC borular $k_b = 0.1 \text{ mm}$.

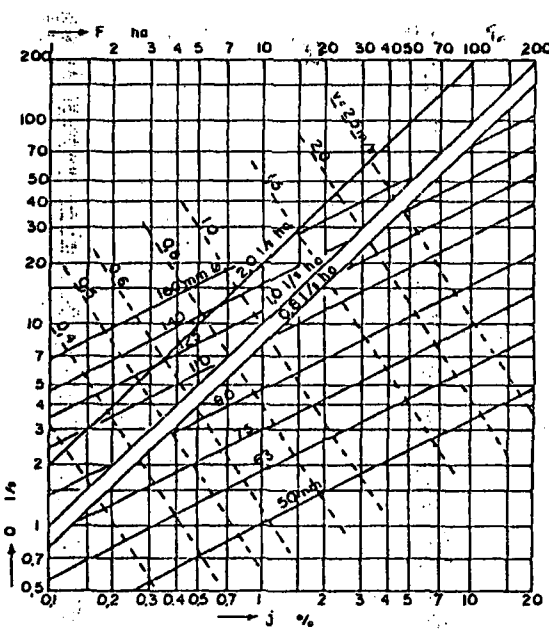
Pürüzlülük katsayılarına göre literatürde hesapların kolayca yapılması için grafikler geliştirilmiştir [9].



Sekil-3.8 : Dren borularının çap (AC) grafiği suları (V) debi (Q)
(Kıl künk drenler $k_b = 0.7 \text{ mm}$)



Şekil-3.9: Oluklu dren borularının çap (AÇ) grafiği Su hızı (V) debi (Q) (Kıvrımlı PVC dren boruları $K_b = 2.0 \text{ mm}^2$)



3.10 : Dren borularının çap (A_C) grafiği suları(V) debi(Q) (Düz PVC borular $k_b = 0.1 \text{ mm}$)

3.7.2. Drenler için amprik formül

GAUCKLER – MANNING STRICKLER formülüne göre, [9]

$$V = k_s \cdot R^{\frac{2}{3}} \cdot J^{\frac{1}{2}} \text{ [m/sn]} \dots \dots \dots \quad (3.10)$$

Burada;

V = Boru içindeki su hızı (m/sn)

k_s = Pürtüzlülük katsayısı ($m^{\frac{1}{3}}/\text{sn}$)

R = Hidrolik yarıçap (mt)

J = Su yüzeyi eğimi (arazi eğimine eliş) (%)

Burada D (cm), J (%) ve $k_s = 75$ ($m^{\frac{1}{3}}/\text{sn}$) alınarak (3.10) denklemi

$$V = 1.38 D^{\frac{2}{3}} \cdot J^{\frac{1}{2}} \text{ (m/sn)} \dots \dots \dots \quad (3.11)$$

denklemi elde edilir. (3.8) eşitliğinde değerler yazılırsa;

$$Q = 0.1085 D^{\frac{5}{3}} \cdot J^{\frac{1}{2}} \text{ (lt/sn)} \dots \dots \dots \quad (3.12)$$

amprik ifadesi meydana gelir.

Eğer $k \neq k_s = 75$ ise yeni k pürtüzlülük değeri $k_y = k / k_s$ ile çarparak k_y (istenilen pürtüzlülük katsayısı)'ye göre V ve Q elde edilir.

IV. BÖLÜM

4. DREN ARALIKLARININ HESABI

4.1. Genel

Dren sisteminin randımanı ve ekonomisi üzerinde en etkili faktör, dren borularının döşeme derinliği ile aralıklarına bağlıdır. Dren borularının derinliği ekilecek bitkinin kök derinliğine bağlı olarak veya toprağın kullanım amacına göre değişir.

Dren aralıkları, potansiyel akımlara bağlı teorik buluşlara göre, objektif olarak hesaplanıp kullanılabilir. Dren aralıklarının hesaplanması büyük ölçüde sabit akım durumuna göre belirlenmiştir. Toprağa giren su ile topraktan çekilen debi birbirine eşittir [9].

Dren aralığı hesap yönteminde, bir taraftan toprakta aşırı ıslaklık oluşturan neden, diğer taraftan da toprak permeabilitesi gözönüne alınır.

Dren aralığı hesabı, sadece yeter derecede permeabil olan ($k > 0.06 \text{ m/gün}$) ve yeraltı suyu içeren topraklarda uygulanır.

Paralel drenler arasındaki yeraltı suyu akımı; düşey, yatay ve radial bileşenlere ayrılabilir. Bu bileşenler bir akım çizgisinin bileşenleridir. Bu akım çizgileri yaklaşık bir metodla çizilebilir.

4.2. Düzgün ve Düzgün Olmayan Akım Şartları

Dren aralığının hesabında kullanılan formüllerin çoğu, HOOGHOUTT ve ERNST' de dahil düzgün akış şartları için geliştirilmiştir. Devamlı düzgün yağış, drenlerin düzgün beslenmesi yani giren su miktarı çıkan su miktarına eşit kabul edilmiştir.

Uygulamada bu kabul ender olur. Fakat tabiatta taban suyu hem alçalır, hem de yükselir. Buna rağmen çözümlerde düzgün akış şartları göz önüne alınacaktır.

Belirli hidrolojik şartlar altında drenaj sistemi için drenaj akış katsayısı bilinmelidir. Drenaj katsayısı, düzgün ve düzgün olmayan akış şartları için farklıdır.

Düzgün olmayan akış formülü için drenaj katsayısı belirli bir durum, başlangıç alınarak, belirli gün sayısında taban suyunda istenilen alçalmadan sonra belirlenebilir (t zamanda h_0' dan h_t' ye düşme).

Düzgün akış formülünde, belirli dren derinliği için drenaj katsayısı; müsade edilen en yüksek taban suyu seviyesi $[h]$ ve $[q]'$ nun bir bileşimidir. Proje akışı $[q]$; ortalama yağış dağılışı, dren derinliği ve $[h]$ maksimum nap yüksekliğine göre elde edilir.

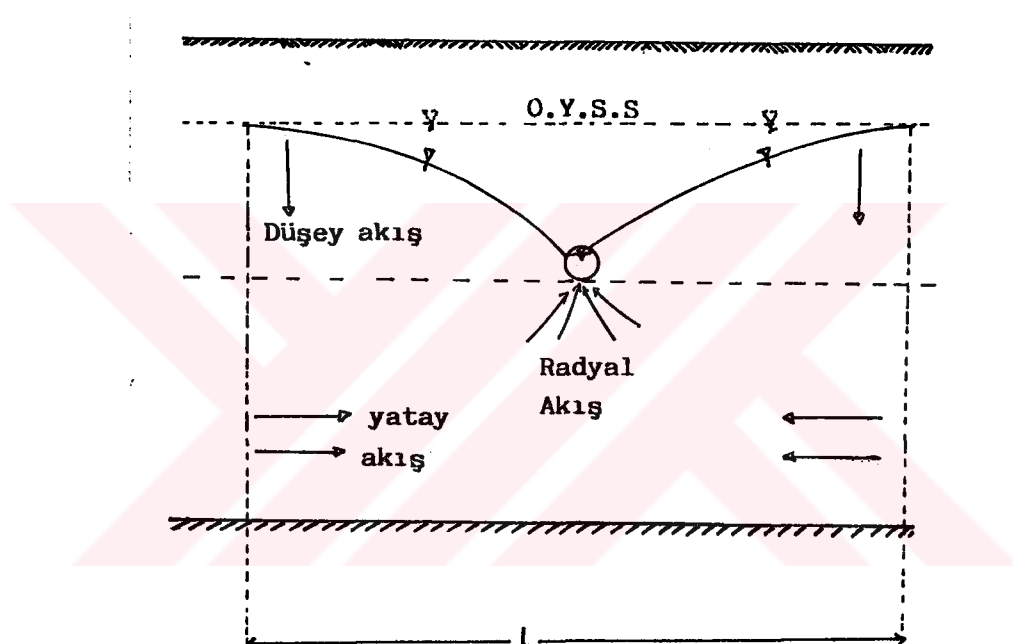
Drenaj sistemi için hesap edilen, drenaj katsayısının yeterli olup olmadığı yıl içerisinde taban suyu ve tarım üzerindeki etkisinden anlaşılır. Eğer giren su ile boşalan su birbirinden farklı ise; düzgün olmayan akış formülleri kullanılmalıdır (Dumm 1954, Kraijenhoff 1958, Maasland 1956) [10].

4.2.1. Düzgün akış şartları

Taban suyunun dren sistemlerine akışı; düşey, yatay veya radyal akım şeklinde meydana gelir. Akım çizgileri dren borularına yaklaşığı zaman, akımda büzülmeye ve yavaşlama meydana geliyorsa oluşan bu akım radyal akımdır.

Dren aralıklarının hesabında genelde yatay ve radyal dirençler

dikkate alınır. Çünkü direnç küçüktür. Dren aralıklarının hesaplanması sırasında geçirimsiz tabakanın büyük etkisi vardır. Şekil -4.1. de akım durumları şematik olarak gösterilmiştir. Akımın yatay veya düşey direnci geçirimsiz tabakanın derinliğine bağlıdır. geçirimsiz tabaka, dren borularının derinliğine göre üç şekilde olabilir.



Sekil 4.1. Düzey, radyal ve yatay akış bileşenleri

- a - Eğer dren borusu geçirimsiz tabaka üzerinde veya çok yakınına yerleştirilirse yatay direnç büyük, radyal direnç çok küçük olur. Dren aralıkları yatay dirence göre yapılır.
 - b - Geçirimsiz tabaka $\frac{1}{4} L'$ den daha derinde ise; yatay direnç küçüklür, ama radyal direnç çok büyük. Dren aralıklarını radyal direnç değerine göre çözmek gereklidir.
 - c - Geçirimsiz tabaka ile dren borusu arasında $\frac{1}{4} L'$ den daha az bir mesafe bulunursa, radyal ve yatay dirençlere göre hesaplamak gereklidir.

c maddesinde açıklanan durum üzerinde bir çok araştırmacı önemli çalışmalar yapmış olmakla birlikte bunlardan önemlisi, Hooghoudt'un çalışmasıdır.

4.3. Hooghoudt Denkleminin Esasları

Drenaj problemlerinin çözümü, basitçe uygulanan matematiksel ifadelerle hesaplanabilir. Literatür araştırmaları sonunda görülen genel durum; zemin durumunun çok değişik olması nedeniyle, yaklaşık metodlar verilmiştir.

Bulunan teorik ifadeler, küçük alanlara uygulanarak gerekli deney sonuçları belirlenir. Bulunan deney sonuçları ile teorik sonuçlar bir-biriyle karşılaştırılır. Bir çok durumda deney sonuçları ile teorik sonuçlar tamamen birbirine uymaz. Bu durumda teorinin uygulanmasında fikir yürütmek gereklidir.

Bazı durumlarda teori, drenajın derinlik ve problemin çözümü için uygun sonuçlar verir. Diğer durumlarda teori sadece özel yaklaşımlarda yararlı olur [14].

Drenaj sisteminin esas amacı lokal alanların drenajını sağlamaktır. Rutubetli zeminler için Hollanda'lılar bir çok teknik metod geliştirmiştir ve hala kalkınmada kullanılmaktadır. Bu konuda drenaj probleminin çözümü için genel metodlar verilmiştir.

Bureau of Reclamation sulama yapılan bölgelerde drenaj probleminin çözümü için yol göstermektedir. Sulama alanları, ıslak alanlardan farklı olsa da aralarında benzerlik olduğundan sulama analizlerindeki aynı metodlar kullanılabilir.

Hollanda'lı Dr. S.B. Hooghoudt araştırmaları sonunda, drenaj probleminin önemli bir çözümünü bulmuştur. Hooghoudt sahanak yağış ile taban su seviyesini bir denklem haline getirmiştir.

Sahanak yağış, zemin permeabilitesi drenaj derinliği ve drenaj alanı için su seviyesi yüksekliği, nasıl verilir?

Yeraltı su akışı, geçirimsiz tabaka ile sınırlandırıldığından dolayı drenaj sisteminden çıkan su miktarı; zemin yüzeyinden sızan yağmur veya sulama suyu miktarına eşittir.

Bu durumda su seviyesi denklemi, yağmur veya sulama suyu ile belirtilir. Amaç su seviyesi denkleminin çözümünü yapmaktadır. Bu denklemin çözümü aşağıdaki faktörlere bağlıdır.

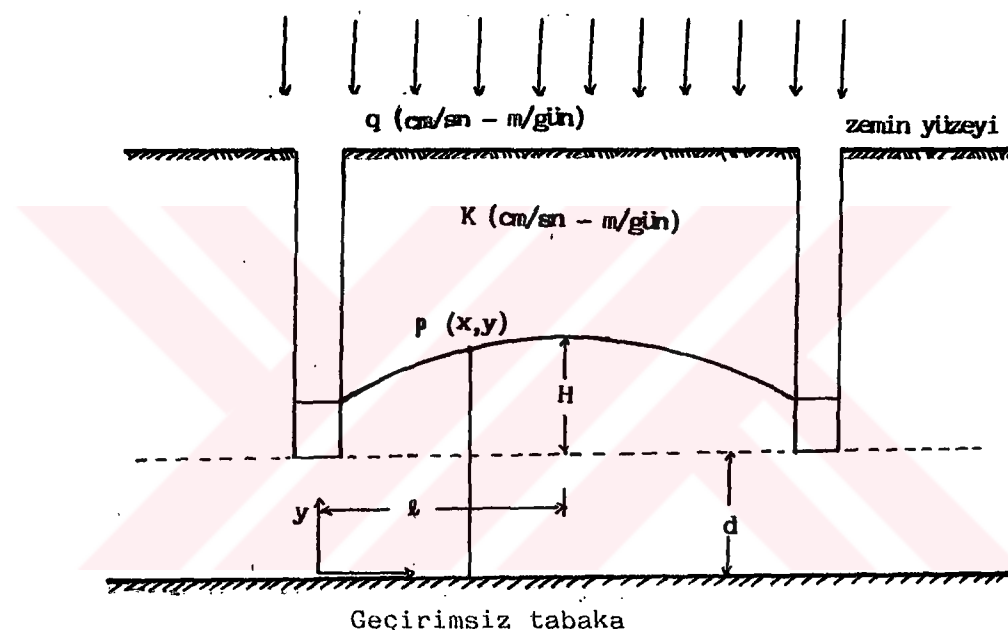
- 1 - Yağmur veya sulama suyu miktarı
- 2 - Zeminin permeabilitesi
- 3 - Drenaj derinliği ve alanı
- 4 - Geçirimsiz tabaka derinliği

Matematiksel ifadelerde 4. madde önemli bir faktör değildir. Kabuller üzerine problemin matematiksel analizleri birleştirilince sonuçta, spesifik bir su seviyesi kotu elde edilir. Daha sonraki çözümlerde bu konunun faydalı veya zararlı olacağı uygulanacak alana bağlı olarak bulunur.

Kullanılabilir drenaj teorilerinde Dr. S.B. Hooghoudt kadar ABD'den Dr. Don Kirkham "Sabit yer problemlerinin çözümü" yöntemi de önemlidir. Ancak Houghoud teorisi basittir, Kirkham teorisi karışık matematiksel fonksiyonlar gerektirmektedir [14].

4.3.1. Su seviyesi için Hooghoudt denkleminin yağmur veya sulama suyu ile belirlenmesi

Hooghoudt geçirimsiz bir tabaka üzerinde drenaj analizini Şekil -4.2.'de açıklamıştır [14] .



Şekil 4.2. Hooghoudt için drenaj - derinlik diyagramı

Hooghoudt analizinde arazi üzerine yağan yağmur sabit bir oranda kabul edilir. Hidrolik eğim bir noktadaki su yüzeyinin eğimi olarak kabul edilir. Bu kabul Dupuit-Forchheimer (D-F) kabulü gibidir.

Drenaj sistemlerinde, toplam akışlar için D-F kabullerinin tam doğru olması ~~mükavemetle~~ bağlıdır (Gerçek değerin % 10'u hariç).

Hooghoudt'un başlıca kabulleri şunlardır;

1 - Zemin homojen ve geçirimliliği (k)

2 - Drenaj aralığı L (2l)

- 3 - Hidrolik eğim, bir noktadaki su seviyesinin eğimine eşittir (d_y/d_x)
- 4 - Zemin içindeki suyun hareketi Darcy kanunuına uyar
- 5 - Drenaj ile geçirimsiz tabaka arasındaki derinlik d' dir.
- 6 - q yağmur veya sulama suyu miktarı
- 7 - Orjin bir drenajın merkezinden ve geçirimsiz tabakanın üzerinden alınır.

Şekil -4.2.'de görüldüğü gibi geçirimsiz tabaka üzerindeki su seviyesinde bir $P(x,y)$ noktası alınır. Hesaplar bu düzlem arasında yapılmaktadır. Su oranı q , orta nokta ile şapka kesit düzeminde birim alandan geçen miktarın toplamına eşit olur. Yüzey alanı $(l - x) \times l'$ dir. Birim zamanda akan su miktarı;

$$q_x = (l - x) \times q \dots \dots \dots \dots \dots \quad (4.1)$$

q_x için, Darcy kanunu uygulanarak; ikinci bir ifade elde edilir. Çünkü hidrolik eğim; herhangi bir noktada su seviyesi ile yaptığı sapma-ya eşit olduğu kabul edilmiştir. Yani hidrolik eğim = d_y/d_x geçirimsiz tabaka üzerinde su yüksekliği y 'dir. Akımın kesit alanı düzlemlerde y 'ye eşittir. Darcy kanununda y ifadesi yerine konulursa,

$$q_x = k \cdot y \frac{d_y}{d_x} \dots \dots \dots \dots \dots \quad (4.2)$$

elde edilir.

(4.1) ile (4.2) birbirine eşit olmalıdır.

$$(l - x) \cdot q = k \cdot y \frac{d_y}{d_x} \dots \dots \dots \dots \dots \quad (4.3)$$

(4.3) ifadesi düzenlenirse;

$$q_k \cdot d_x - x \cdot q d_x = k \cdot y \cdot d_y \dots \dots \dots \quad (4.4)$$

(4.4) denkleminin integrali alınırsa;

$$\int q_k \cdot d_x - \int x \cdot q d_x = \int k \cdot y \cdot d_y \dots \dots \dots \quad (4.5)$$

$$(q_k) \cdot x - \frac{q \cdot x^2}{2} = k \cdot \frac{y^2}{2} \dots \dots \dots \quad (4.6)$$

sınır şartlarına göre çözüm yapılırsa;

$$x = 0 \text{ için } y = h + d ; \quad k = \frac{L}{2}$$

$$x = L \text{ için } y = H + d$$

(4.6) eşitliği sınır şartlarına göre çözülürse;

$$L^2 = \frac{4k(H^2 - h^2 + 2dH - 2dh)}{q} \dots \dots \dots \quad (4.7)$$

eşitliği elde edilir.

Burada en önemli nokta, geçirimsiz tabakadan, dren tabanına kadar olan d mesafesi faktörüdür. Bu değer (d) sonsuza kadar gider; L 'de sonsuza kadar gider ki bize drenaj bölgesini verir.

Drenajın tabanındaki akım için, D-F kabulleri hesapta doğru sonuç vermez. Pratik olarak drenaj başta boş olarak kabul edilir. Bu nedenle Hooghoudt denklemi;

$$L^2 = \frac{4 \cdot k \cdot H}{q} (2d + H) \dots \dots \dots \quad (4.8)$$

kadar azalır. (4.8) denklemi Hollanda, Avustralya ve ABD'de dizayn amacıyla kullanılmıştır.

Denklem 3. dereceden bir elips'tir. Koordinat sistemi orta nokta ile drenaj arasına taşınınca elips olduğu görülür. (4.6) eşitliği tekrar yazılırsa, ve bu eşitlikte (4.9) denklemi yerine konulursa;

$$q_k \cdot x - \frac{q \cdot x^2}{2} = \frac{k \cdot y^2}{2}$$

denklemi (4.6)'da yerine yazılırsa;

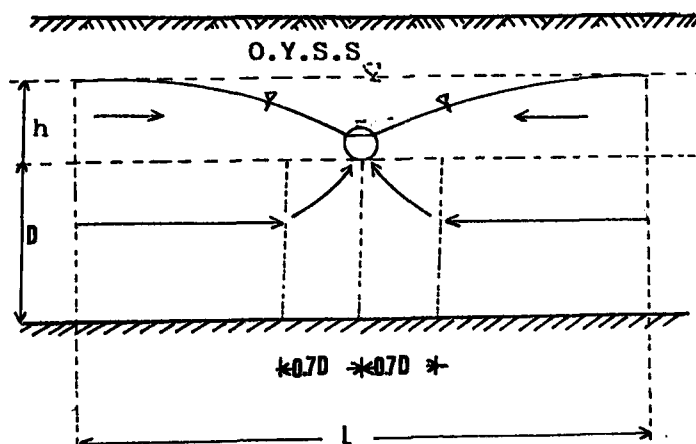
elde edilir. Bu eşitlikte elips'in alt ve üst eksenlerinin değerleri

ℓ ve $\ell \cdot \sqrt{\frac{q}{k}}$ dir.

4.3.2. Hooghoudt'un esdeğer tabakası d'nin hesabı

Hooghoudt tarafından ortaya atılan "Eşdeğer Tabaka" kavramı [d] drenler arasındaki radyal akış etkisini içerisinde almaktadır. Yeraltı su akımının çoğu drenler altında meydana geliyorsa dren aralıklarında büyük değişimlere neden olur.

Yeraltı su akışı drenlerden itibaren 0.7.D mesafeye kadar yatay akış halinde meydana gelir. Drenden itibaren 0.7.D mesafeye kadar radial akış vardır [4].



Şekil -4.3. Hooghoudt'a göre dren altında oluşan akım

Drenlerin altında D kalınlığı bir geçirgen tabaka var ise; teorik olarak d durumuna çevrilebilir.

R toplam direnç olmak üzere;

$$R = \text{Toplam direnç} = \text{Yatay direnç} + \text{Radyal direnç} \dots\dots(4.11)$$

Hooghoudt radyal direnç için, $1/\pi \ln(0.7 \cdot D/r)$ ifadesini teklif etmiştir.

Yatay direnç drenlerden itibaren $0.7D'$ ye kadar hesaplanmıştır [2].

elde edilir.

4.3.3. Tabakalaşmış zemin için Hooghoudt denklemi. [9]

Zemin tabakasının drenaj üzerindeki geçirimliliği k_1 ve drenaj

hattının altındaki geçirimliliği k_2 ise Hooghoudt formülü

$$L^2 = \frac{4}{q} (k_1 \cdot H^2) + \frac{8}{q} (k_2 d H) \dots \dots \dots \quad (4.14)$$

elde edilir. Yatay çok tabakalı zeminlerde permeabilite katsayıları permeabilitelerin ortalaması alınarak hesaplanır. Drenaj çizgisi üzerinde üç ayrı geçirimliliğe sahip k_1 , k_2 , k_3 ve üç ayrı derinlik b_1 , b_2 , b_3 mevcut ise ortalamaları;

$$k_O = \frac{k_1 \cdot b_1 + k_2 \cdot b_2 + k_3 \cdot b_3}{b_1 + b_2 + b_3} \dots \dots \dots \quad (4.15)$$

ifadesinden hesaplanır (Yatay tabakalaşma durumu)

4.3.4. Hooghoudt denkleminin kullanımı

Geçirimsiz tabakaların derinliğine bağlı olarak drenaj altındaki akım için grafikler çıkarılmıştır. Hooghoudt akımının, yatay akışı ile derinlikle değişimi tahmin edilen radyal akımla karşılaştırıldı. Wesseling (1964), Hooghoudt'un derinlik denkleminin % 5 doğru olduğuna işaret etti. Hooghoudt ile elde edilen derinlik denkleminin değeri 3d değerindendir.

Geçirimsiz bir tabakanın belirlenmesi, genelde düzensiz bir alanda yapılır. Alt tabakanın geçirgenliği üst tabakanın onda biri ise, o zaman bir analizle geçirimsiz tabaka olduğu kabul edilebilir. Geçirimsiz tabakadan suyun sızmaması veya olmaması kabulü geçerli değildir. Suyun önemli miktarı geçirimsiz tabakadan geçebilir, kabulü yapılır. Fakat deneysel olarak alınan akım gerçek akımdaki gibi etkili değildir [14].

4.3.5. Yağmur suyu veya sulama suyu oranının belirlenmesi

Tabandaki su miktarı, zeminden sızan suyun belirlenmesiyle elde

edilir. Hooghoudt denklemindeki q ise, yağmur suyu veya sulama suyu oranıdır. Yağışlar seyrek olarak uzun zaman peryodunda sabit ise, bu durumda q pek çok faktöre bağlıdır. Aşırı yağışlarda önce nemli bölgeler dikkate alınır.

Yeraltı su seviyesinin yeniden oluşum miktarına bir çok faktör etki eder. Bu faktörler;

- Çok şiddetli yağmur anında zeminin su alması
- Kayıpları önleme
- Sızma derinliği
- Artezyen sızması
- Yüzeysel akış
- Evapotranspirasyon (Buharlaşma)

Sonuç olarak denilebilir ki, q parametresi karmaşık olan hidrologin bir faktörlüdür. q parametresini ölçmek için en uygun çözüm; drenajdan dışarı atılan suyu ölçerek elde edilir.

4.3.6. Hooghoudt denkleminin ıslak alanlara uygulanması

Ekilebilir alanlar için su seviyesi zemin yüzeyinden itibaren 50 cm' den fazla olamaz. Çim alanlar için 40 cm' dir. Bu şartlarda drenaj derinliği yaklaşık 80-90 cm' dir. Hollanda'da kullanılan bir yaklaşımı göre drenajın oranı veya q yaklaşık olarak 5-7 mm/gün alınıyor.

Zemin yağmur suyuna maruz kaldığı zaman su seviyesi yükselir. Zamanla bağlı olarak oluşan su yükseklikleri ile o zamana ait sıcaklıklar grafik halinde işaretlenirse bitkilere çok büyük faydası olur [14].

4.4. Kirkham 1958 Formülü

Kirkham, problemi matematiksel yollar kullanarak analiz etmiştir. Bulduğu sonuçlar Hooghoudt' tan daha kesindir. Fakat matematiksel sonuçları çok karmaşıktır. Wesseling her iki formül arasındaki farkın % 5' ten az olduğunu ifade etmiştir [14].

Kirkham forüllü ise;

$$H^d = (LR/k) \times F (2r/L, D/L) \dots \dots \dots \quad (4.16)$$

F ifadesi ise;

$$F = \frac{1}{n} \left\{ \ln \frac{L}{\pi \cdot r} + \sum_{m=1}^{\infty} \left[\frac{1}{m} \left(\cos \frac{m\pi r}{L} - \cos m\pi \right) \cdot \left(\coth \frac{m\pi D}{L} - 1 \right) \right] \right\} \dots \dots \quad (4.17)$$

H^d = Maksimum su yüksekliği

R = Yağış oranı = q

k = Permeabilite

D = Dren tabanı ile geçirimsiz tabaka arasındaki mesafe

L = Dren aralığı

r = Dren yarı çapı

4.5. Bureau of Reclamation Formülü

Dren aralıklarının hesabı için önemli çalışmalar yapılmıştır. Bu araştırmalar gösteriyor ki, yeraltı suyu hareketi ile ilgili daha kesin dizayn metodları elde edilebilir. Yeraltı suyu akımının değişken olması nedeniyle zeminde herhangi bir noktadaki akım sabit değildir. Bu akım zamanla değişimeli, zamanla değişen akımlar "sabit durumlu", tersi akımlar ise süreksız akımdır.

Drenajın geçici durumu ile ilgili yapılan öncü çalışmalar Bureau of Reclamation komisyonu ile R.D. Glover tarafından yapılmıştır. (4.18) ifadesi Glover ve (B.R) tarafından yapılan çalışmalar sonunda bulunmuştur [14].

$$\frac{k \cdot D}{s} \cdot \frac{dy}{dt} = \frac{d^2y}{dx^2} \dots \dots \dots \quad (4.18)$$

Burada;

k = Permeabilite

D = Su akıntısının tabandan iltibaren derinliği

s = Spesifik kabul

y = Suyun başlangıç noktasından itibaren, deniz seviyesinden yüksekliği

Bu metod geçici su seviyesi için çıkarılmıştır.

Zemine paralel olan drenajların denklem çözümleri Glover ve arkadaşları tarafından çözülmüştür. Bu çözümler zemine paralel drenajlar için dedir. Farklı şekildeki araziler içinde farklı çözümler elde edilmiştir. Bu çözümler Bureau of Reclamation tarafından kullanılmaktadır. denklem 4. dereceden bir paraboludur.

$t = 0$ hali için fonksiyon;

$$y = \frac{8 \cdot H}{L^4} (L^3 \cdot x - 3L^2 \cdot x^2 + 4Lx^3 - 2x^4) \dots \dots \dots \quad (4.19)$$

her iki drenaj türünde su seviyesi benzer yaklaşım larla veya;

$$v = 0 \quad t = 0 \quad x = 0$$

$y = 0$ $t = 0$ $x = L$ seklinde dir.

Denklemdeki iki sınır şartı için (4.19) eşitliği

$$y = \frac{192.H}{\pi^5} \sum_{m=0}^{\infty} \frac{(2m+1)^2 \cdot \pi^2 - 8}{(2m+1)^5} \exp\left(-\frac{(2m+1)^2 \cdot \pi \cdot \alpha \cdot t}{L^2}\right) \cdot \sin \frac{(2m+1) \cdot \pi \cdot x}{L} \dots (4.20)$$

Burada;

$$\alpha = k \cdot D/s$$

k = Permeabilite

D = Bölgenin akış derinliği

L = Dren aralıkları

H = Drenajın orta noktasındaki su yüksekliği

Her iki drenaj arasındaki su yüksekliği ise;

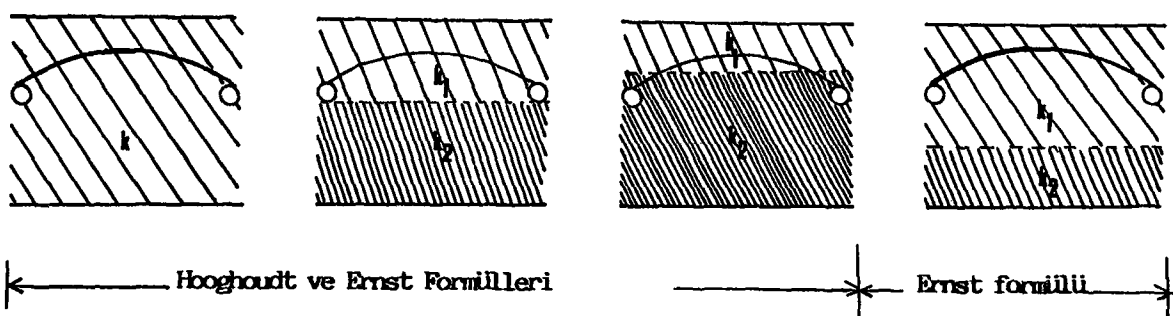
$$y + x = \frac{L}{2} \text{ gibi}$$

$$H = \frac{193}{\pi^3} \sum_{n=1,3,5}^{\infty} (-1)^{(n-1)/2} \frac{n^2 - 3/\pi^2}{n^5} \exp\left(-\frac{\pi^2 n^2 \alpha \cdot t}{L^2}\right) \dots \dots \dots (4.21)$$

Serinin ilk terimini almak suretiyle yaklaşık bir çözüm elde edilir.

4.6. Ernst Formülü

Kurutma alanında, birden fazla geçirimli tabaka mevcutsa; ve dren boruları üst toprak tabakasına yerleştirilirse Ernst formülü kullanılır. Hooghoudt formülünün kullanıldığı diğer çözümler içinde kullanılabilir. Literatürlerde bu formüllerin rahat kullanılması için grafikler hazırlanmıştır.

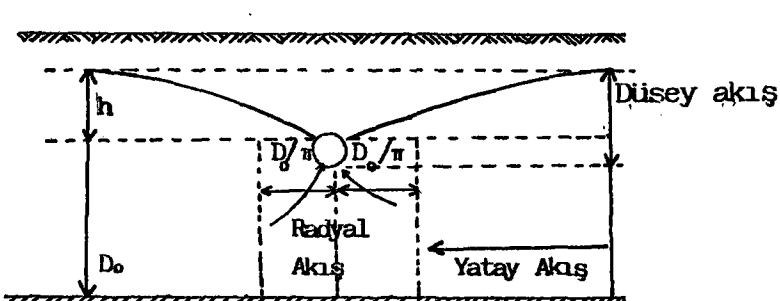


Şekil -4.4. İki tabaklı toprakta tabakaların pozisyonları

Ernst formülünün esas özelliği; yeraltı su akımını üç bileşene ayrılarak incelenmesidir [9].

- Düşey akış (V)
- Yatay akış (h)
- Radyal akış (r)

Üç hidrolik yükün toplamı $h = h_V + h_h + h_r$ 'dir. Bu akış için gerekli hidrolik yük, her bir bileşen için formülden hesaplanır. Dren aralığı ise deneme – yanılma yöntemiyle bulunur.



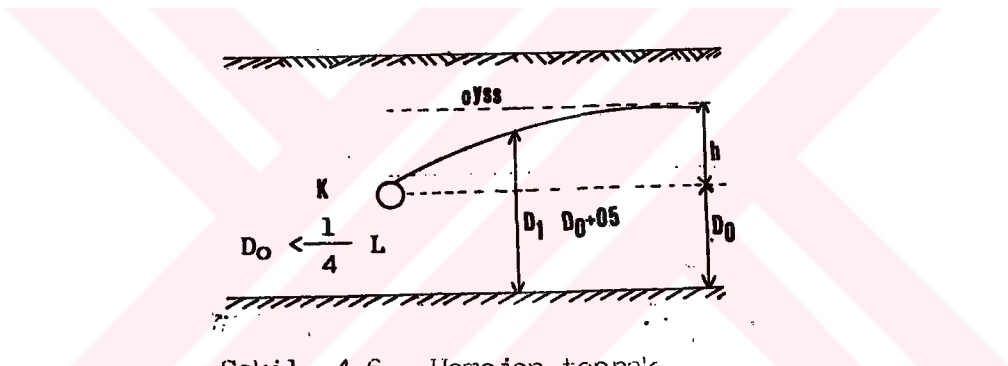
Şekil -4.5. Ernst formülünün prensibi

Genel ifadesi;

$$h = \frac{q \cdot Dv}{k_1} + \frac{q \cdot L^2}{8 \cdot k \cdot D} + \frac{q \cdot L}{\pi \cdot k} \ln \frac{D_o}{u} = h_v + h_h + h_r \dots (4.22)$$

Tarım topraklarında genelde üç duruma restlanır [4].

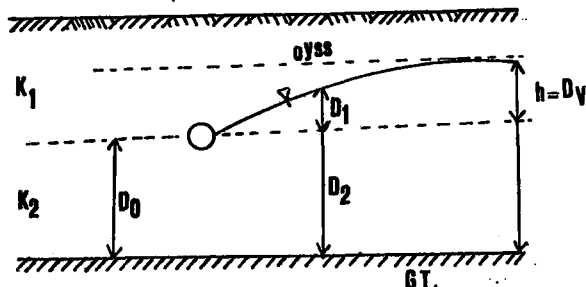
1 - Dren borusu geçirimsiz tabaka seviyesinin altında, D_O derinlikte; homojen tabaka ise $D_O < \frac{1}{4} \cdot L$ durumu



Şekil -4.6. Homojen toprak

$$h = \frac{q \cdot L^2}{8kD_1} + \frac{qL}{\pi \cdot k} \ln \frac{D_o}{u} \quad \dots \dots \dots \quad (4.23)$$

2 - Dren seviyesi farklı iki tabakanın birlesme yerindedir.



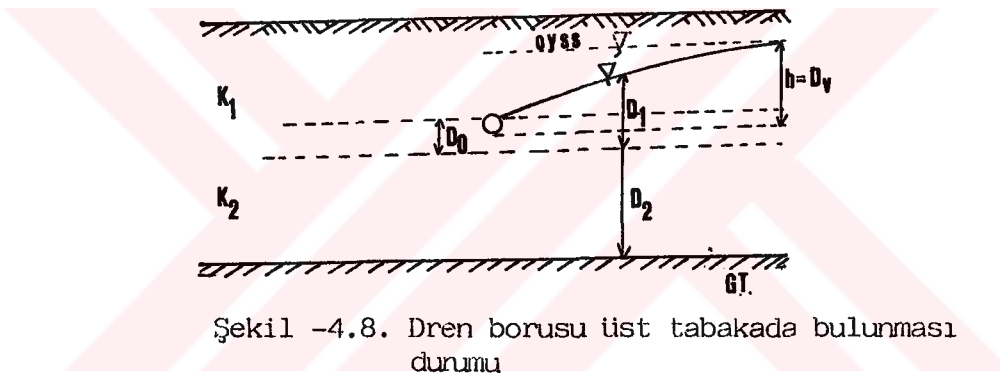
Sekil -4.7. Dren farklı iki tabakanın sınırlarıdır.

$$k_1 > k_2 : h = \frac{qL^2}{8(k_1 D_1 + k_2 D_2)} + \frac{qL}{\pi k_2} \ln \frac{D_O}{u} \quad \dots \dots \dots \quad (4.24)$$

$$k_1 \ll k_2 : h = \frac{q_1 D_V}{k_1} + \frac{q_1^2}{8k_2 D_2} \ln \frac{D_O}{u} \dots \dots \dots \quad (4.25)$$

$k_1 \gg k_2$: Hooghoudt formülü kullanılır.

3 - Dren boruları altında iki farklı tabaka var ise;



$$h = \frac{q \cdot D_V}{k_1} + \frac{q L^2}{8(k_1 D_1 + k_2 D_2)} + \frac{q L}{\pi k_1} \ln \frac{a D_0}{u} \dots \dots \quad (4.26)$$

Çözümler grafikle yapıldığı zaman a ; k_2/k_1 ve D_2/D_O 'a bağlı olarak çözülür [9].

Formulde:

h = Hidrolik yük

D_y = Düşey bileşen için tabaka kalınlığı

$D_1 = k_1$ tabakasının yatay bileşeni için ortalama kesit

$D_2 = k_2$ tabakasının yatay bileşeni

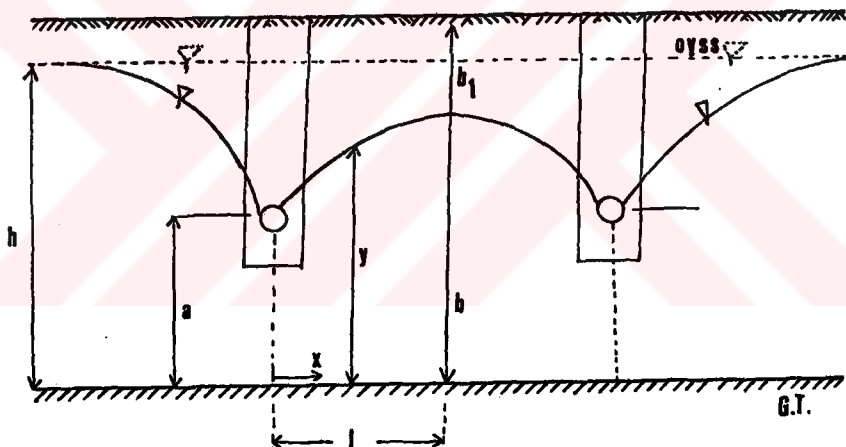
D_Q = Radyal direnç için tabaka kalınlığı

u = Islak gevre

q = Birim debi

4.7. Donnan Formülü

Yeraltı su seviyesini düşürmek için; alınacak Q debisi ile dren aralığı, derinliği ve başka veriler arasında bulunan ilişki için bir çok öneriler yapılmış, bu öneriler arasında Donnan yaklaşımı en pratik olmalıdır. Türkiye'de Devlet Su İşleri ile Köy Hizmetlerinde pratik hesaplar genelde Donnan formülü ile yapılır [6].



Şekil -4.9. Donnan formülünün prensibi

- Orjinal yeraltı su seviyesi
- İstenen son su yüzeyi
- Zemin yüzünden itibaren yeraltı suyu derinliği b_1 (mt)
- Yeraltı suyu nap yüksekliği ile geçirimsiz tabaka (b) derinliği (mt)
- Dren derinliğinin geçirimsiz tabakaya (a) uzaklığı (mt)
- Dren aralıkları (L)mt göstermektedir.

Herhangi bir kesitin dren ekseninden uzaklığı, x ve bu kesitteki debi q_x ise;

$$x = 0 \quad \text{için} \quad q_x = Q/2, \quad l = \frac{L}{2}$$

$$x = l \quad \text{için} \quad q_x = 0$$

$$q_x = (l - x) \cdot 1 \quad \dots \dots \dots \quad (4.27)$$

Drenler arası orta uzaklık $\frac{L}{2}$ ve debi $\frac{Q}{2}$ dir.

$$(l - x) \cdot \frac{Q}{2} = l \cdot q_x \quad \dots \dots \dots \quad (4.28)$$

$$q_x = \frac{1}{L} \cdot (l - x) \cdot Q \quad \dots \dots \dots \quad (4.29)$$

diğer taraftan Darcy eşitliği yazılırsa;

$$q_x = k \cdot y \cdot \frac{dy}{dx} \quad \dots \dots \dots \quad (4.30)$$

Hendek boyunca bir metre boyda kesit alanı $y \times 1 \text{ m}^2$ 'dir.

(4.29) ve (4.30) eşitlikleri birbirine eşitlenip düzenlenirse;

$$Q = \frac{4 \cdot k(b^2 - a^2)}{L^2} \quad \dots \dots \dots \quad (4.31)$$

Bu ifadenin çıkarılışında şu kabuller yapılmıştır.

- Drenaj borusunun bir yanından giren akım debi 1 m. boru boyunca $Q/2 \text{ m}^3/\text{sn/m}$ ve bu değer değişmez.
- Akım yatay dren yan yüzeylerine diktir
- Drenlerin orta noktasına gidildikçe debi azalır

Drenler arasında Q 'nın uzaklıkla orantılı olarak değişmesi yaklaşık olarak doğrudur.

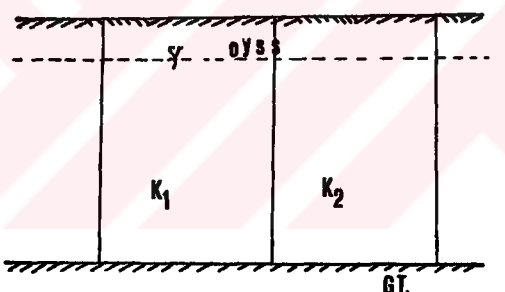


V. B Ö L Ü M

5. ÇALIŞMANIN AMACI

5.1. Genel

Dren aralıklarının hesabı için, zemin permeabilitesi genel olarak, yatay şekilde tabakalaşmış zeminler için hesaplanmış, formülatörlerin geneli bu teori üzerine kurulmuştur. Aynı zemin şartlarında tabakalaşmanın düşey yönde olduğu düşünülürse; bu şartlarda oluşacak olan yeraltı su yüzeyi tıpkı yatay tabakalaşmış zeminin özelliklerini yansıtır. Ancak bir drenaj şebekesi kurulursa; drenlere doğru oluşan yeraltı suyu ile farklı geçirilikteki tabakalarda oluşacak nap yüzeyi birbirinden farklı olacaktır.



Şekil -5.1. Düşey yönde tabakalaşmış zemin

Bu farklılık drenajın her metresinden alınan q debisinin ve farklı geçirilikteki tabakaların permeabilitelerine bağlıdır.

Bu çalışmada yeraltı suyu debisi sabit olarak dikkate alınmış ve akımın yatay yöndeoluştüğü kabul edilmiştir.

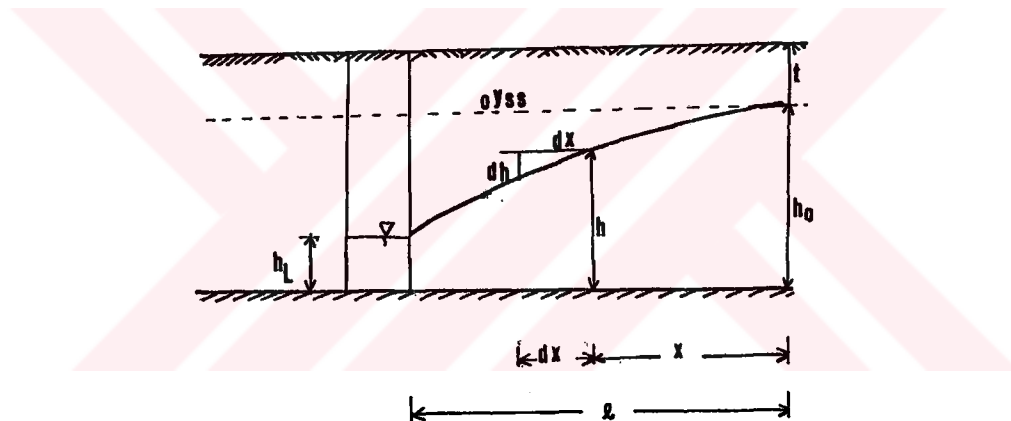
Drenaj sistemi kurulmadan önce, zeminde mevcut olan yeraltı su seviyesi, drenaj borularının yerleştirilmesinden sonra belirli bir miktar alçalır. Meydana gelen yeni nap yüzeyi permeabiliteleri farklı zeminlerin özelliklerine bağlıdır.

Permeabilitesi büyük olan zemin bölgesi, suyu çabuk filitre ettiğinden alçak bir nap yüzeyi meydana gelir.

Permeabilitesi küçük olan zeminlerde ise akımda bir yavaşlama meydana geldiğinden nap yüzeyi, zemin yüzeyine daha yakın olur.

5.2. Yeraltı Su Yüzeyi Denklemi

Dren aralıkları ilk yaklaşımında Dupuit kanunu ve süreklilik denklemi-ne göre yapılmıştır [15].



Şekil -5.2.Dupuit formülünün prensibi.

Dupuit eşitliğine göre;

$$Q = - k \cdot h \frac{dh}{dx} \quad \dots \dots \dots \quad (5.1)$$

(5.1) denklemi x boyunca h_0 'dan h a kadar integralini alıp h cinsinden ifade edilirse;

$$h^2 = h_0^2 - \frac{2Q}{k} \cdot x \quad \dots \dots \dots \quad (5.2)$$

Su yüzü denklemi debi ve permeabilite (k)'ya bağlı olarak bulunur.

(5.2) ifadesinin sınır şartları gözönüne alınırsa;

$x = t$ için $h = h_t$ olur.

(5.2) denkleminde bu ifadelerin yazılması sonucu;

$$h_L^2 = h_0^2 - \frac{2Q}{k} + x \quad \dots \dots \dots \quad (5.3)$$

ifadesi elde edilir.

(5.4) denklemının sağdaki eşitliği (5.2) ifadesinde yerine yazılır ve denklem düzenlenirse;

$$h^2 = h_o^2 - \frac{h_o^2 - h_L^2}{\ell} \cdot x \quad \dots \dots \dots \quad (5.5)$$

ifadesi elde edilir.

(5.5) denklemi debi ve permeabiliteye bağlı olarak, nap yüzeyini geçirimsiz tabaka üzerindeki her x mesafesinde geometrik kotunu verir.

Denklemde ;

h_o = Drenler arası orta noktadaki maksimum nap yüksekliği (mt)

h_L = Suyun dren borusundaki yüksekliği (mt)

$\ell = \frac{L}{2}$ dren aralıkları yarı mesafesi (mt)

h = Her x . mesafesinde nap yüksekliği (mt)

Dren borusuna serbest yüzü bir akım şeklinde, sızan yeraltı suyu için su kabulleri yapılmıştır.

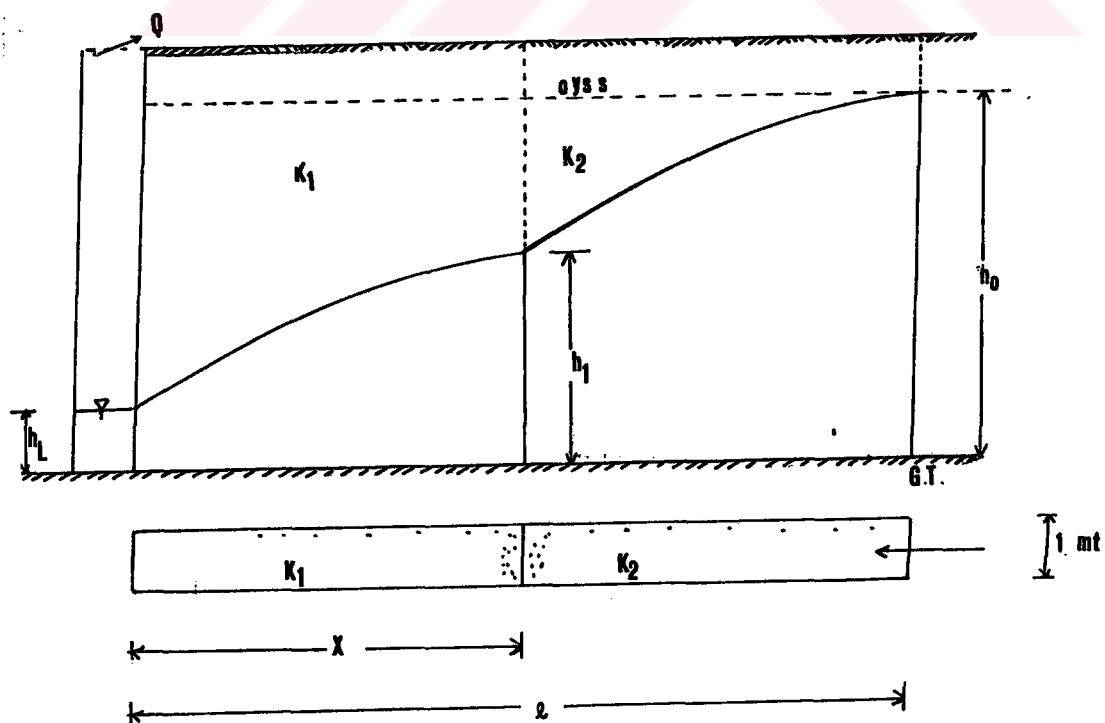
- ℓ mesafesinde zemin homojen ve izotrop

- Akım bütün bölgede Darcy kanununa uyar
- Akım iki boyutluudur.
- Akım permanentir
- Su sıkışmaz kabul edilmektedir.
- Akım düşey düzlemede meydana gelmektedir
- geçirimsiz tabaka yataydır

5.3. Geçirimlilik Katsayıları Farklı Zeminlerde Nap Yüzeyi

Homojen topraklarda, yeraltı su yüzeyinin genel ifadesi Dupuit eşitliğinden [18] ;

$$Q \cdot x = \frac{k}{2} (h_1^2 - h_L^2) \dots \dots \dots \dots \quad (5.6)$$



Şekil - 5.3. İki tabaklı zemin durumunda yeraltı su yüzeyi

Permeabiliteleri k_1 ve k_2 olan iki tabaka olduğu kabul edilirse; hendek veya dren borusunun bu tabakalardan herhangi birine yerlestirilmesi sözkonusudur. Dren borusu, geçirim katsayısı k_1 ve etki alanı x olan bir zemin içinde yerleştirilmiş, geçirim katsayısı k_2 ve dren ekseninden itibaren etki alanı ℓ olan diğer bir zeminle gevrilmiş olduğu dikkate alınırsa, farklı geçirimliliğe sahip bu zeminlerde yeraltı su yüzeyi (nap yüksekliği) farklı olacaktır.

Eğer k_1 bölgesinin geçirim katsayısı k_2 den büyük ise; yeraltı suyu k_2 bölgesinde zemin yüzeyine yaklaşacaktır. k_1 bölgesinin geçirimlilik katsayısı k_2 'den küçük ise; k_1 bölgesi çok sıkıştırılmış veya az geçirimliliğe sahip demektir. Bu durumu Dupuit teorisine göre inceleyerek, genel ifade denklemi geçirim katsayıları farklı olan iki zemin tabakası için ayrı ayrı yazılırsa;

$$Q \cdot (\ell-x) = \frac{k_2}{2} (h_o^2 - h_1^2) \dots \dots \dots \quad (5.7)$$

$$Q \cdot (x-o) = \frac{k_1}{2} (h_1^2 - h_L^2) \dots \dots \dots \quad (5.8)$$

(5.7) ve (5.8) denklemleri düzenlenip yazılırsa;

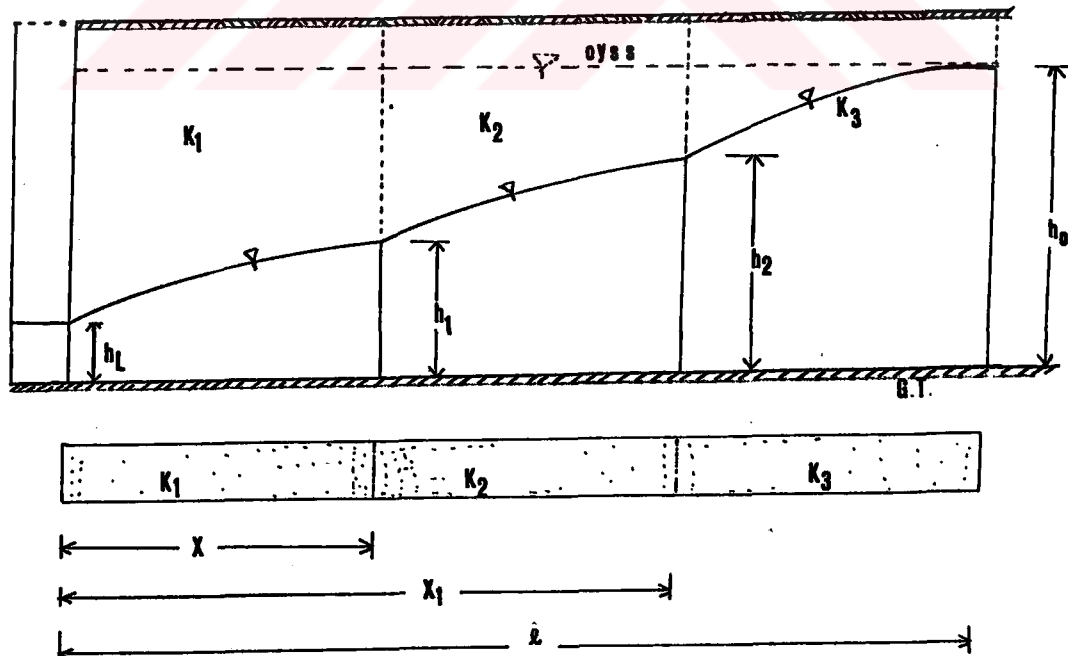
$$h_o^2 - h_1^2 = \frac{2Q}{k_2} (\ell-x) \dots \dots \dots \quad (5.9)$$

$$h_1^2 - h_L^2 = \frac{2Q}{k_1} (x-o) \dots \dots \dots \quad (5.10)$$

(5.9) ve (5.10) denklemlerinde k_1 , k_2 , ℓ , x , h_o ve h_L biliniyorsa h_1 değeri hesaplanabilir. Eğer h_1 yüksekliği ile k_1 , k_2 , ℓ , x , h_o ve h_L belli ise; debi (5.11) denkleminden hesaplanabilir.

$$Q = \frac{h_O^2 - h_L^2}{2\left[\frac{1}{k_2}(l-x) + \frac{1}{k_1}(x-o)\right]} \quad \dots \dots \dots \quad (5.11)$$

(5.9) ve (5.10) denklemlerindeki h_1 değeri, iki denklemin çözüm sonucu aynı değeri vermesi gereklidir. Aksi halde dren aralıklarının hesabında bulunan $l = \frac{L}{2}$ değeri yeniden seçilmelidir. Çözüm doğru ise bulunan l mesafesine bağlı olarak k_1 ve k_2 bölgelerinin etki uzunluğu ne kadar ise hesaplarda, (5.9) veya (5.10) denklemleriyle iki tabakanın tam sınırlarındaki h_1 elde edilir. Aynı teoriden hareketle iki dren arası orta nokta simetri ekseni olmak üzere, dren borusu ile simetri ekseni arasında farklı geçirimsilikte kaç tabaka mevcut ise, her sınırdaki h mesafesi hesaplanır. Bu denklemler permeabiliteleri farklı üç tabaka için yazılırsa;



Şekil -5.4. Üç tabakalı zemin durumunda yeraltı su yüzeyi

(5.6) genel ifadesinden harekette;

$$h_i^2 - h^2 = \frac{2Q}{k_1} (x - o) \dots \dots \dots \dots \dots \dots \quad (5.14)$$

(5.12), (5.13) ve (5.14) ifadelerine bağlı olarak sınırlardaki h_1 ve h_2 ifadeleri biliniyorsa debi miktarı hesaplanabilir.

5.4. İki Boyutlu Akım Denklemi

Zemindeki yeraltı suyu akımı, üç boyutlu bir akımdır. Fakat yeraltı suyu akımını analitik olarak çözmek çok zordur. Bu nedenle yeraltı su akımını çözmek için akımın iki boyutlu olduğunu kabul etmek gereklidir. Yeraltı su akımı, birbirine paralel düzlemlerde meydana gelir. geçirimli zeminlerdeki akım, bir düzlem içinde iki boyutlu olarak incelenirken; akım düzlemini yatay veya düşey olabilir.

Geçirimli zemin homojen ve izotrop kabul edilirse; xy düzey düzleminde sıvı hareketlerinin temel denklemleri [16]

$$q_x = \frac{\partial \phi}{\partial x}, \quad q_y = \frac{\partial \phi}{\partial y} \quad \dots \dots \dots \quad (5.15)$$

Burada; ϕ potansiyel fonksiyon olmak üzere;

$$\phi = -k(y + P/\gamma) \quad (y \text{ ekseni pozitif yön})$$

$$\phi = -k (P/\gamma - y) \quad (\text{y ekseni negatif yön}) \dots \dots \dots \quad (5.16)$$

$$\frac{\partial q_x}{\partial x} + \frac{\partial q_y}{\partial y} = 0 \dots \dots \dots \dots \dots \dots \dots \quad (5.17)$$

(5.15) bağıntısı (5.17) ifadesinde yerine yazılırsa;

$$\frac{\partial^2 \phi}{\partial x^2} + \frac{\partial^2 \phi}{\partial y^2} = 0 \dots \dots \dots \dots \dots \dots \dots \quad (5.18)$$

eşitliği elde edilir.

Hidro dinamiğin akım fonksiyonu ve akım çizgisi kavramları geçi-
rimli zeminlerde incelenirse;

$$\frac{\partial q_x}{\partial x} = \frac{\partial (-q_y)}{\partial y} \dots \dots \dots \dots \dots \dots \dots \quad (5.19)$$

şeklinde yazılabilir.

(5.19) bağıntısı, $(-q_y dx + q_x dy)$ ifadesinin bir $\psi(x,y)$ fonk-
siyonunun tam diferansiyelidir.

Buna göre;

$$d\psi = \frac{\partial \psi}{\partial x} dx + \frac{\partial \psi}{\partial y} dy = -q_y dx + q_x dy \dots \dots \dots \dots \dots \dots \quad (5.20)$$

yazılabilir. (5.20) denkleminden;

$$q_x = \frac{\partial \psi}{\partial y}, \quad q_y = \frac{-\partial \psi}{\partial x} \dots \dots \dots \dots \dots \dots \dots \quad (5.21)$$

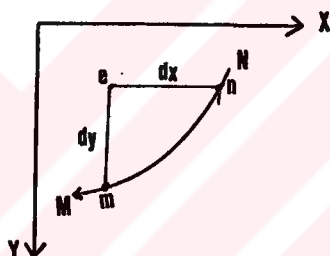
ifadeleri yazılabilir.

Akım çizgisinin diferansiyel denklemi;

$$d\psi = -q_y dx + q_x dy = 0 \quad \dots \dots \dots \quad (5.22)$$

(5.22) bağıntısı bir diferansiyel denklemdir; ve çözümü $\psi(x,y)=\text{ sabit}$, olur. Zeminde meydana gelen akımın, akım çizgisi ile debi arasındaki ilişki ise şu şekilde açıklanabilir [16].

NM düşey düzlemede bir eğri olsun ;



Şekil -5.5. Düzlemede akım durumu

NM eğrisinin, çok küçük bir parçası olan nm gözönüne alınırsa; nm'den geçen debi dQ olur.

Süreklik denklemlerine göre : nm'den geçen debi em'den geçen ve $q_x dy$ 'ye eşit olan en'den geçen ve $q_y (-dx)$ 'e eşit olan debilerin toplamına eşittir.

$$dQ = -q_y dx + q_x dy = d\psi \quad (5.23)$$

bağıntısı elde edilir. NM'den geçen debi ise;

$$Q = \int_N^M dQ = \int_N^M d\psi = \psi_M - \psi_N \quad (5.24)$$

ifadesi bulunur. Bu ifadedeki ψ_N ve ψ_M ; akım fonksiyonunun N ve M noktalarındaki değeridir.

(5.15) ifadesi ile (5.21) ifadesinden,

bağıntıları elde edilir. (5.24.a)'y ye göre ve (5.24.b) x'e göre türevleri alınırsa;

ifadeleri elde edilir. (5.25.a) ile (5.25.b) bağıntılarının sol ifadeleri eşit olduğundan;

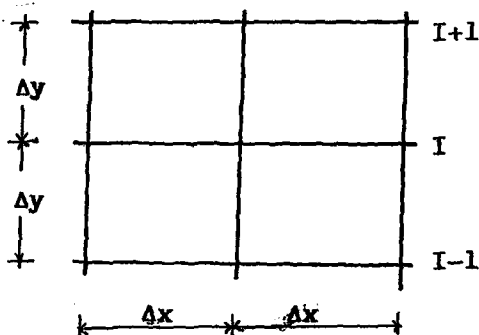
$$\frac{\partial^2 \psi}{\partial x^2} + \frac{\partial^2 \psi}{\partial y^2} = 0 \quad \dots \dots \dots \dots \dots \dots \dots \dots \quad (5.26)$$

denklemi elde edilir. Bu ifade LAPLACE diferansiyel denklemidir.

5.5. Laplace Denkleminin Sonlu Fark İfadesi

Laplace diferansiyel denklemi çözmek için, denklemdeki türevler yerine onun eşdeğeri olan sonlu fark ifadeleri ile değiştirilir. Böylece

kısmi diferansiyel denklemler cebrik denkleme dönüşür. Sürekli olan çözüm alanında bir çözüm ağı yerleştirilerek bu ağıın her noktasında cebrik denklemin geçerli olduğu kabul edilir [13].



Şekil -5.6. Sonlu fark ağı

$$\frac{\partial^2 \psi}{\partial x^2} + \frac{\partial^2 \psi}{\partial y^2} = 0 \quad \dots \dots \dots \quad (5.27)$$

eşdeğerleri yerine yazılırsa;

$$\frac{\psi_{i+1,j} + \psi_{i-1,j} - 2\psi_{i,j}}{\Delta x^2} + \frac{\psi_{i,j+1} + \psi_{i,j-1} - 2\psi_{i,j}}{\Delta y^2} \dots \dots \quad (5.28)$$

$$\beta = \frac{\Delta x}{\Delta y} \quad \text{kabul edilirse;}$$

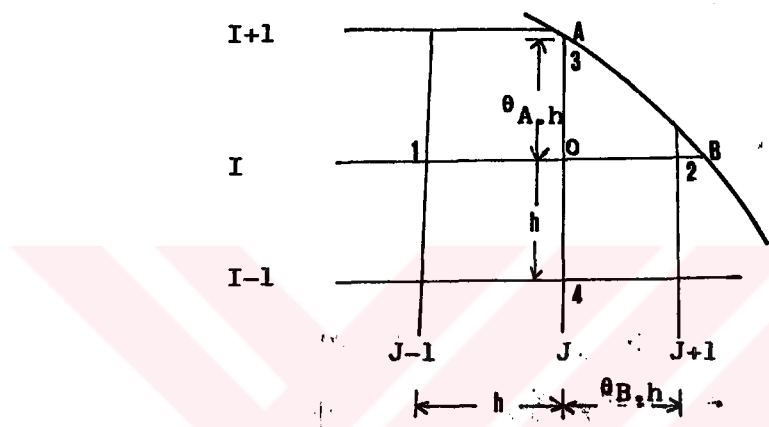
$$\psi_{i+1,j} + \psi_{i-1,j} + \beta^2(\psi_{i,j+1} + \psi_{i,j-1}) - 2(1+\beta^2).\psi_{i,j} = 0 \dots \dots \quad (5.29)$$

$$\beta = 1 \quad \text{için ;}$$

Burada $\Delta x = \Delta y$ olması durumunda Laplace denklemi merkezi sonlu fark ifadesi elde edilir.

$$\psi_{i,j} = \frac{\psi_{i+1,j} + \psi_{i-1,j} + \psi_{i,j+1} + \psi_{i,j-1}}{4} \dots \dots \quad (5.30)$$

Laminer akım denklemleri, potansiyel haldeki ifadelere göre, eğri sınırlarda daha karışiktır. Alana yerleştirilecek sonlu fark ağı; sınır noktaları ile çakışmayacağından eğri yüzeylere yakın noktalar için yapılacak hesaplar düzgün sınırlı hesap molekülleri ile yapılabilir. Çünkü Laplace diferansiyel denklemi parabolik bir fonksiyondur.



Şekil -5.7. Eğri sınırlarında sonlu fark ağı

Eğri sınırlarındaki akım fonksiyonunu ifade eden denklemde; θ_A ve θ_B eğri sınırlarındaki orana göre dört durumda olabilir.

$$1 - \theta_A = 1.0 \quad \text{ve} \quad \theta_B = 1.0$$

$$2 - \theta_A < 1.0 \quad \text{ve} \quad \theta_B = 1.0$$

$$3 - \theta_A = 1.0 \quad \text{ve} \quad \theta_B < 1.0$$

$$4 - \theta_A < 1.0 \quad \text{ve} \quad \theta_B < 1.0$$

şeklinde ifade edilebilir.

$$(\nabla^2 \psi)_O = \frac{\partial^2 \psi}{\partial x^2} + \frac{\partial^2 \psi}{\partial y^2} \quad (5.31)$$

$$(\nabla^2 \psi)_O = \frac{1}{h^2} [1 \quad -2 \quad 1] \begin{bmatrix} \psi_1 \\ \psi_0 \\ \psi_3 \end{bmatrix} + \frac{1}{h^2} [1 \quad -2 \quad 1] \begin{bmatrix} \psi_4 \\ \psi_0 \\ \psi_2 \end{bmatrix}$$

$$\begin{aligned}
 &= \frac{1}{h^2} \left[\frac{2}{1+\theta_B} - \frac{2}{\theta_B} + \frac{2}{\theta_B(1+\theta_B)} \right] \begin{bmatrix} \psi_1 \\ \psi_0 \\ \psi_2 \end{bmatrix} + \frac{1}{h^2} \left[\frac{2}{\theta_A(1+\theta_A)} - \frac{2}{\theta_B} + \frac{2}{1+\theta_B} \right] \begin{bmatrix} \psi_3 \\ \psi_0 \\ \psi_4 \end{bmatrix} \\
 0 &= \frac{1}{h^2} \left[\frac{2}{1+\theta_B} \psi_1 - \frac{2}{\theta_B} \psi_0 + \frac{2}{\theta_B(1+\theta_B)} \psi_2 + \frac{2}{\theta_A(1+\theta_A)} \psi_3 - \frac{2}{\theta_A} \psi_0 + \frac{2}{1+\theta_A} \psi_4 \right] \\
 0 &= \left[\frac{2}{1+\theta_B} \psi_1 + \frac{2}{\theta_B(1+\theta_B)} \psi_2 + \frac{2}{\theta_A(1+\theta_A)} \psi_3 + \frac{2}{1+\theta_A} \psi_4 \right] \frac{1}{h^2} - \left[\frac{2}{\theta_B} \psi_0 + \frac{2}{\theta_B} \psi_0 \right] \frac{1}{h^2}
 \end{aligned}$$

Denklem düzenlenip ψ_0 çekilirse;

$$\psi_0 = \left[\frac{\theta_B \psi_1 + \psi_2}{\theta_B(1+\theta_B)} + \frac{\theta_A + \psi_4 + \psi_3}{\theta_A(1+\theta_A)} \right] / \left[\frac{\theta_A + \theta_B}{\theta_A + \theta_B} \right] \dots \dots \dots \quad (5.32)$$

(5.32) denklemi ile eğri sınırlarında alan denkleminin hesaplanması sağlar [11].

$\theta_B = TB(I,J)$: Yatay yönde eğri sınırına olan mesafenin şebeke aralığına oranıdır.

$\theta_A = TA(I,J)$: Düşey yöndeki eğri sınırına olan mesafenin şebeke aralığına oranıdır.

(5.32) denklemi genelleştirilirse;

$$F_0 = F(I,J); F_1 = F(I,J-1); F_2 = F(I,J+1); F_3 = F(I+1,J); F_4 = F(I-1,J)$$

indisli eşitlikleri (5.32)'de yazılırsa;

$$F(I,J) = \left[\frac{TB(I,J).F(I,J-1)+F(I,J+1)}{TB(I,J)(1+TB(I,J))} + \frac{TA(I,J).F(I-1,J)+F(I+1,J)}{TA(I,J)(1+TA(I,J))} \right] / \left[\frac{TA(I,J)+TB(I,J)}{TA(I,J).TB(I,J)} \right] \dots \dots \dots \quad (5.33)$$

İncelenen problemde $F(I,J)$ ile boyutsuz akım fonksiyonu gösterilmiştir. (5.33) denklemi eğri sınırlarındaki akım fonksiyonunun hesap değerini ifade etmektedir.

5.6. Başlıca Sınır Şartları

- Maksimum nap yüksekliği boyunca yatay hızlar küçük olduğundan dolayı, düşey yönde akım fonksiyonu lineer bir dağılım olabilir. Burada $F(I,1) = 2F(I,2) - F(I,3)$ sınır şartı kullanılabilir.
- Katı cidarında (geçirimsiz tabaka), cidara dik yöndeki hızlar sıfırdır. Bu cidarın akım alanının alt sınırı olduğu gözönüne alınırsa; fonksiyon değeri sıfır çıkar.
 $F(I,J) = 0.00$ 'dır.
- Dren borusuna oluşan akımda, seçilen düşey aralık boru çapından küçük ise; $F(I,J_{max}) = 2F(I,J_{max-1}) - F(I,J_{max-2})$ sınır şartı kullanılabilir [1].

5.7. Akım Değerlerinin iterasyon Metoduyla Hesaplanması

İki boyutlu akım denklemlerinin eğri sınırlarda çözümünün yapılması için, türevler sonlu fark yaklaşımları ile değiştirilerek; diferansiyel denklemler cebirsel denklemler haline getirilir. Hesap ağının her noktasında, dönüştürülmüş cebirsel denklem geçerlidir. Akım alanının her noktasında, fonksiyonun değeri, etrafındaki noktalara göre belirlenir. Hesap ağının nokta sayısı kadar bilinmeyen olmasına rağmen, bilinmeyen kadar da denklem mevcuttur.

Bu çalışmada problemin çözümünde merkezi sonlu fark yaklaşımı kullanılmıştır. Çünkü merkezi sonlu fark ile yapılan çözümlerde, hatalar küçük mertebeleerde kalmaktadır.

Problemin çözümü için, başlangıçta akım alanının iç noktalarında bir tahmin değeri esas alınır. Bu yapılan tahmin değerlerinden hareketle; iterasyon yaparak gerçek değerlere yaklaşılır.

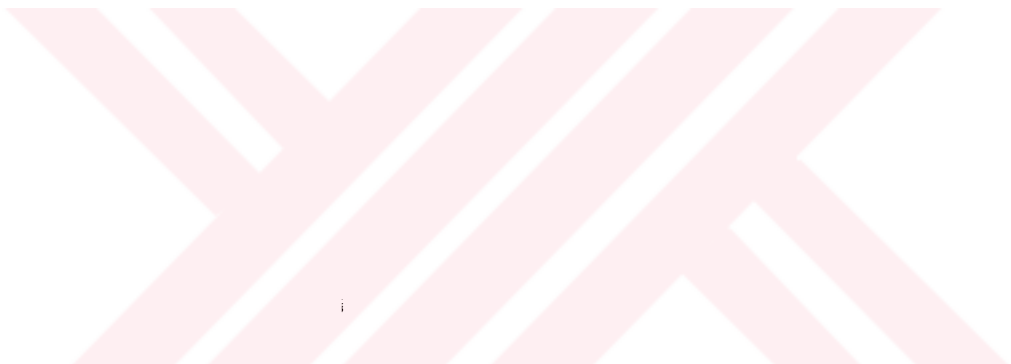
Akım alanın her noktasında (I, J) çözümler yapılır; ve çözüme yakın fonksiyon değeri hesaplanır. Her noktada hesaplanan fonksiyonun son değeri ile bir önceki adımda hesaplanan fonksiyon değeri belli bir limite gelmeye kadar ilterasyon işlemine devam edilir. Son iki adım arasındaki fark çok az ise fonksiyon yakınsaktır. Bu yakınsaklık ise denklemde bilinmeyen sayısı ile çözüme başlarken kabul edilen iç noktaların tahmin değerlerine bağlıdır.

İterasyon sayısı, problemde seçilen ağır sıklığına ve çözümde iki ayrı iterasyon adımı arasındaki hassaslık derecesine bağlı olarak büyür veya küçülür.

Hazırlanan bilgisayar programıyla, eğri sınırları da dahil olmak üzere akım fonksiyon değerlerinin hesaplanması sağlanır. Yatayda x ekseni ve düzeyde y ekseni kabul edilmiş; bu kabule göre akım alanı Δx ve Δy aralıklarına bölünmüştür. (5.5) denklemini esas alınarak (ℓ) yarı dren aralığı, (h_0) maksimum nap yüksekliği, (h_L) dren boru çapı olmak üzere her Δx mesafesinde nap yüksekliği (h) hesaplanmıştır. Bulunan bu değerlere göre her (I, J) noktasında θ_A ve θ_B değerleri bulunmuştur.

Bu değerler yardımıyla, sınır şartları verilerek istenen hassaslık derecesine göre, akım alanının her noktasında fonksiyon değeri hesaplanmıştır. Bulunan sonuçlar boyutsuz akım değerlerini ifade etmektedir. Akım alanı küçük aralıklara bölünmiş, bu nedenle iterasyon sayısı artmıştır. Elde edilen sonuçlarla akım çizgileri çizilmiştir.

Homojen olmayan topraklarda ise, kendi içinde homojen olan bölgeler için ayrı ayrı çözüm yapılmıştır. Permeabilitesi farklı bölgelerde meydana gelen nap yüzeyleri ve akım çizgileri birleştirilerek akım çizgilerinin şekilleri elde edilmiştir.



VI. BÖLÜM

6.1. Genel

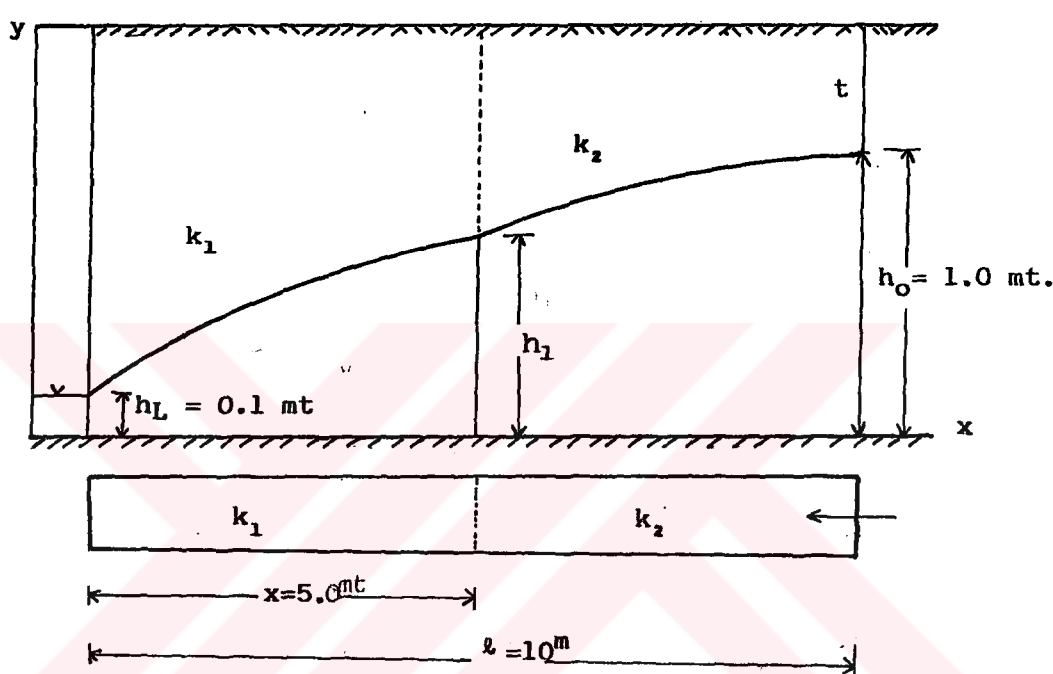
Dren aralıklarının optimum hesabı için zeminin düşey yönde tabakalaşmış olduğu kabul edilmiştir. Hesaplanan örnek çözümlerde dren aralığı, iki veya üç tabakalı zeminin durumuna göre belirlenmiştir. Bütün örnek çözümlerde x yatay eksen ve y düşey eksen olmak üzere, akım alanı Δx ve Δy aralıklarına bölünmüştür. Yatay eksende $\Delta x = 0.5$ mt. ve düşey yönde $\Delta y = 0.1$ mt. ve sabittir. Maksimum nap yüksekliği geçirimsiz tabakanın veya geçirimsiz tabakanın eşdeğeri olan d' den itibaren $h_0 = 1.0$ mt. alınmıştır. Dren çapı olarak, $h_L = 0.1$ mt. sabit kabul edilmiştir.

Yeraltı suyunun düşey yönde tabakalaşmış zeminde meydana getirdiği akım, sonlu fark denklemleri (5.33) ile hesaplanmıştır. Permeabilitesi farklı olan zeminde, aynı permeabiliteye sahip zemin bölgesi bağımsız olarak çözülmüş ve elde edilen çözümler birleştirilerek yeraltı su yüzeyi (nap yüzeyi) elde edilmiştir. Geçirimliliği farklı olan zemin bölgeleri yerine bütün zemin kitlesinin ortalam permeabilitesine göre (k_{ort}), çözülebilir yeraltı suyunun nap yüzeyi belirlenmiştir.

Homojen ve homojen olmayan zemin durumlarına göre yeraltı suyu nap yüzeyleri çizilip aralarındaki Δh farkları hesaplanmıştır. $k/k_{ort} > 1.0$ ve $k/k_{ort} < 1.0$ değerlerinin her x değişiminde Δh farkları da gösterilmiştir.

6.2. Örnek Çözümler

6.2.1. Düşey yönde iki tabakalı zemin durumu



Sekil -6.1. Permeabiliteleri farklı zeminde dren aralığının belirlenmesi

Verilenler

$$q = 0.034 \text{ m}^3/\text{gün/m}$$

$$h_0 = 1.0 \text{ mt.}$$

$$h_L = 0.1 \text{ mt}$$

$$k_1 = 0.8 \text{ m/gün}$$

$$k_2 = 0.6 \text{ m/gün}$$

$$D = 1.71 \text{ mt}$$

$$x = 5.0 \text{ mt}$$

İstenen

$$L = ?$$

$$h_1 = ?$$

Cözüm

$$k_{\text{ort}} = \frac{k_1 + k_2}{2} = \frac{0.8 + 0.6}{2} = 0.7 \text{ m/gün}$$

Denklem (4.11), (4.12) ve (4.13)'ten

$d = 1.93$ mt bulunur.

Denklem (4.8) den $L = 20$ mt hesaplanır. Bu ifade de sol ve sağ eşitlikler birbirine eşit oluncaya kadar L mesafesi değiştirilir.

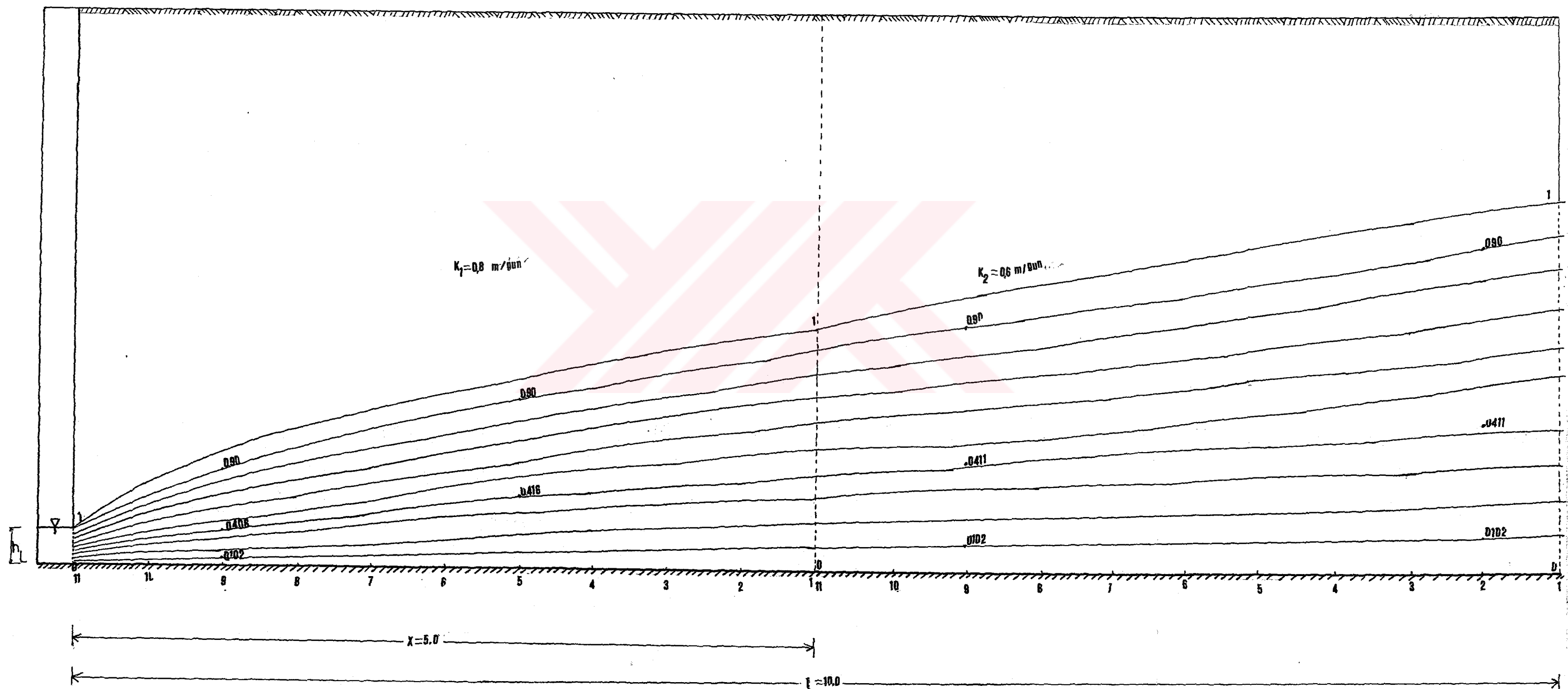
$\ell = L/2 = 10$ mt yarı dren aralığı (5.9) denkleminden $h_1 = 0.659$ mt hesaplanır. h_1 değeri (5.10) ifadesinden de belirlenebilir.

Şekil -6.1'de görüldüğü gibi verilen zemin özelliklerine göre iki dren borusu arasındaki aralık hesaplanmıştır. Permeabiliteleri farklı iki zemin arasında düşey düzlemdeki nap yüksekliği $h_1 = 0.659$ mt olarak belirlenmiştir. h_1 nap yüksekliği, seçilen x uzunluğu, L dren aralığı ve zemin kitlesinin permeabilitelerine göre değişmektedir.

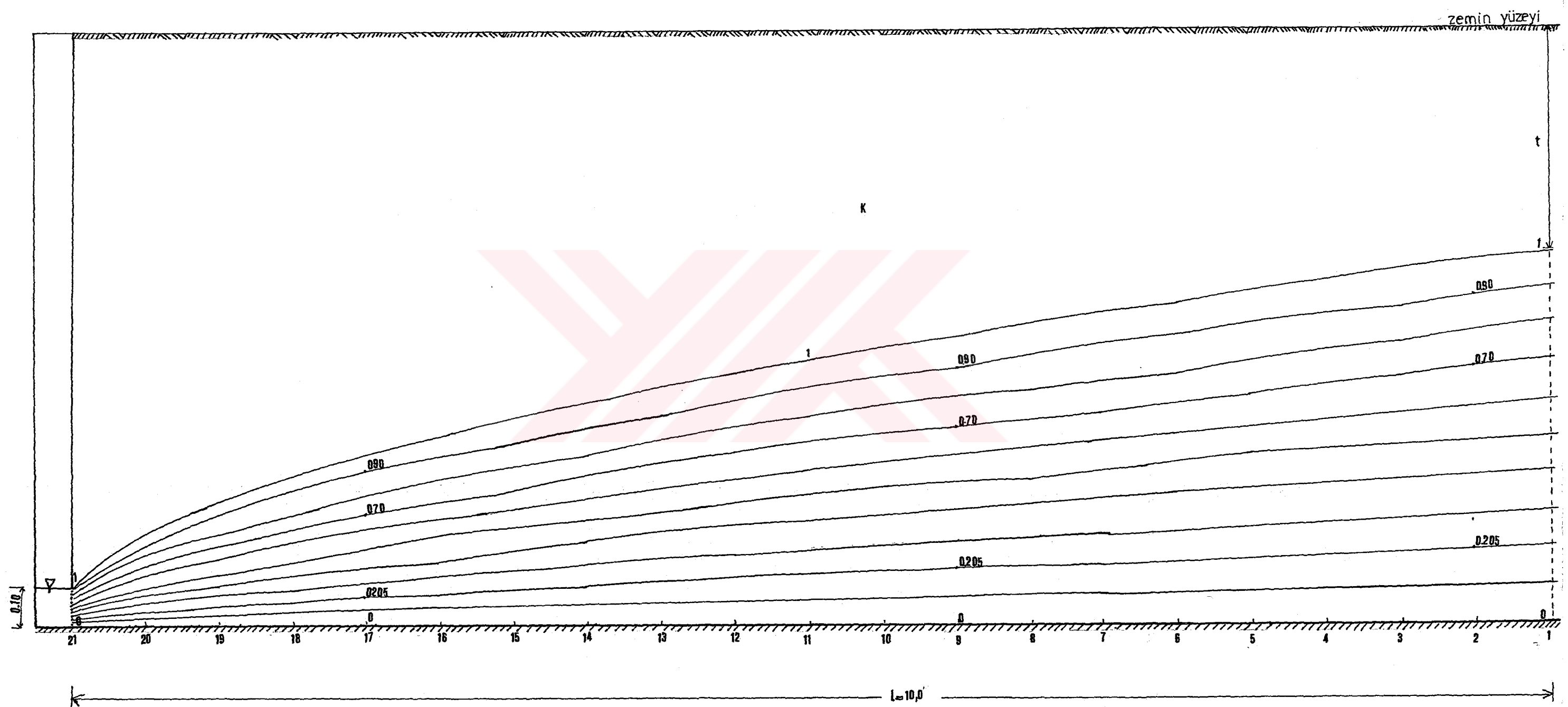
Şekil -6.1 a permeabiliteleri farklı her zemin bölgesinin (x bölgesi ve $\ell-x$ bölgesi), nap yüzeyi ile oluşan akımın akım çizgileri çizilmiştir.

Şekil -6.1 b zemin tabakası ℓ boyunca, ortalama permeabilite katısına göre çözülmüştür. Bu çözümde, zemin homojen kabul edilmiştir. Elde edilen sonuçlara göre, homojen nap yüzeyi ve akım çizgileri çizilmiştir.

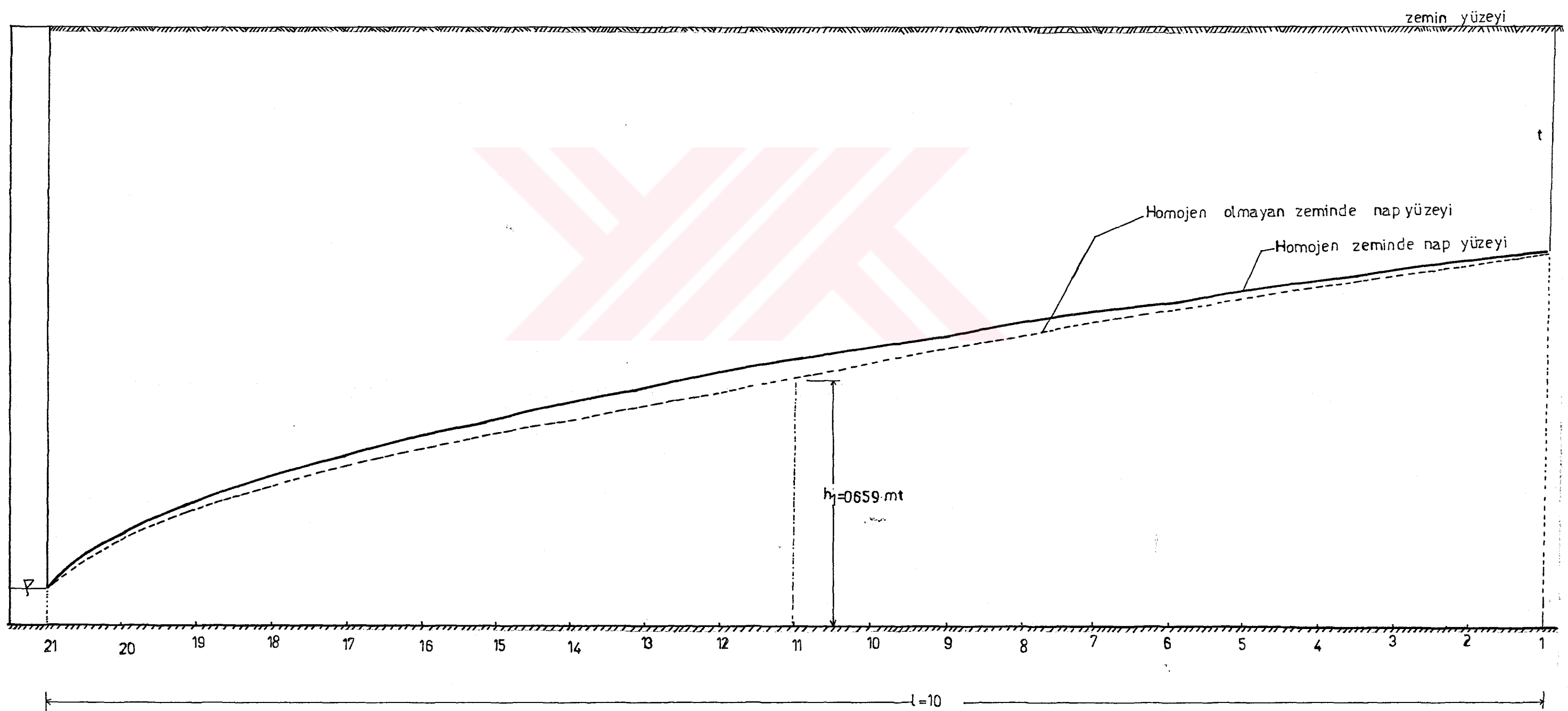
Şekil -6.1 c homojen zeminde hesaplanan nap yüzeyi ile homojen olmayan zeminde hesaplanan nap yüzeyleri karşılaştırılmıştır. Permeabilite katsayıları büyük olan zemin bölgelerinde yeraltı su seviyesinin



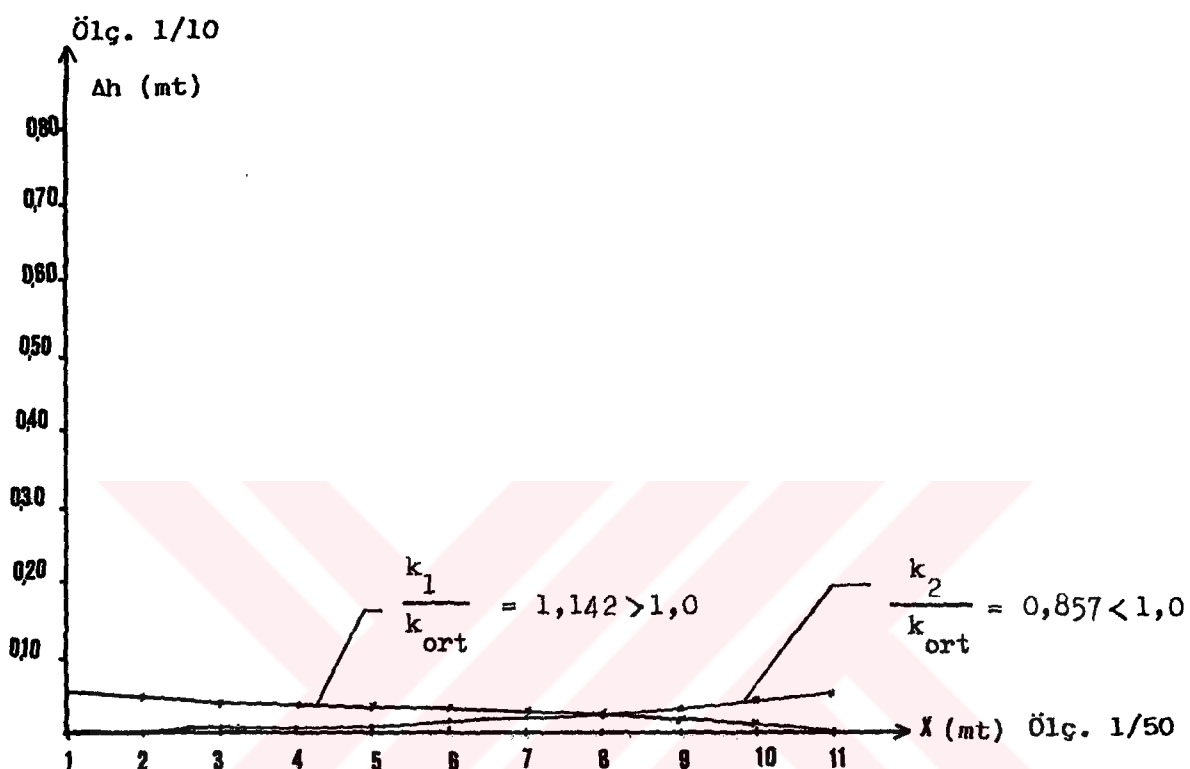
Şekil 6.1.a Permeabiliteri farklı zeminde yeraltı su yüzeyi ve akım çizgileri



Şekil 6.1.b Homojen zeminde yeraltı suyu akımı ve akım çizgileri



Şekil. 6.1.c Homojen ve homojen olmayan zeminlerde oluşan nap yüzeyleri

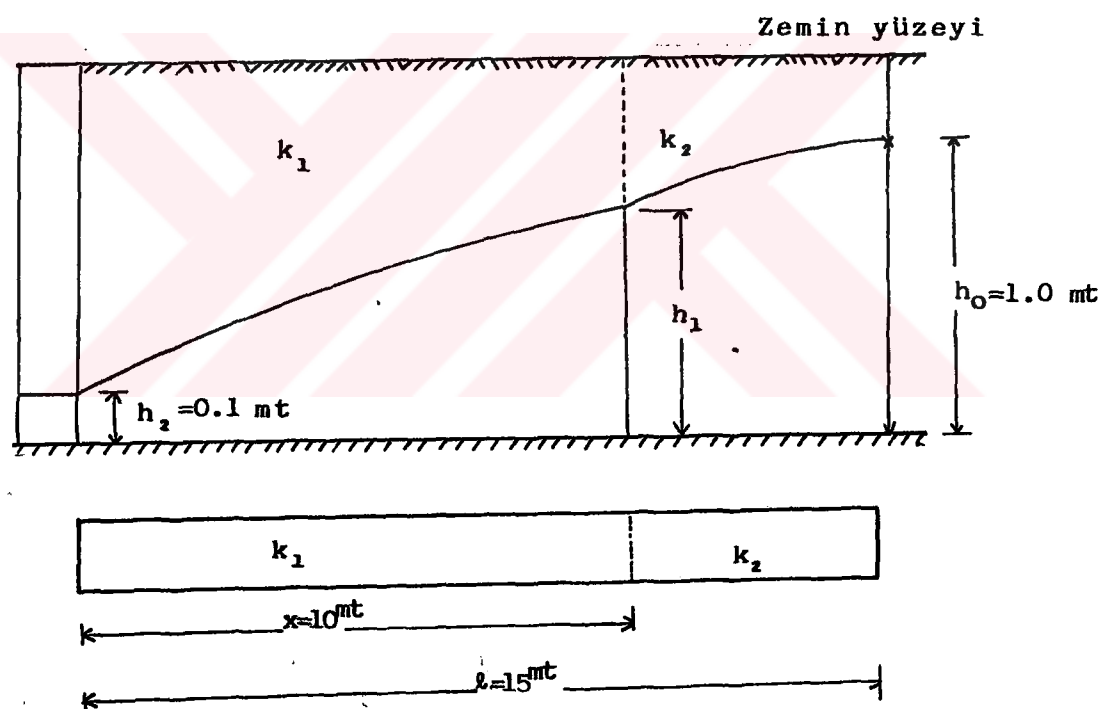


Şekil -6 ld : Homojen ve homojen olmayan zeminlerde nap yüzeyleri arasındaki Δh farkları.

daha düşük olduğu Şekil -6.1 a'da görülebilir. Homojen ve homojen olmayan zeminde, nap yüzeyleri arasındaki Δh farkı da belirlenmiştir.

Şekil -6.1. d homojen zemin ve homojen olmayan zeminde meydana gelen nap yüzeyleri aralarındaki Δh farkları drenler arası yarı aralığına göre hesaplanmıştır. Maksimum nap seviyesi ile dren borusu üzerinde Δh farklarının sıfır olduğu Şekil -6.1 c' den görülebilir.

6.2.2. Düşey yönde iki tabakalı zemin durumu



Şekil -6.2. Permeabiliteleri farklı zeminlerde dren aralığının belirlenmesi

Verilenler

$$q = 0.0137 \text{ m}^3/\text{gün/m}$$

$$h_0 = 1.0 \text{ mt}$$

$$h_L = 0.1 \text{ mt}$$

$$k_1 = 0.9 \text{ m/gün}$$

İstenen

$$L = ?$$

$$h = ?$$

$$k_2 = 0.2 \text{ m/gün}$$

$$D = 2.10 \text{ mt}$$

$$x = 10 \text{ mt}$$

Cözüm

$$k_{\text{ort}} = \frac{k_1 + k_2}{2} = 0.55 \text{ m/gün}$$

Denklem (4.11), (4.12) ve (4.13)'ten

$d = 2.30 \text{ mt}$ hesaplanır.

(4.8) Hooghoudt ifadesinden

$L = 30.0 \text{ mt}$ bulunur. $\ell = L/2 = 15 \text{ mt}$

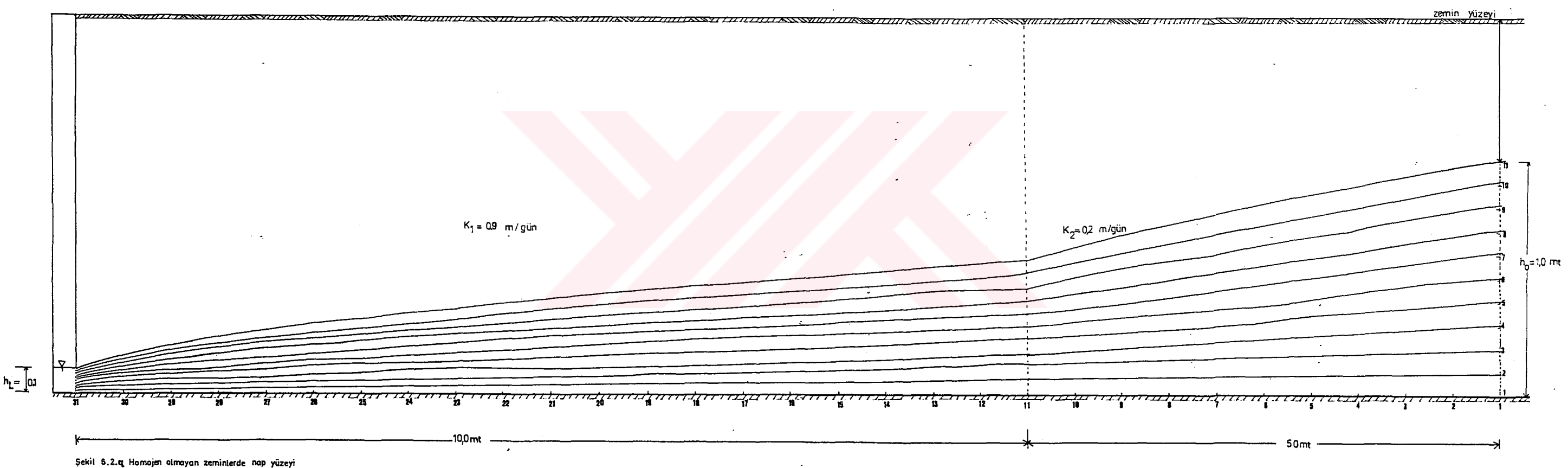
(5.9) veya (5.10) denkleminden

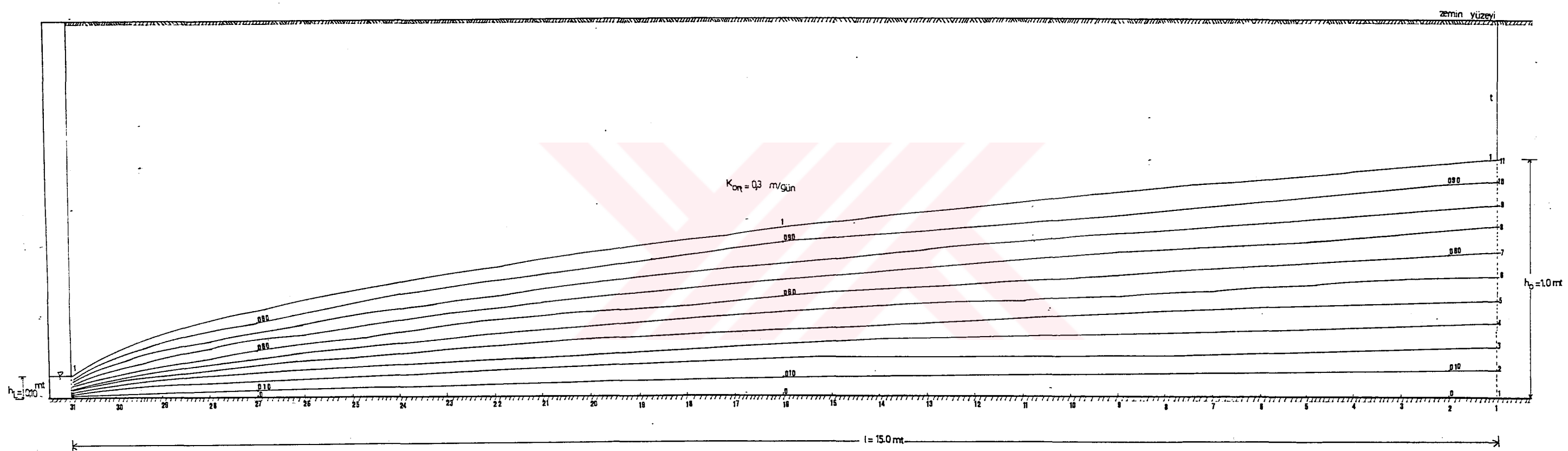
$$h_1 = 0.561 \text{ mt. elde edilir.}$$

Şekil -6.2 Zemin özellikleri ve yapılan kabullere göre dren aralığı belirlenmiştir. İki dren borusunun orta noktası simetri ekseni kabul edilmiş, permeabiliteleri farklı zeminde yeraltı su yüzeyi hesaplanarak Şekil -6.2 a' da gösterilmiştir. k_1 bölgesinin permeabilite katsayısı büyük olduğundan yeraltı su yüzeyi (nap yüzeyi), k_2 bölgesinin nap yüzeyinden daha düşüktür. Çünkü k_2 bölgesinin zemin yapısı çok ince danelerden meydana gelmiş veya sıkışık bir yapıya sahiptir. k_2 bölgesinde yeraltı su akımı zeminin permeabilitesi nedeniyle yavaşlamaktadır. Suyu filtre imkanı az olduğundan dolayı yeraltı su seviyesi zemin yüzeyine yaklaşmaktadır.

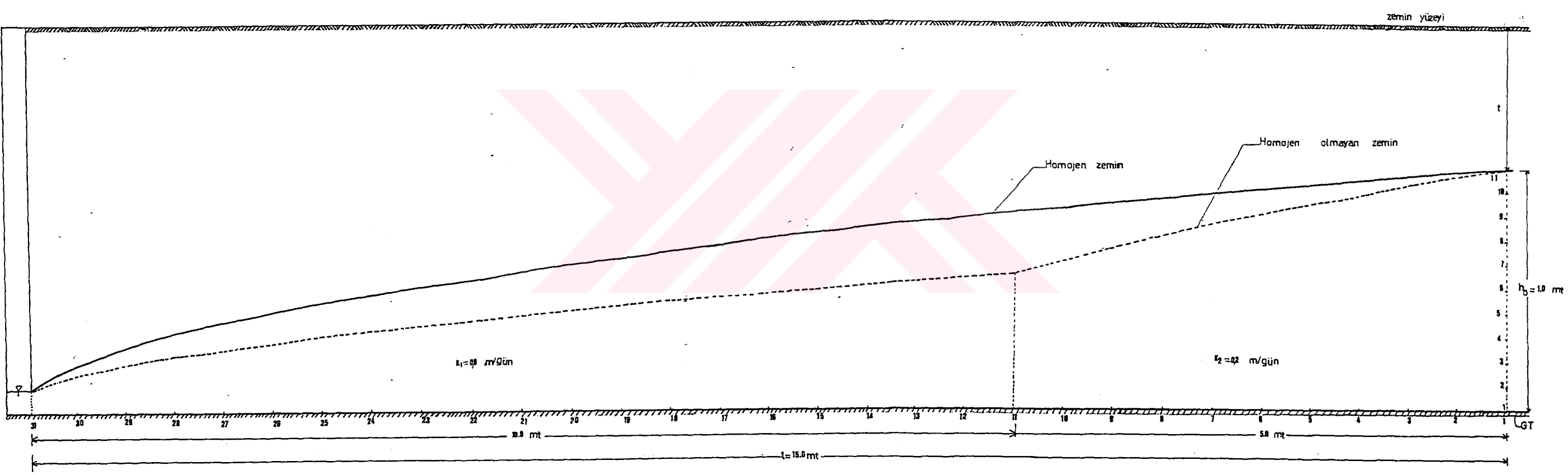
Farklı geçirimliliği kapsayan zemin kitlesinin aynı permeabiliteye sahip olduğu düşünülerek, nap yüzeyi k_{ort} göre, çözülmüştür. Şekil -6.2 b de görüldüğü gibi, zemin k_{ort} göre homojendir.

Homojen ve homojen olmayan zeminlerde nap yüzeyleri optimum dren aralığına göre Şekil -6.2 c'de çizilmiştir. Nap yüzeyleri aralarındaki



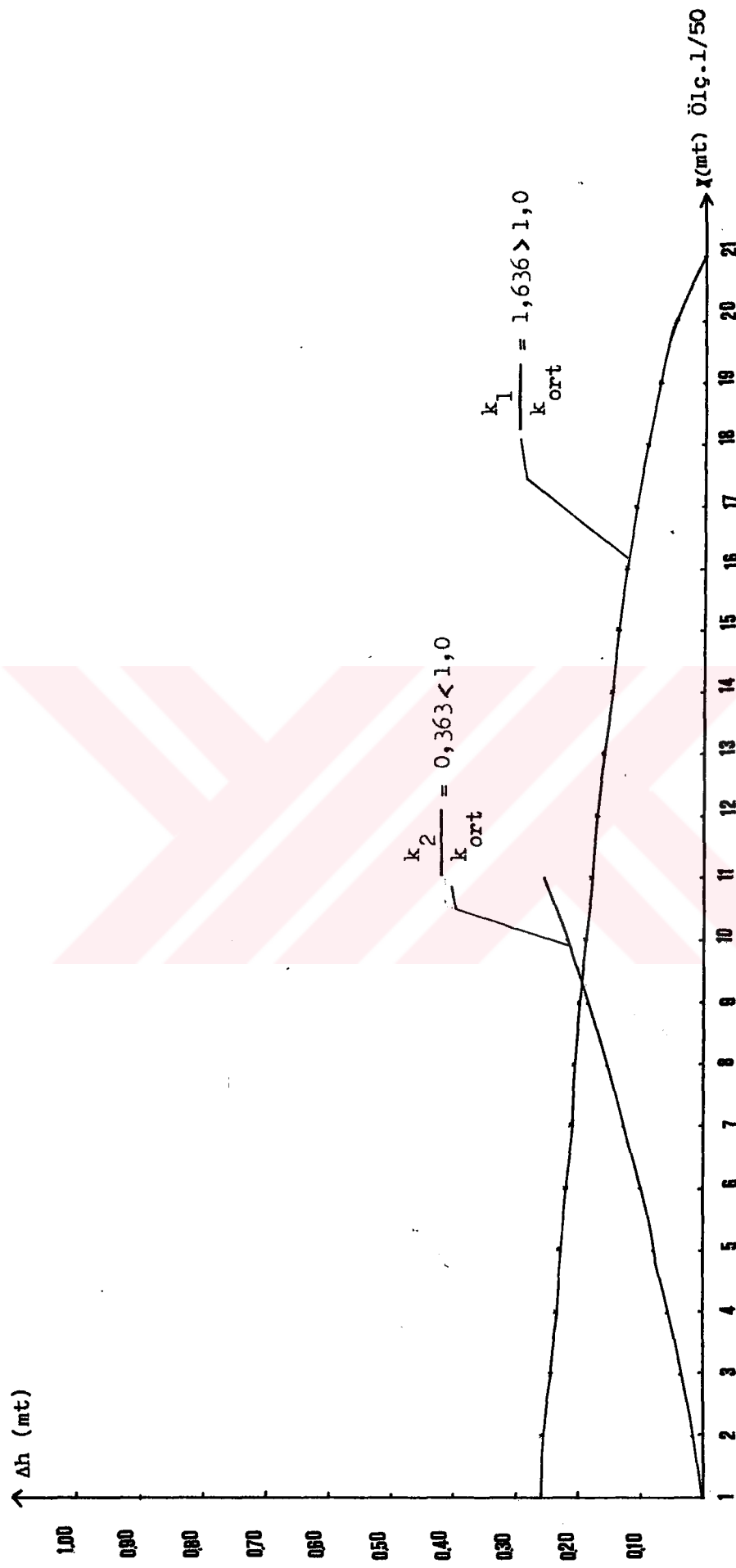


Şekil 6.2.b Homojen zeminde nap yüzeyi



Sekil 6.2.c Homojen ve homojen olmayan zeminderde nap yüzeyi

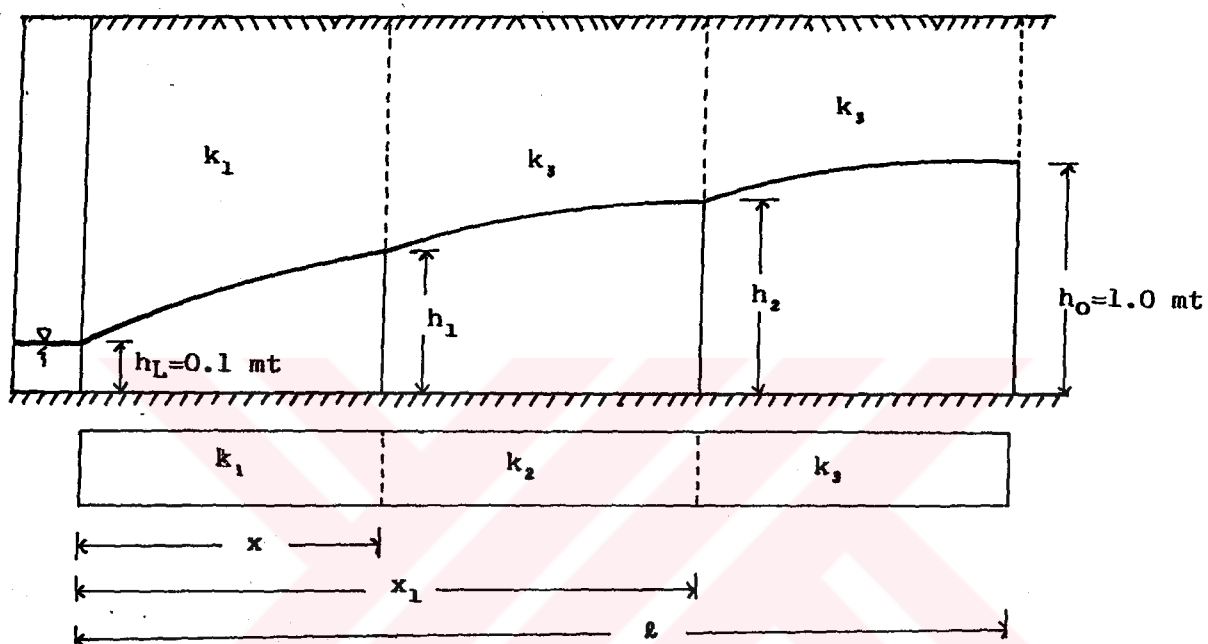
Ölç. 1/10



Sekil -6. 2d : Homojen ve homojen olmayan zeminlerde nap yüzeyleri arasındaki Ah farkları

Ah farkları çıkarılarak Şekil- 6.2 d' de gösterilmiştir.

6.2.3. Düşey yönde üç tabakalı zemin durumu



Şekil -6.3. Permeabiliteleri farklı üç tabakalı zeminde dren aralığının (L) belirlenmesi

Verilenler

$$q = 0.00645 \text{ m/gün}$$

$$k_1 = 0.5 \text{ m/gün}$$

$$k_2 = 0.3 \text{ m/gün}$$

$$k_3 = 0.1 \text{ m/gün}$$

$$h_L = r = 0.1 \text{ mt}$$

$$D = 2.80 \text{ mt}$$

$$x = 5 \text{ mt}$$

$$x_1 = 10 \text{ mt}$$

Istenen

$$L = ?$$

$$h_1 = ?$$

$$h_2 = ?$$

Cözüm

$L = 30 \text{ mt}$ seçildi

$$k_{\text{ort}} = \frac{k_1 + k_2 + k_3}{3} = 0.3 \text{ m/gün}$$

Denklem (4.11), (4.12) ve (4.13)'ten

$$d = 1.92 \text{ mt}$$

(4.8) Hooghoudt ifadesinden,

$L = 30 \text{ mt}$ hesaplanmıştır.

$\ell = L/2 = 15 \text{ mt}$ olarak belirlenmiştir.

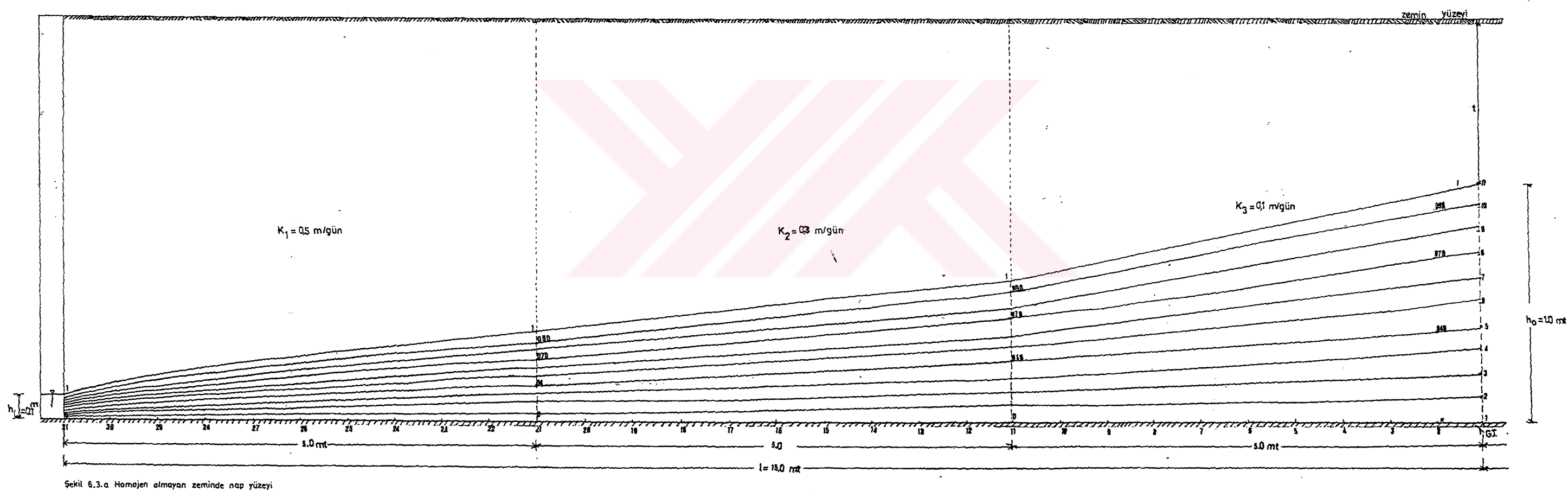
(5.12) denkleminden $h_2 = 0.595 \text{ mt}$

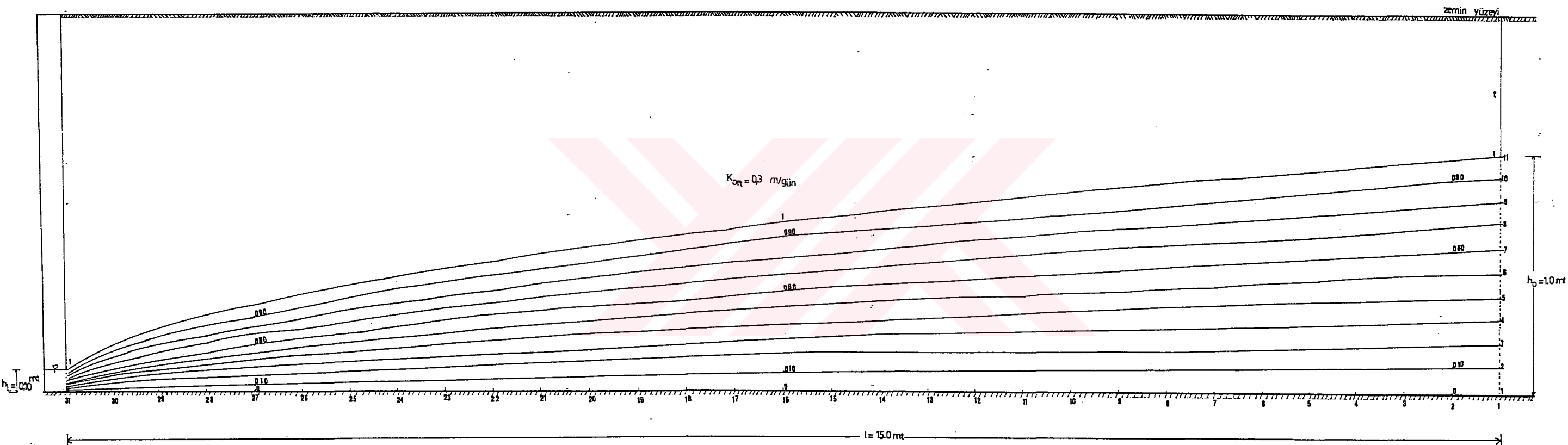
ve (5.13) veya (5.14) denkleminden de $h_1 = 0.372 \text{ mt}$ olarak hesaplanmıştır. Seçilen x ve x_1 uzunluğuna göre h_1 ve h_2 , tabakalar arasında ki nap yükseklikleri geçirimsiz tabakadan itibaren değişebilir.

Üç tabakada meydana gelen nap seviyeleri, her zemin tabakasının geçirimliliğine bağlı olarak artmaka veya azalmaktadır. Şekil -6.3 a'da, homojen olmayan zemin bölgelerinde nap yüzeyleri ve akım çizgileri çizilmiştir. Yeraltı su yüzeyi permeabiliteye bağlı olarak; büyük geçirimliliğe ait tabakalarda alçak seviyede, küçük geçirimliliğe ait tabakalarda ise yüksektir.

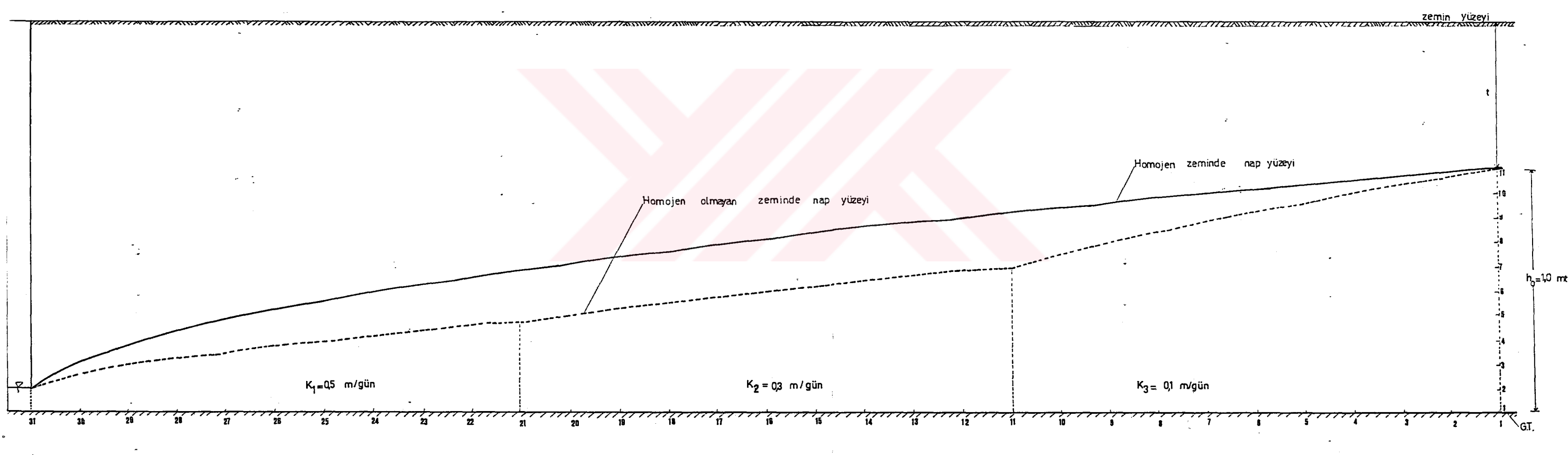
k_1 , k_2 ve k_3 , zemin bölgelerinin toplam uzunluğu ℓ dikkate alınarak permeabilitelerin ortalamasına göre homojen çözüm yapılmıştır.

Şekil -6.3 b'de homojen çözüm sonucu, nap yüzeyi ve akım çizgileri çizilmiştir.

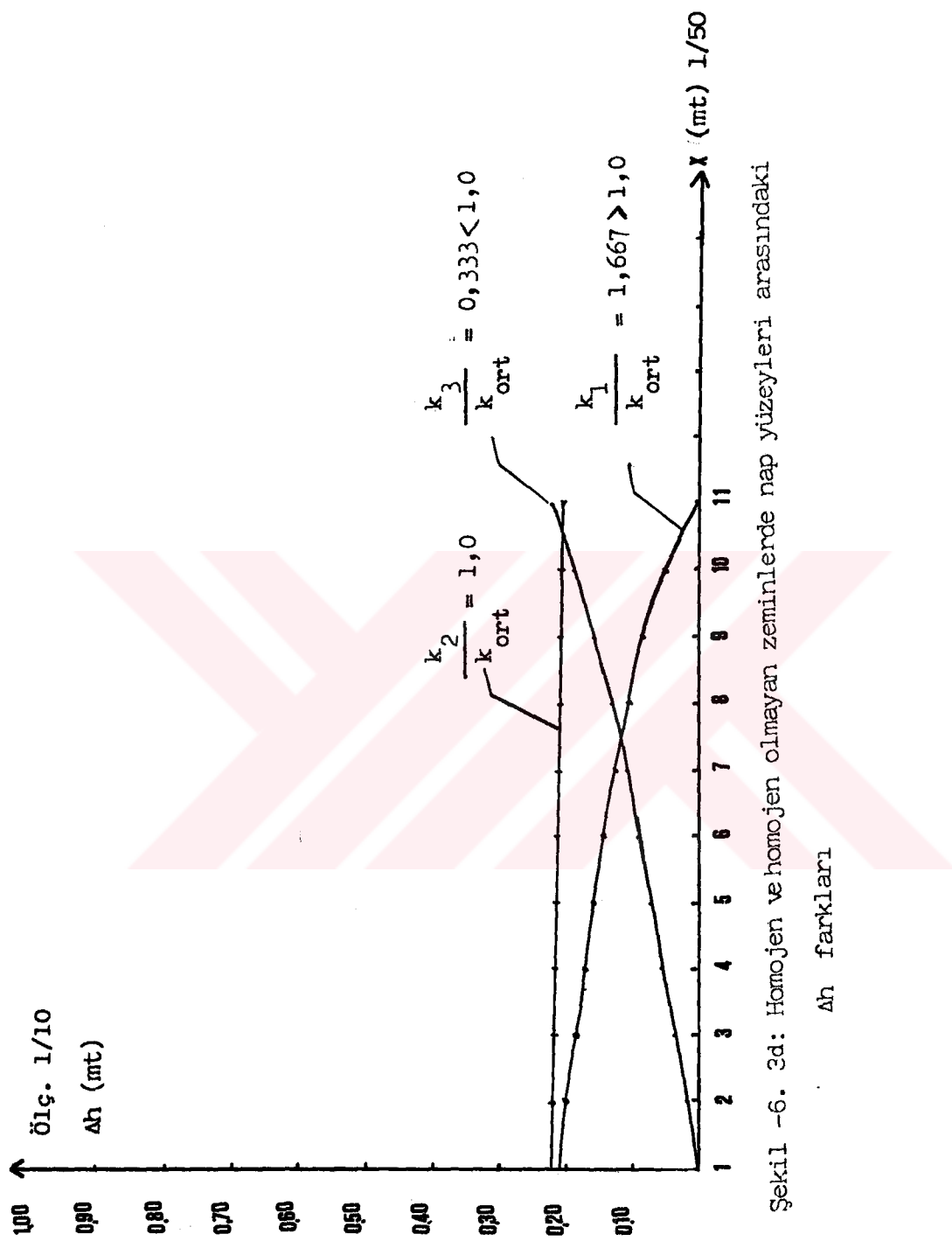




Şekil 6.3.b Homojen zeminde nap yüzeyi



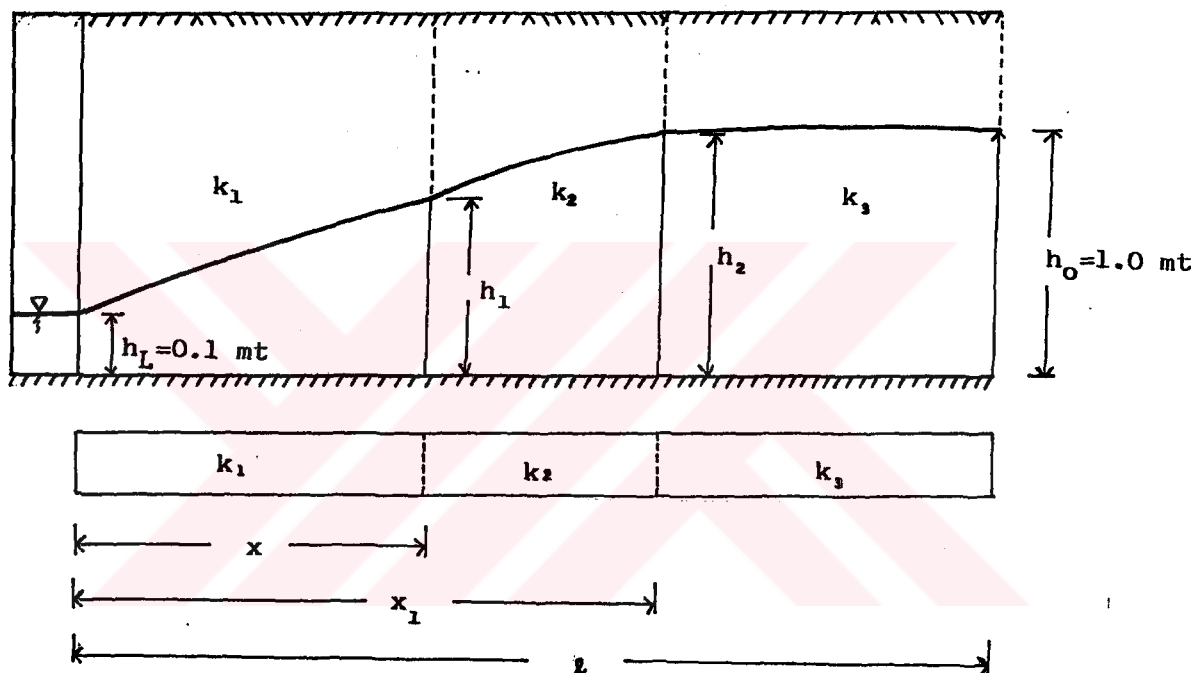
Şekil 6.3.c Homojen ve homojen olmayan zeminde nap yüzeyi



Sekil -6. 3d: Homojen ve homojen olmayan zeminlerde nap yüzeyleri arasındaki Δh farkları

Şekil -6.3 c'de ise homojen ve homojen olmayan zeminlerde yeraltı su yüzeyleri bir arada belirtilmiştir. Nap yüzeyleri arasındaki Δh farkları \perp boyunca Şekil -6.3 d'de gösterilmiştir.

6.2.4. Düşey yönde üç tabakalı zemin durumu



Şekil - 6.4. Permeabiliteleri farklı üç tabakalı zeminde dren aralığının belirlenmesi

Verilenler

$$q = 0.0174 \text{ m}^3/\text{gün/m}$$

$$h_o = 1.0 \text{ mt}$$

$$h_L = 0.1 \text{ mt}$$

$$k_1 = 0.9 \text{ m/gün}$$

$$k_2 = 0.2 \text{ m/gün}$$

$$k_3 = 0.9 \text{ m/gün}$$

$$D = 5.5 \text{ mt}$$

$$h_L = r = 0.1 \text{ mt}$$

İstenen

$$L = ?$$

$$h_1 = ?$$

$$h_2 = ?$$

Cözüm

$$k_{\text{ort}} = \frac{k_1 + k_2 + k_3}{3} = \frac{0.9 + 0.2 + 0.9}{3} = 0.667 \text{ m/gün}$$

$L = 30.0$ mt seçildi.

Denklem (4.11), (4.12) ve (4.13)'ten

$d = 2.43$ mt belirlenir.

(4.8) Hooghoudt ifadesinde yukarıda seçilen dren aralığının sağladığı görülmüştür.

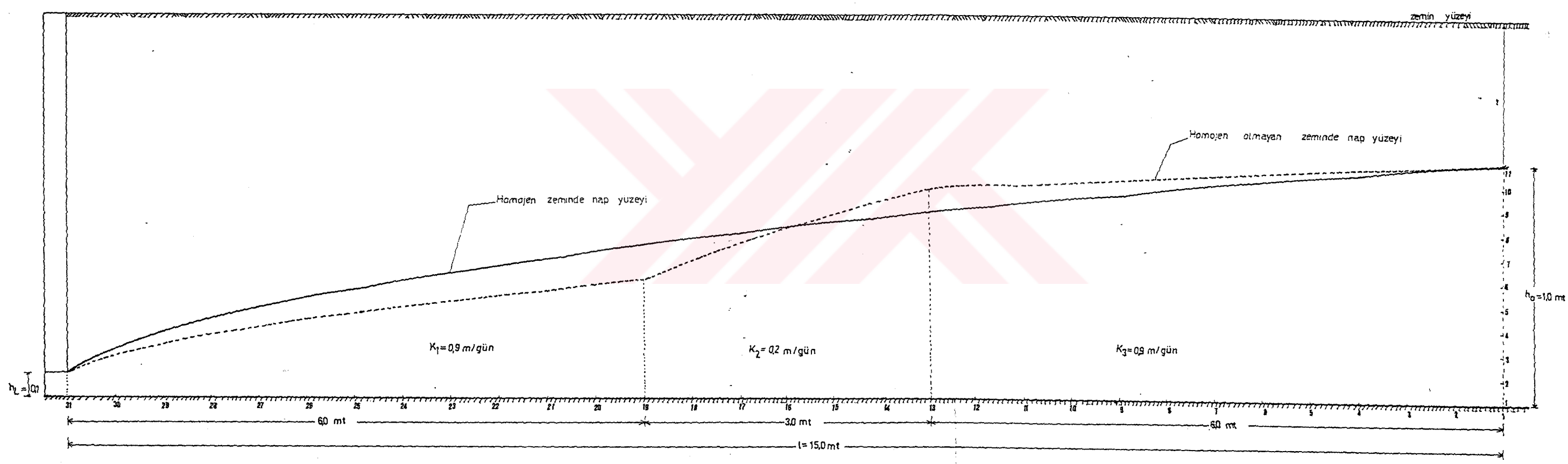
$L = 30$ mt hesaplanmış ve ilk seçilen L boyu doğru seçilmiştir.

$\ell = L/2 = 30/2 = 15.0$ mt yarı dren aralığıdır.

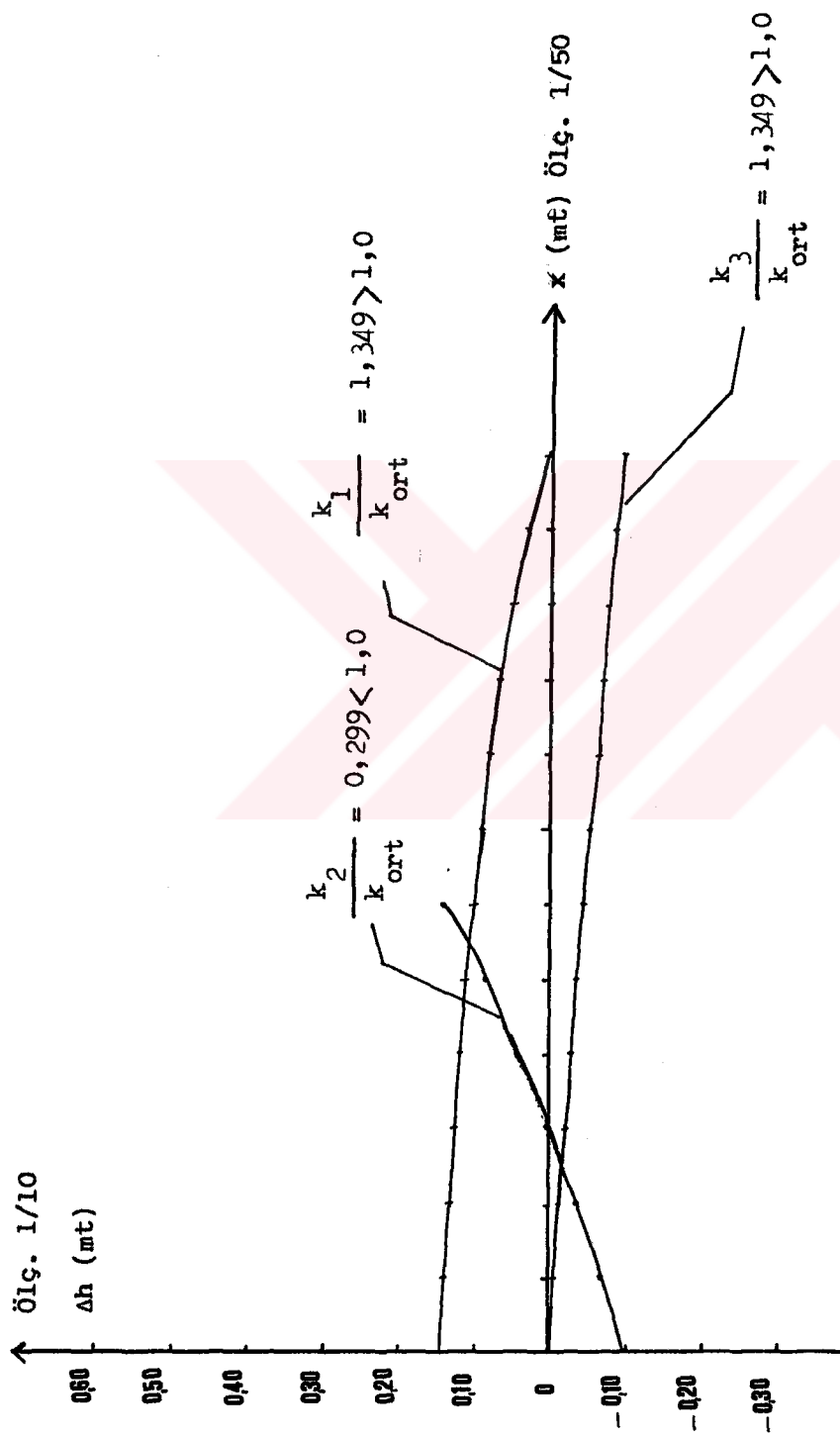
k_1 , k_2 ve k_3 bölgelerinin uzunluğu seçilerek h_1 ve h_2 hesaplanmıştır. $x = 6$ mt, $x_1 = 9$ mt ve $\ell = 15$ mt için denklem (5.12)' den $h_2 = 0.876$ mt ve denklem (5.13) veya (5.14) ifadelerinden de $h_1 = 0.492$ mt olarak belirlenmiştir.

Şekil -6.4'te belirlenen değerlere göre, optimum dren aralığı hesaplanmıştır. İki dren arasındaki L mesafesinin ortası simetri ekseni kabul edilerek, permeabiliteleri farklı zemin bölgelerinin nap yüzeyleri Şekil-6.4'a da gösterilmiştir. k_1 , k_2 ve k_3 zemin bölgelerinin permeabilite katsayılarının ortalamasına göre de homojen nap yüzeyi hesaplanmıştır. Homojen ve homojen olmayan zemin durumuna göre nap yüzeyleri Şekil -6.4'a da belirtilmiştir.

Permeabiliteleri farklı zemin bölgelerinde oluşan nap yüzeyi homojen



Sekil 6.4.a Homojen ve homojen olmayan zeminlerde nap yüzeyleri



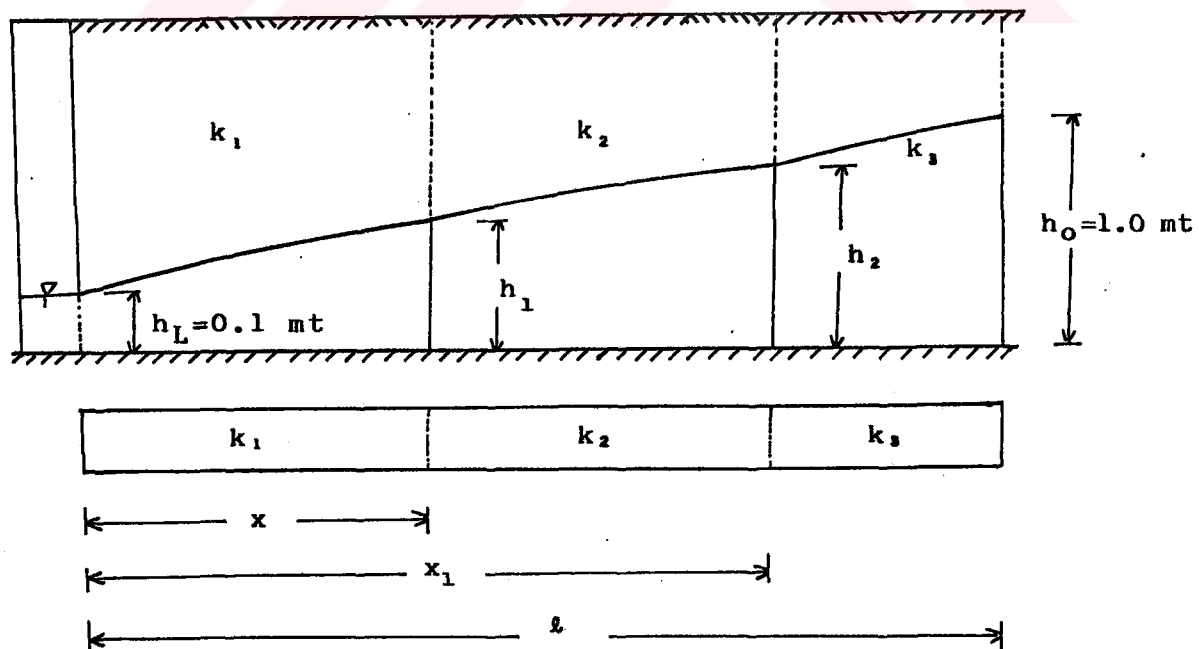
Şekil 6-4b : Homojen ve homojen olmayan zeminlerde nay Yüzeyleri arasındaki Δh farkları.

çözümle elde edilen nap yüzeyinden, k_2 bölgesinin tam orta kısmından sonra daha da yükselmiştir. Çünkü k_2 bölgesinin permeabilite katsayısı çok küçüktür. Bu bölgede akım yavaşlamaktadır. Akımda meydana gelen yavaşlama nedeniyle, k_3 zemin bölgesinde de nap yüzeyinin yükselmesine neden olmaktadır.

Homojen olmayan zeminde oluşan nap yüzeyi, homojen zemin durumunda meydana gelen nap yüzeyinin üstünde ise iki nap yüzeyi arasındaki Δh farkları negatif olmaktadır.

Zeminde ℓ boyunca homojen nap yüzeyi ile homojen olmayan nap yüzeyleri arasındaki Δh farkları seçilen her aralıkta Şekil -6.4 b' de gösterilmiştir.

6.2.5. Permeabiliteleri farklı üç tabakalı zemin durumu



Şekil -6.5. Düşey yönde farklı geçirimliliğe ait zeminde dren aralığının belirlenmesi

Verilenler

$$q = 0.0158 \text{ m}^3/\text{gün/m}$$

$$h_0 = 1.0 \text{ mt}$$

$$h_L = r = 0.1 \text{ mt}$$

$$k_1 = 0.8 \text{ m/gün}$$

$$k_2 = 0.5 \text{ m/gün}$$

$$k_3 = 0.2 \text{ m/gün}$$

$$x = 5 \text{ mt}$$

$$x_1 = 10 \text{ mt}$$

$$D = 5 \text{ mt}$$

İstenen

$$L = ?$$

$$h_1 = ?$$

$$h_2 = ?$$

Cözüm

$L = 26 \text{ m}$ seçildi.

$$k_{\text{ort}} = \frac{k_1 + k_2 + k_3}{3} = \frac{0.8 + 0.5 + 0.2}{3} = 0.5 \text{ m/gün}$$

Denklem (4.11), (4.12) ve (4.13)'ten

$d = 2.19 \text{ mt}$ bulunur.

Denklem (4.8)'den

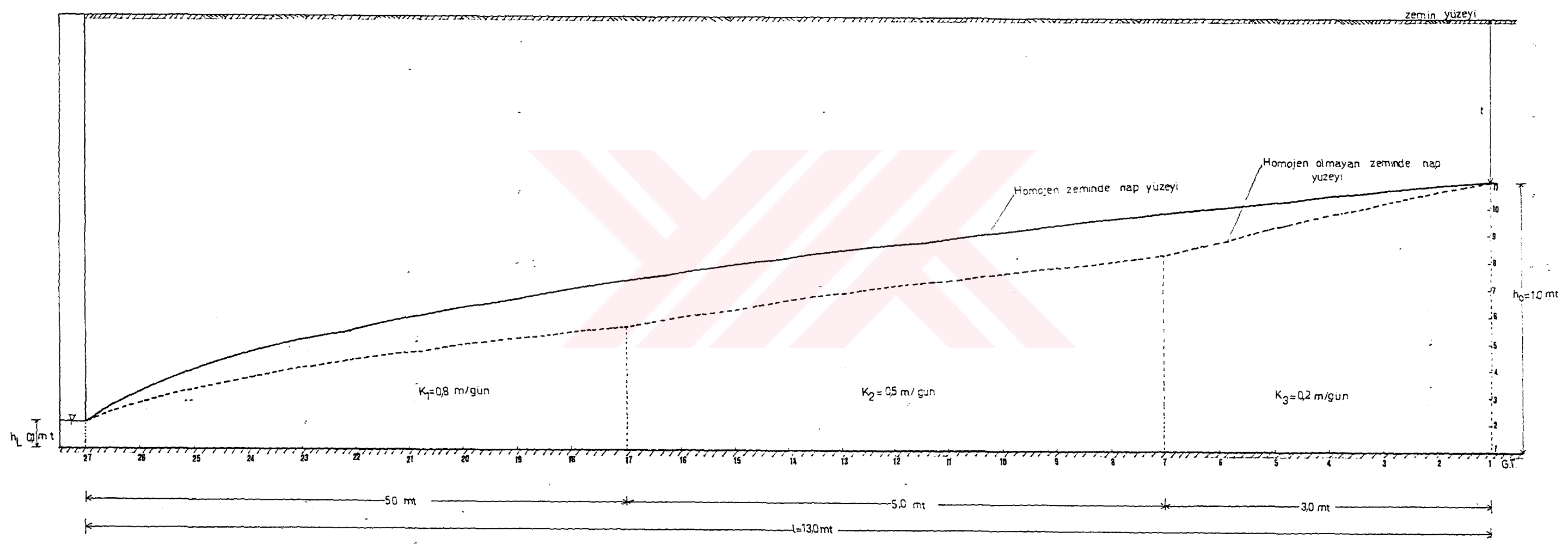
$L = 30 \text{ mt}$ için sağ eşitlik sağlanmaktadır. Seçilen L doğrudur.

$\mathbf{l} = L/2 = 30/2 = 15 \text{ mt}$ yarı dren aralığıdır.

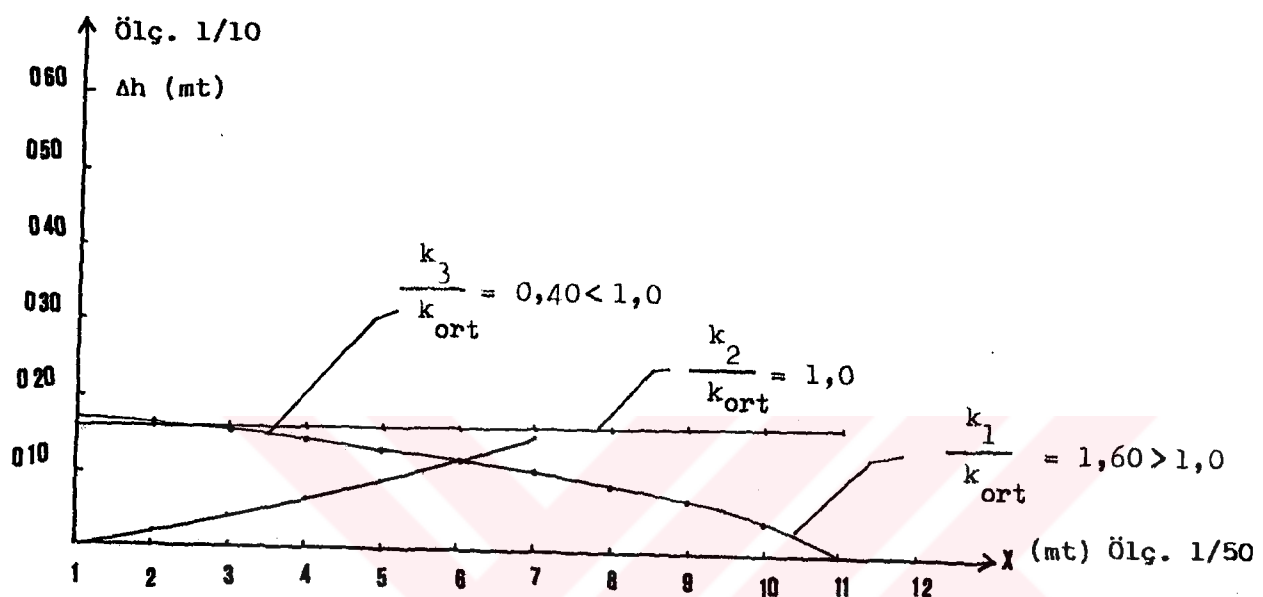
$x = 5 \text{ mt}$ ve $x_2 = 10 \text{ mt}$ için denklem (5.12)'den $h_2 = 0.725 \text{ mt}$

ve denklem (5.13) veya (5.14)'ten $h_1 = 0.456 \text{ mt}$ olarak hesaplanır.

Optimum dren aralığı Şekil -6.5' te verilen değerlere göre hesaplandıktan sonra, zemin bölgeleri ayrı ayrı çözülmüş nap yüzeyleri elde edilmiştir. Şekil -6.5 a' da görüldüğü gibi k_1 , k_2 ve k_3 zemin



Sekil 6.5.a Homojen ve homojen olmayan zeminlerde nap yüzeyleri



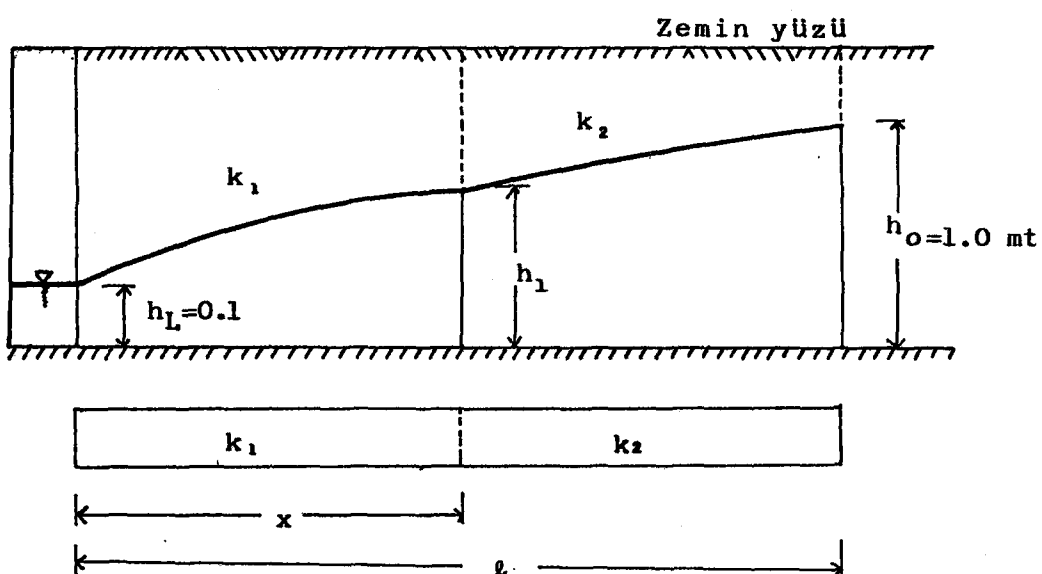
Sekil -6. 5b: Homojen ve homojen olmayan zeminlerde nap yüzeyleri arasındaki Δh farkları.

bölgelerinin yeraltı su yüzeyleri çizilmiştir. φ yarı dren aralığı içindeki zemin kitlesinin ortalama permeabilite katsayısına göre nap yüzeyi tekrar hesaplanarak Şekil -6.5 a' da belirtilmiştir.

Kesik çizgilerle gösterilen, homojen olmayan zeminde hesaplanan nap yüzeyi ile sürekli çizgiyle gösterilen homojen zemine ait nap yüzeyleri arasındaki Δh farkları Şekil -6.5 b' de gösterilmiştir.

Homojen zemindeki nap yüzeyi, ortalama permeabilite katsayısının küçük olması nedeniyle zemin yüzeyine daha yakındır. Homojen olmayan zeminde ise, k_1 bölgesinin permeabilite katsayısı büyük olması dolayısıyla nap yüzeyi, homojen nap yüzeyinin altında kalmıştır. Homojen nap yüzeyi, homojen olmayan nap yüzeyinden daha yüksek olduğundan $k/k_{\text{ort}} > 1.0$ ve $k/k_{\text{ort}} < 1.0$ değerleri x ekseninin pozitif tarafında kalmıştır (Şekil -6.5 b).

6.2.6. Permeabiliteleri farklı iki tabakalı zemin durumu



Şekil -6.6. Düşey yönde iki tabakalı zemin durumu

| <u>Verilenler</u> | <u>İstenen</u> |
|---------------------------------------|----------------|
| $q = 0.0113 \text{ m}^3/\text{gün/m}$ | $L = ?$ |
| $h_0 = 1.0 \text{ mt}$ | $h_1 = ?$ |
| $h_L = r = 0.1 \text{ mt}$ | |
| $k_1 = 0.8 \text{ m/gün}$ | |
| $k_2 = 0.3 \text{ m/gün}$ | |
| $D = 2.40 \text{ mt}$ | |

Cözüm

$L = 28 \text{ mt}$ seçildi.

$$k_{\text{ort}} = \frac{k_1 + k_2}{2} = \frac{0.8 + 0.2}{2} = 0.5 \text{ m/gün}$$

Denklem (4.11), (4.12) ve (4.13)'ten

$d = 1.72 \text{ mt}$ olarak bulunur.

(4.8) denkleminden $L = 28 \text{ mt}$

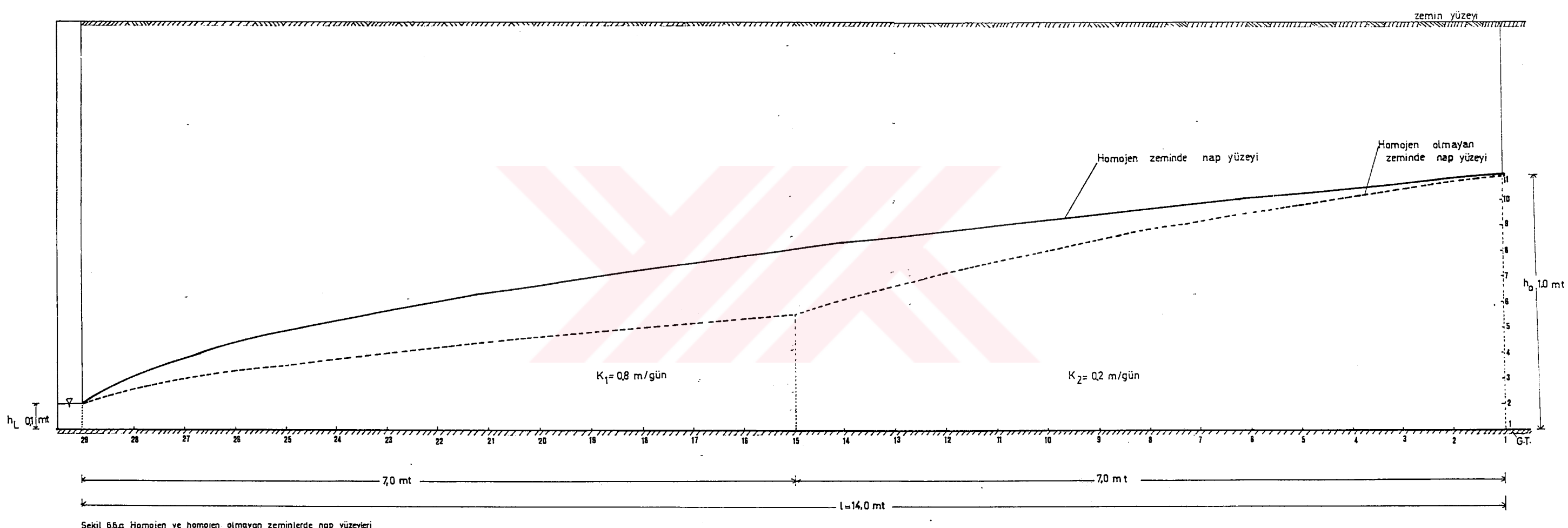
Sağdaki eşitliğe eşit olduğu ispatlanmıştır.

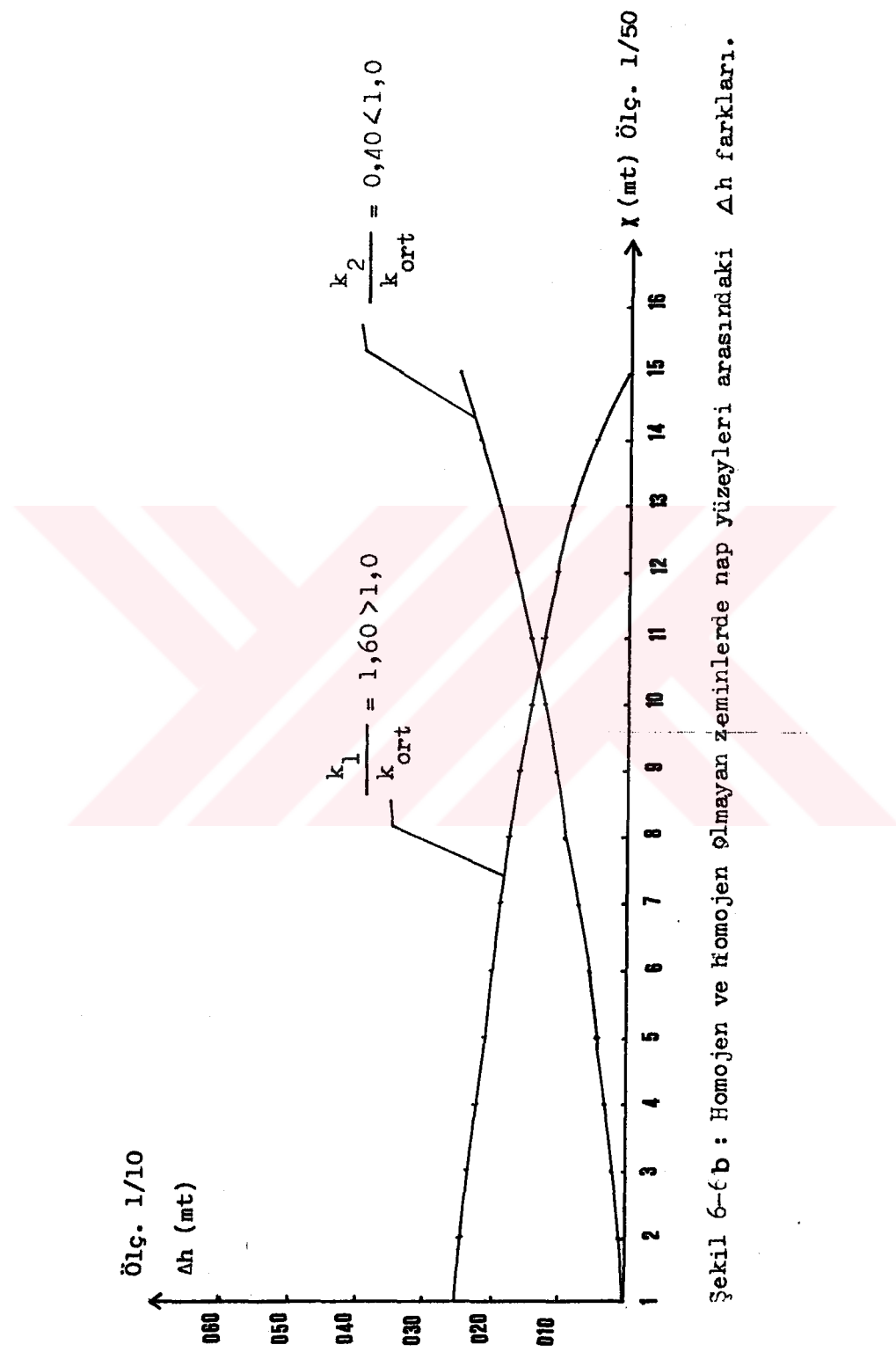
$\ell = L/2 = 28/2 = 14 \text{ mt}$ yarı dren aralığı dikkate alınarak

$x = 7 \text{ mt}$ seçilmiştir.

(5.9) veya (5.10) denklemlerinden $h_1 = 0.456 \text{ mt}$ değeri elde edilir.

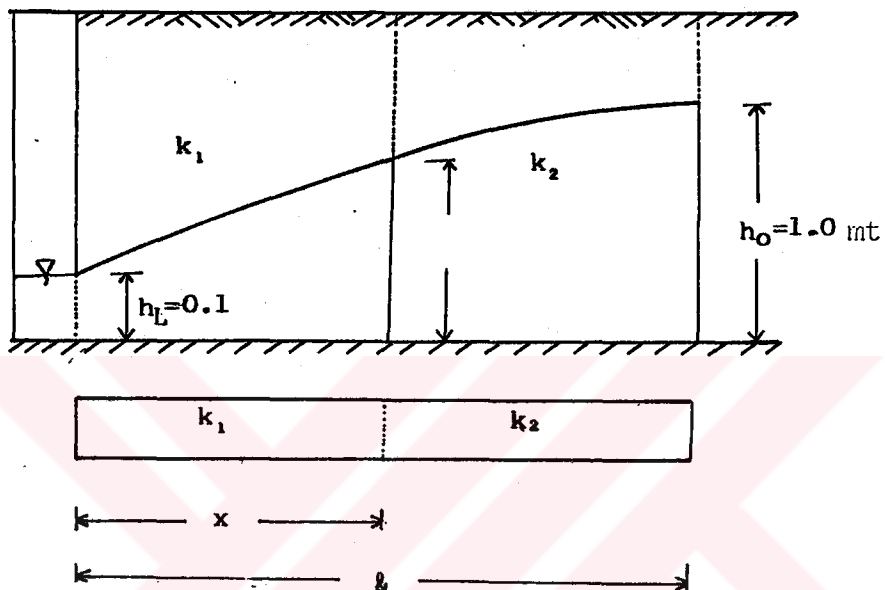
Optimum dren aralığı, verilen değerlere göre hesaplanarak, homojen olmayan zeminde nap yüzeyinin elde edilmesini sağlamıştır. Ortalama permeabilite katssayısına göre homojen zemin için de nap yüzeyi hesaplanarak Şekil -6.6 a' da izah edilmiştir. Homojen çözümle elde edilen nap yüzeyi, homojen olmayan nap yüzeyinin üzerindedir.





Iki nap yüzeyi arasındaki Δh farklı Şekil -6.6 b' de görüldüğü gibi hesaplanmıştır.

6.2.7. Permeabiliteleri farklı iki tabakalı zemin durumu



Şekil -6.7 Düşey yönde iki tabakalı zeminde dren aralığının belirlenmesi.

Verilenler

$$q = 0.044 \text{ m}^3/\text{gün/m}$$

$$h_o = 1.0 \text{ mt}$$

$$h_L = r = 0.1 \text{ mt}$$

$$k_1 = 0.4 \text{ m/gün}$$

$$k_2 = 0.8 \text{ m/gün}$$

$$D = 1.0 \text{ mt}$$

İstenen

$$L = ?$$

$$h_1 = ?$$

Çözüm

$L = 12.0 \text{ mt}$ seçilerek

$$k_{\text{ort}} = \frac{k_1 + k_2}{2} = \frac{0.4 + 0.8}{2} = 0.6 \text{ m/gün}$$

elde edilir, buna göre;

(4.11), (4.12) ve (4.13) denklemlerinden

$d = 0.83 \text{ m}$ bulunur.

(4.8) denkleminden $L = 12 \text{ mt}$ hesaplanır. Başlangıçta seçilen L doğrudu alınmıştır. Yani L ifadesi (4.8) bağıntısında sağdaki eşitliği sağlamıştır.

$\Delta x = L/2 = 12/2 = 6 \text{ mt}$ yarı dren aralığıdır.

$x = 7.0 \text{ mt}$ seçilerek (5.9) veya (5.10) denklemlerinden

$h_1 = 0.818 \text{ m}$ bulunur.

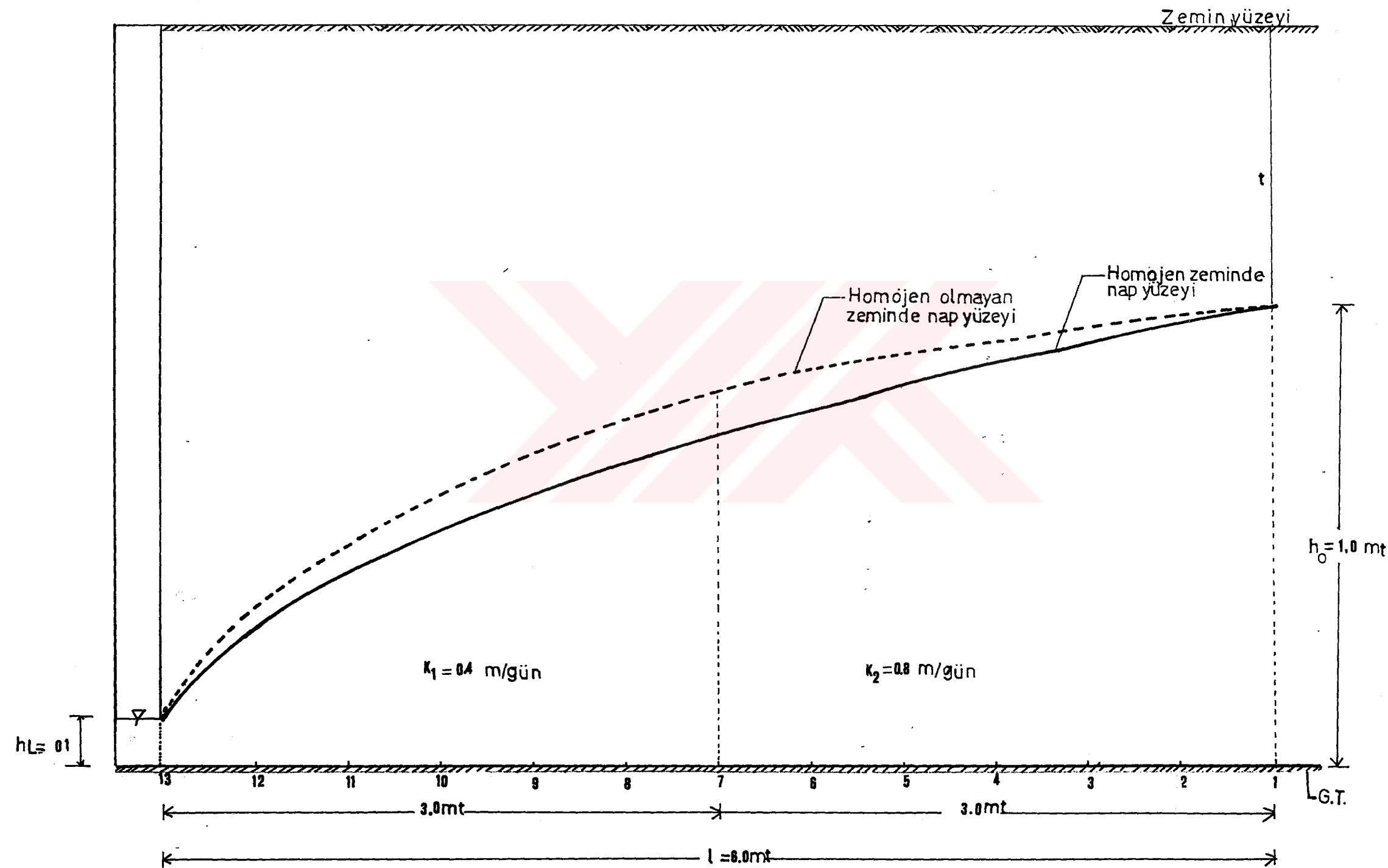
k_1 bölgesinde permeabilite katsayısı, k_2 bölgesinin permeabilite katsayılarından küçük olması nedeniyle, akımda bir yavaşlama meydana gelmektedir. k_1 ve k_2 permeabilitelerine göre nap yüzeyleri elde edilip Şekil -6.7 a' da gösterilmiştir. k_2 bölgesinin permeabilitesi büyük olması nedeniyle yeraltı suyu zemin yüzeyine doğru yükselmektedir. Permeabilitelerin ortalamasına göre nap yüzeyi tekrar hesaplanıp Şekil -6.7 a'da açıklanmıştır.

Farklı permeabiliteler içeren zeminlerde meydana gelen nap yüzeyi, ortalama permeabiliteye göre belirlenen nap yüzeyinden daha yüksektir.

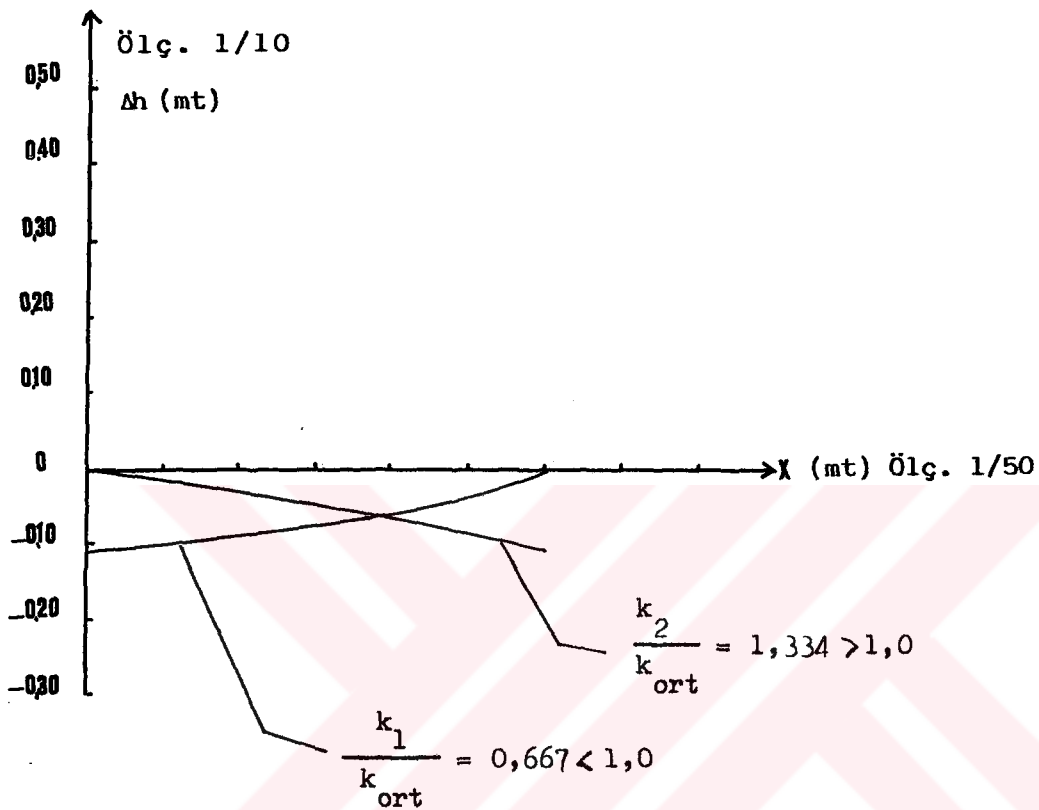
Nap yüzeyleri arasındaki Δh farkları bu nedenle negatif olup Şekil-6.7 b de gösterilmiştir. Bu nedenle Δh farklı Δx mesafesine bağlı olarak x ekseninin alt tarafında çizilmiştir.

T. G.

Yükseköğretim Kurulu
Dokümantasyon Merkezi

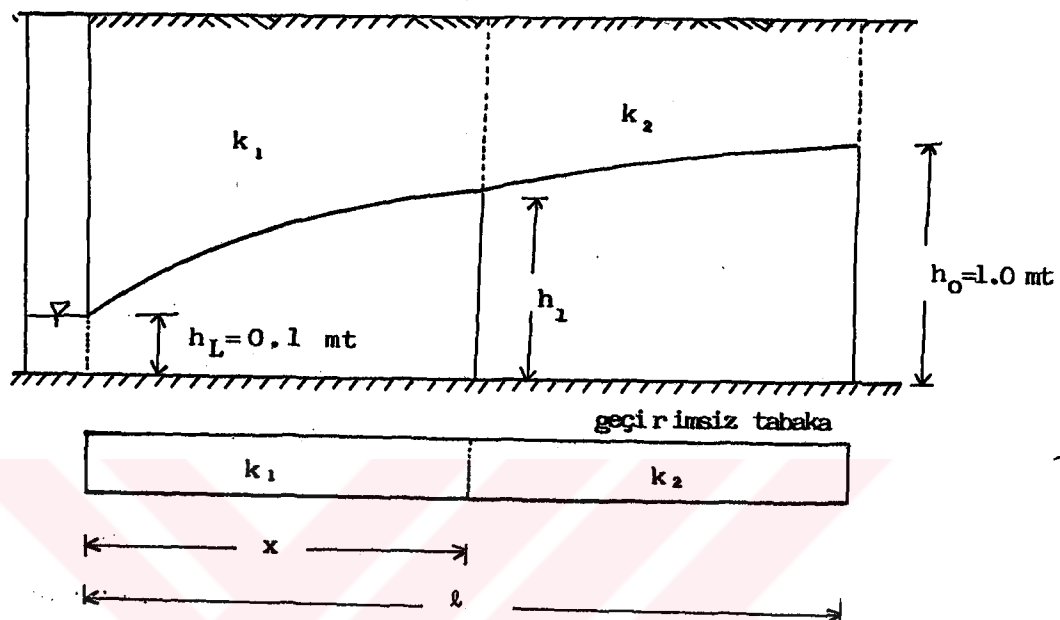


Şekil 6.7.a Homojen ve homojen olmayan zeminlerde nap yüzeyleri



Şekil 6-7b : Homojen ve homojen olmayan zeminlerde nap yüzeyleri arasındaki Δh farklıları.

6.2.8. Düşey yönde iki tabakalı zemin durumu



Şekil -6.8 Permeabiliteleri farklı zeminde dren aralığının belirlenmesi

Verilenler

$$q = 0.0113 \text{ m}^3/\text{gün/m}$$

$$h_o = 1.0 \text{ mt}$$

$$h_L = r = 0.1 \text{ mt}$$

$$k_1 = 0.2 \text{ m/gün}$$

$$k_2 = 0.8 \text{ m/gün}$$

$$D = 2.40 \text{ mt}$$

İstenen

$$L = ?$$

$$h_1 = ?$$

Cözüm

$L = 28 \text{ mt}$ seçilerek,

$$k_{\text{ort}} = \frac{k_1 + k_2}{2} = \frac{0.2 + 0.8}{2} = 0.5 \text{ m/gün}$$

(4.11), (4.12) ve (4.13) denklemlerinden

$d = 1.72 \text{ mt}$ elde edilir.

(4.8) denkleminden $L = 28 \text{ mt}$ bulunur. Başlangıçta seçilen L doğru alınmıştır.

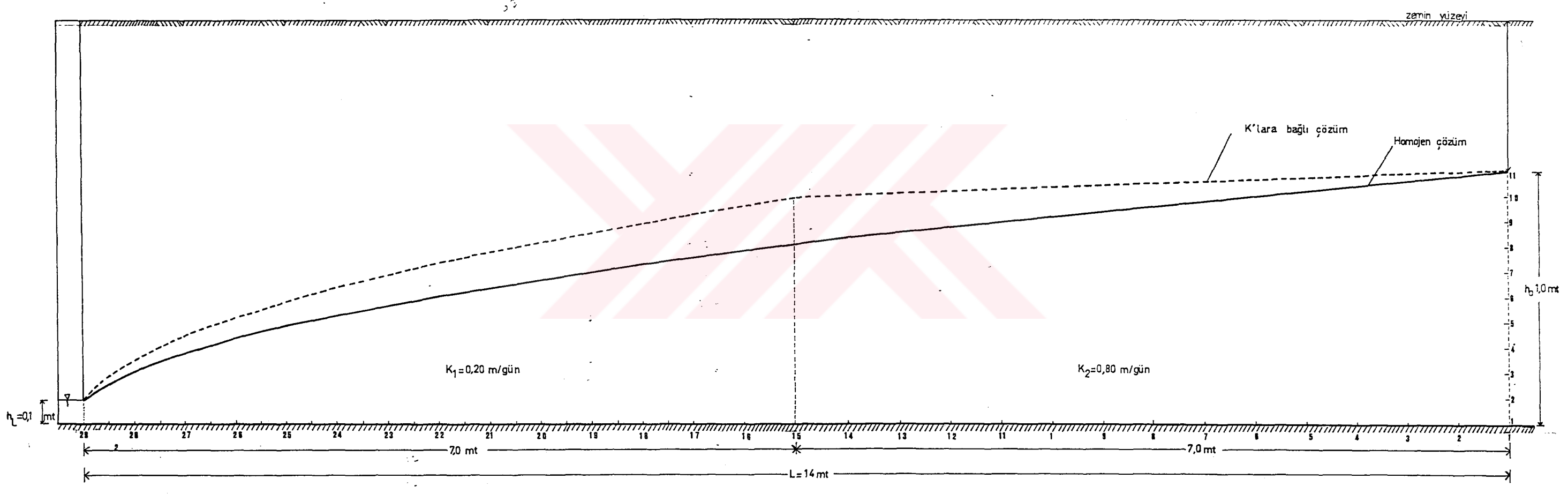
$\ell = L/2 = 28/2 = 14 \text{ mt}$ yarı dren aralığıdır.

$x = 7 \text{ mt}$ seçilerek (5.9) veya (5.10) denklemlerinden

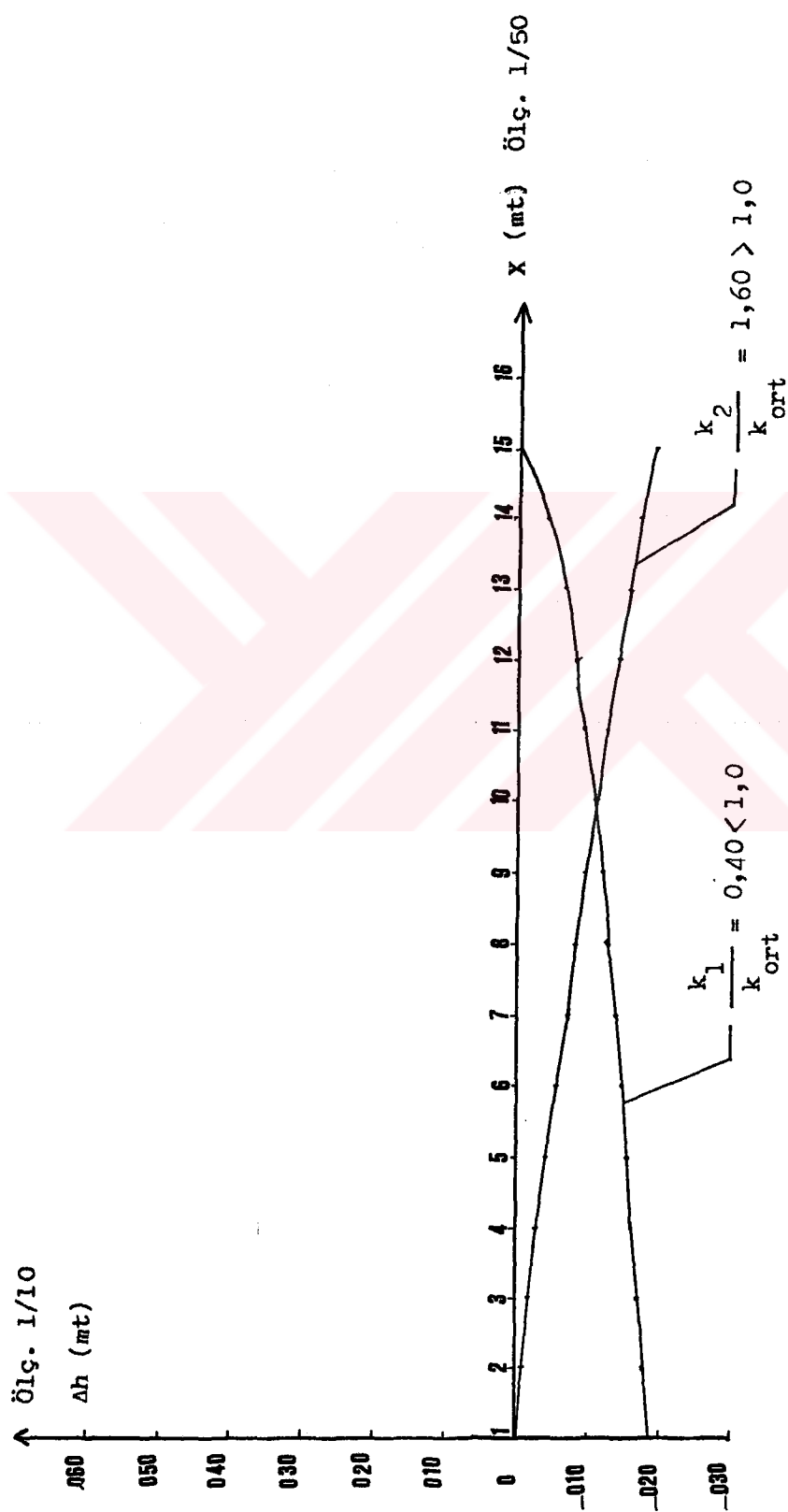
$h_1 = 0.895 \text{ mt}$ bulunur.

Dren borusu civarında bulunan zeminin, küçük permeabiliteye sahip olması nedeniyle yeraltı suyu akımını frenlemektedir. Akımda meydana gelen bu yavaşlama nedeniyle nap yüzeyinde yükselmeler olmaktadır. Düşey yönde iki tabakanın, ortalama permeabilitesine göre nap yüzeyi hesaplanmış olup farklı permeabilitelere göre elde edilen nap yüzeyi ile beraber Şekil -6.8 a' da gösterilmiştir.

Farklı permeabilitelerden oluşan k_1 ve k_2 zemin bölgelerinde nap yüzeyi, homojen çözümle (k_{ort}) elde edilen nap yüzeyinden daha yüksektir. Denklem (4.8)'den hesaplanan L dren aralığına bağlı olarak, $\ell=L/2$ boyunca iki nap yüzeyi arasındaki Δh farklı xy koordinat sistemine göre x ekseninin alt tarafında kalmıştır. Şekil -6.8 b' de görüldüğü gibi k_1/k_{ort} , x boyunca azalıp x ekseni üzerinde sıfır olmaktadır. k_2/k_{ort} ise $(\ell-x)$ boyunca artmaktadır. Homojen olmayan nap yüzeyi (k_2), ile homojen nap yüzeyi (k_{ort}) arasındaki Δh farkı artmış ve simetri ekseni üzerinde sıfır olmuştur.

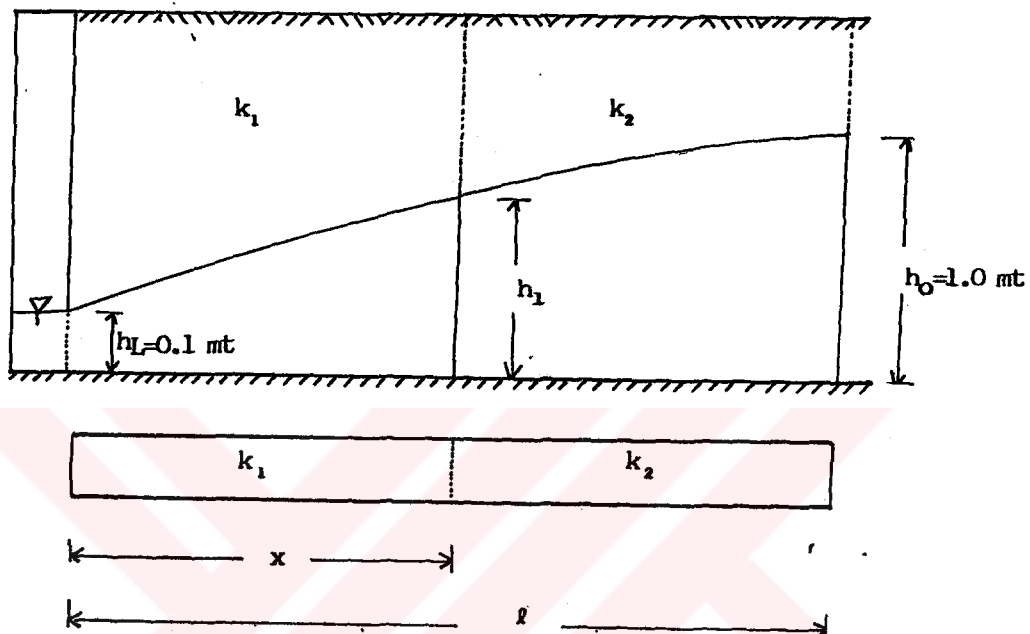


Şekil 6.8.a Homojen ve homojen olmayan zeminlerde nap yüzeyleri



Sekil 6-8b : Homojen ve homojen olmayan zeminlerde nap yüzeyleri arasındaki Δh farkları.

6.2.9. Permeabiliteleri farklı düşey yönde iki tabakalı zemin durumu



Sekil -6.9 Permeabiliteleri farklı iki tabakalı zeminde
dren aralığının hesabı

Verilenler

$$q = 0.018 \text{ m}^3/\text{gün/m}$$

$$h_O = 1.0 \text{ mt}$$

$$h_L = r = 0.1 \text{ mt}$$

$$k_1 = 0.80 \text{ m/gün}$$

$$k_2 = 0.30 \text{ m/gün}$$

$$D = 3.20 \text{ mt}$$

İstenen

$$L = ?$$

$$h = ?$$

Cözüm

$$k_{\text{ort}} = \frac{k_1 + k_2}{2} = \frac{0.8 + 0.3}{2} = 0.55 \text{ m/gün}$$

$L = 24$ mt seçildi.

Denklem (4.11), (4.12) ve (4.13)' ten

$d = 1.86$ mt bulunur.

Denklem (4.8)'den L değeri yerine yazılırsa, sol ve sağ eşitliklerin eşit olduğu görülür. Başlangıçta seçilen L doğrudur.

$$\ell = L/2 = 24/2 = 12 \text{ mt}$$

yarı dren aralığıdır.

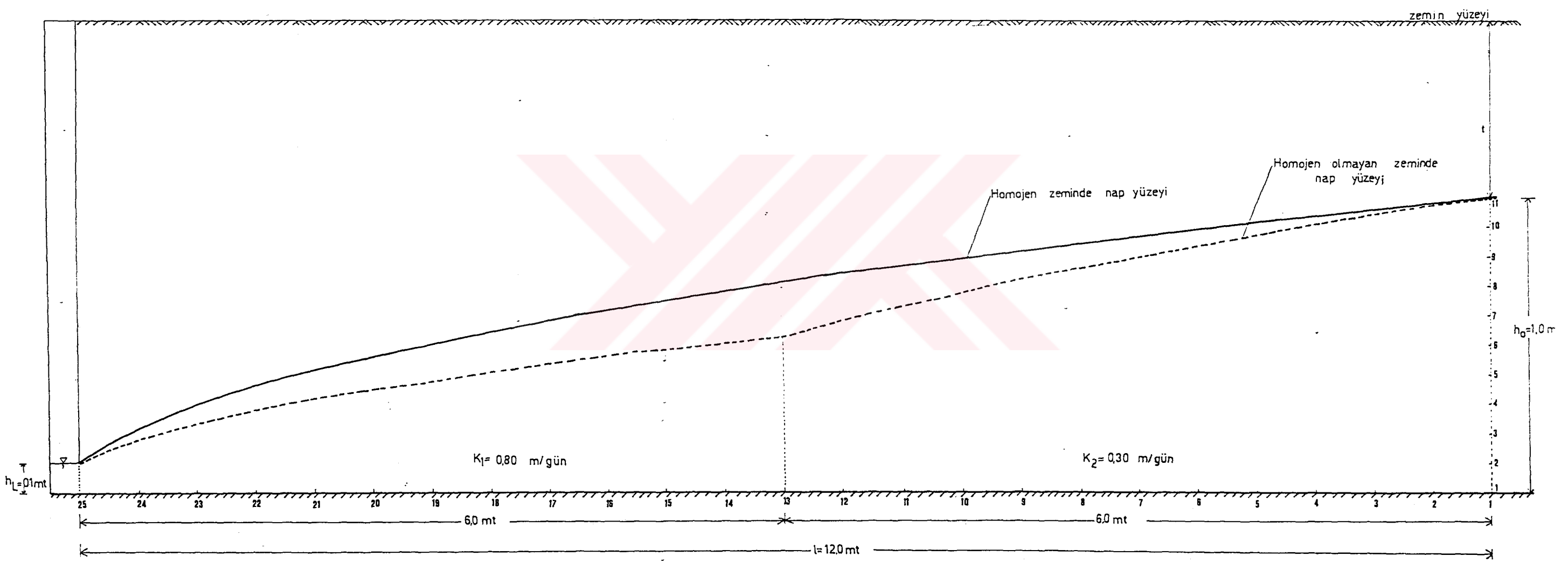
(5.9) veya (5.10) ifadelerinden $h_1 = 0.529$ mt elde edilir.

Şekil 6.9' da verilen değerlere göre ℓ ve h_1 değerleri hesaplanmıştır. k_1 ve k_2 permeabilitelere göre x ve $(\ell-x)$ boyunca nap yüzeyi belirlenip Şekil -6.9 a' da gösterilmiştir. Farklı permeabiliterin ortalaması alınarak ℓ boyunca homojen nap yüzeyi belirlenmiş, Şekil -6.9 a' da izah edilmiştir.

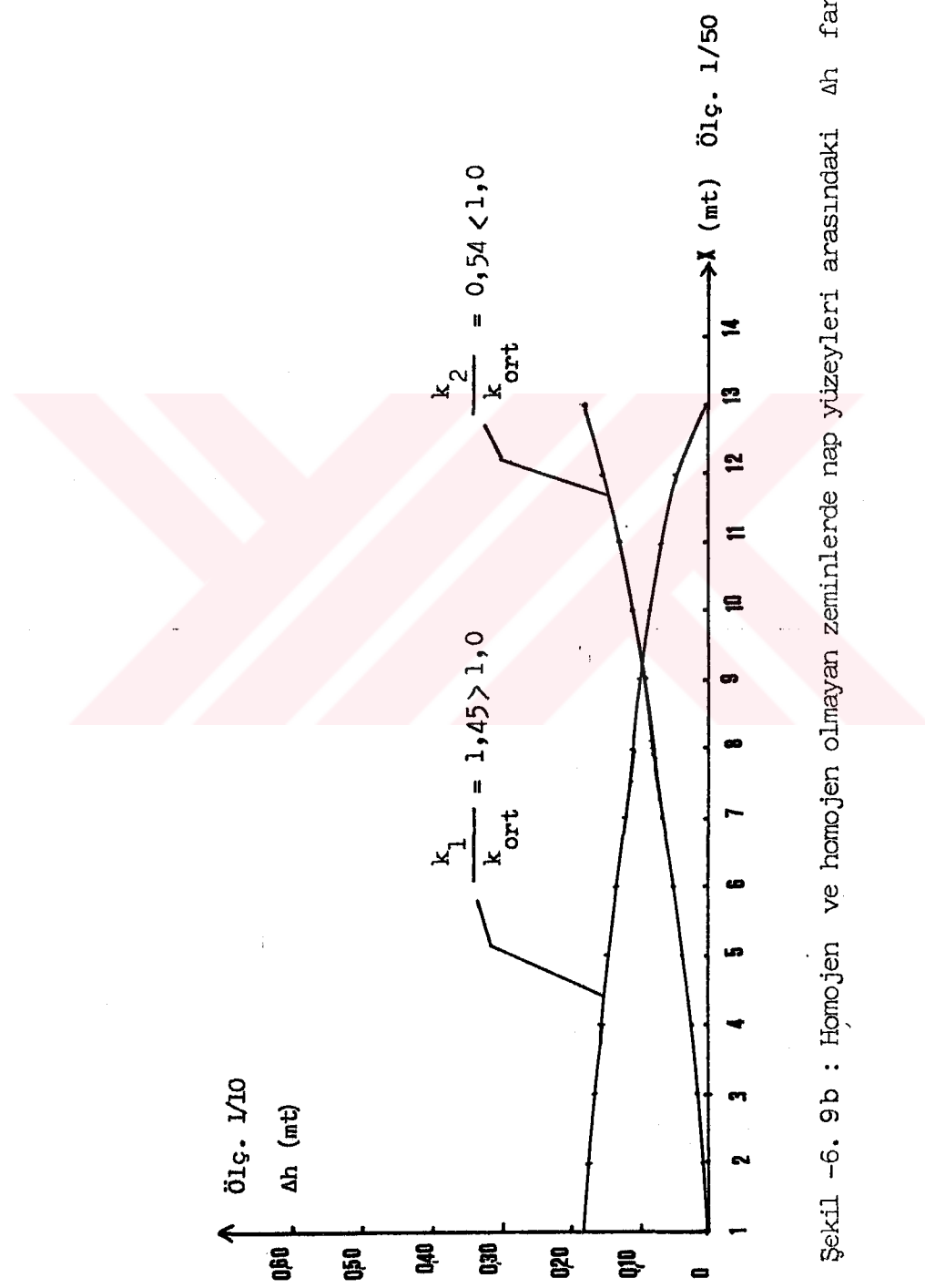
Homojen ve homojen olmayan zemin durumuna göre, Şekil -6.9 a' da belirtilen nap yüzeyleri arasındaki Δh farkları ℓ boyunca çıkarılmış ve Şekil -6.9 b'de belirtilmiştir.

Dren borusu civarında olan $k_1 = 0.8 \text{ m/gün}$ permeabiliteye sahip olan zemin, x boyunca yeraltı suyunu çabuk bir şekilde filtre etmektedir. $(\ell-x)$ zemin bölgesi ise, permeabilitesi küçük olduğundan dolayı akımda bir yavaşlama meydana getirmektedir. Böylece nap yüzeyinin yükselmesine neden olmaktadır.

Homojen nap yüzeyi, farklı permeabilitelere göre belirlenen nap yüzeyinden, yarı dren aralığı boyunca daha yüksekte olmasından dolayı Δh



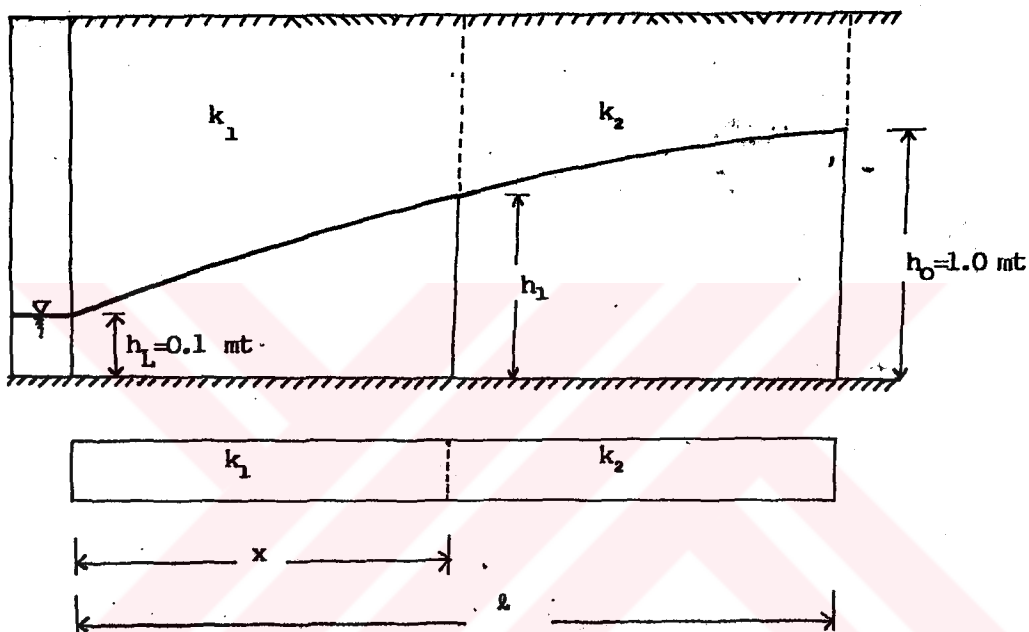
Sekil 6.9.a Homojen ve homojen olmayan zeminlerde nap yüzeyleri



Şekil -6. 9b : Homojen ve homojen olmayan zeminlerde nap yüzeyleri arasındaki Δh farklı.

farkları pozitiftir. Şekil -6.9 b' de $k_1/k_{\text{ort}} > 1$ ve $k_2/k_{\text{ort}} < 1.0$ eğrileri x eksenin üst tarafındadır.

6.2.10. Permeabiliteleri farklı iki tabakalı zemin durumu



Şekil -6.10 Permeabiliteleri farklı iki tabakalı zeminde
dren aralığının durumu

Verilenler

$$q = 0.0445 \text{ m}^3/\text{gün/m}$$

$$h_0 = 1.0 \text{ mt}$$

$$h_L = r = 0.1 \text{ mt}$$

$$k_1 = 0.9 \text{ m/gün}$$

$$D = 2.30 \text{ mt}$$

İstenen

$$L = ?$$

$$h_1 = ?$$

Gözüm

$$k_{\text{ort}} = \frac{k_1 + k_2}{2} = \frac{0.9 + 0.6}{2} = 0.75 \text{ m/gün}$$

$L = 16$ mt seçildi.

Denklem (4.11), (4.12) ve (4.13)' ten

$d = 1.40$ mt bulunur.

Denklem (4.8)'den L değeri yerine yazılırsa, sol ve sağ eşitliklerin birbirine eşit olduğu görülür. Başlangıçta seçilen $L = 16$ mt değeri doğrudur.

$\ell = L/2 = 16/2 = 8$ mt yarı dren aralığıdır.

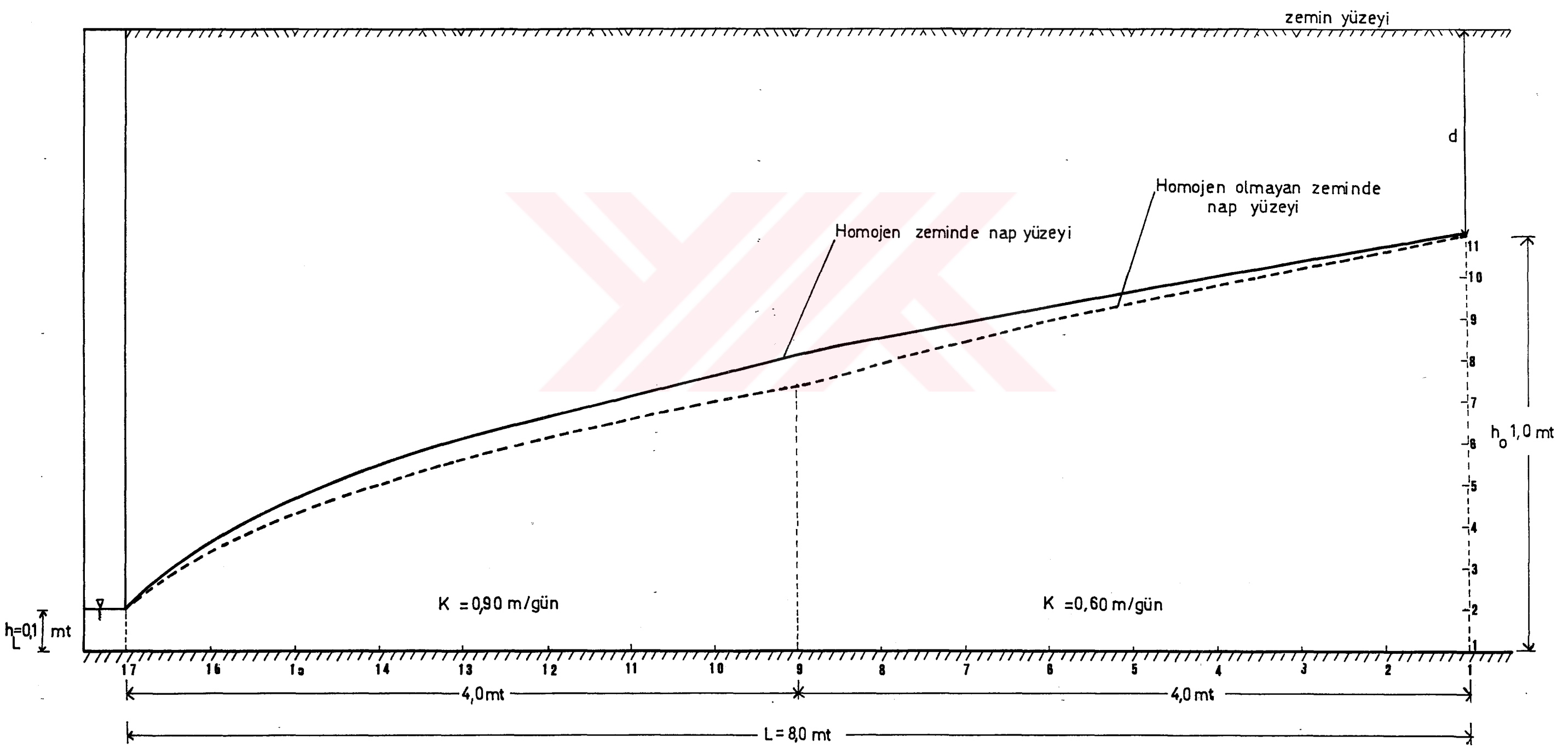
(5.9) veya (5.10) denklemlerinden $h_1 = 0.637$ mt elde edilir.

Şekil -6.10 da verilen değerlere göre, ℓ ve h_1 değerleri hesaplanmıştır. Farklı permeabilitelere göre x ve $(\ell-x)$ zemin bölgelerinde nap yüzeyleri belirlenip Şekil -6.10 a da ifade edilmiştir.

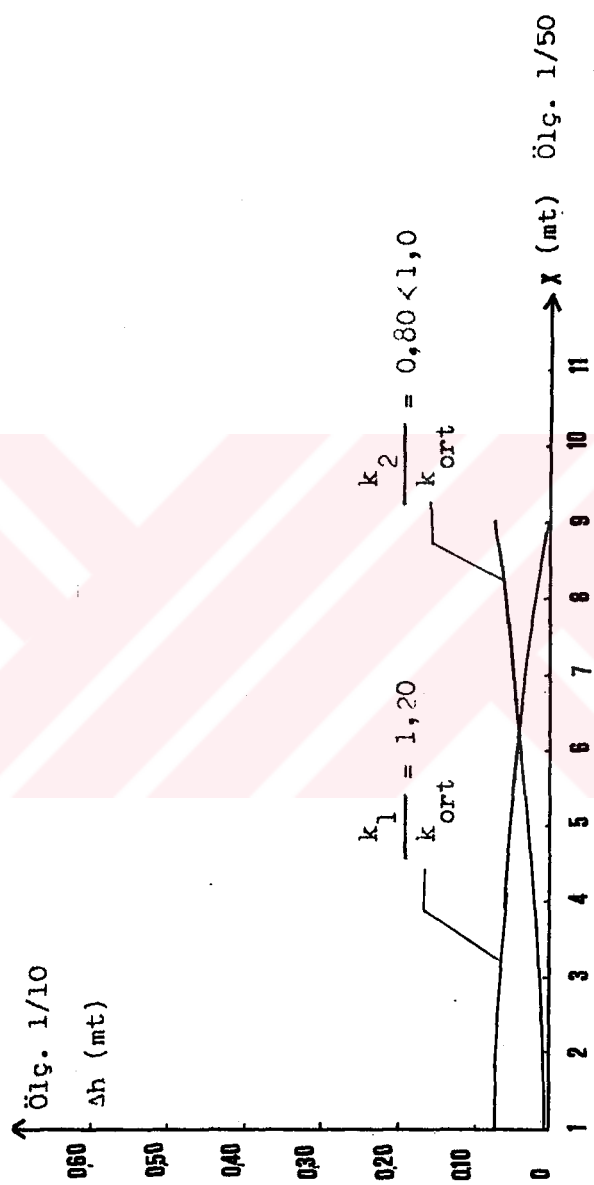
Farklı permeabiliteleri içeren zemin kitlesinin ortalaması alınarak, ℓ yarı dren aralığı boyunca homojen nap yüzeyi de hesaplanmıştır. Şekil - 6.10 a'da homojen ve farklı permeabilitelerden meydana gelen nap yüzeyleri çizilerek karşılaştırılmıştır.

Zeminin, homojen ve homojen olmayan durumuna göre nap yüzeyleri arasındaki Δh farkları Şekil -6.10 b de görüldüğü gibi ifade edilmiştir.

Permeabilitesi büyük olan zeminde, akım kolayca filtre edilerek dren borusuna girmektedir. Bu bölgede (k_1) nap yüzeyi alçak seviyedendir. Permeabilite katsayısı küçük olan zeminde, yeraltı su akımı engelendiğinden nap seviyesi zemin yüzeyine doğru yükselmektedir.

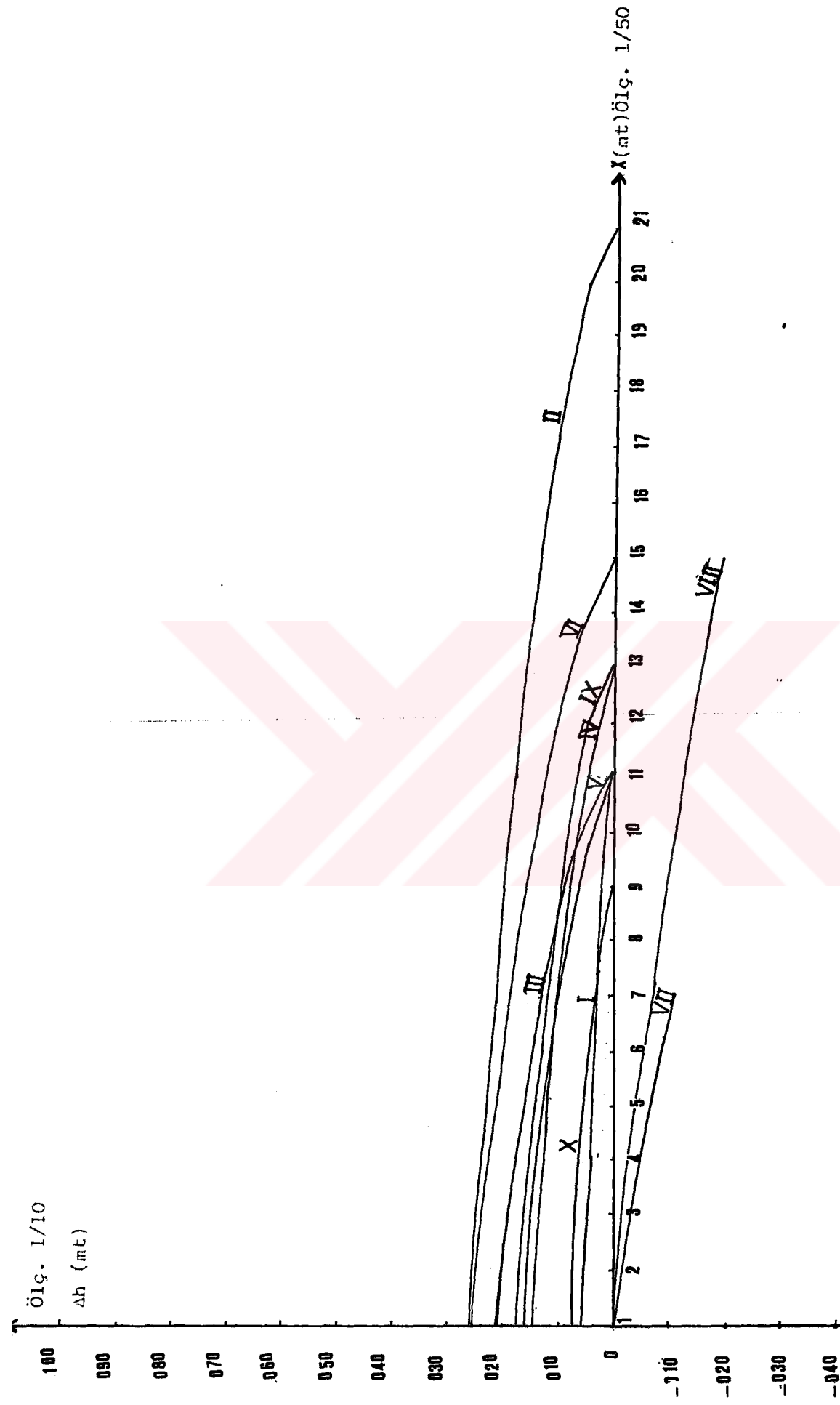


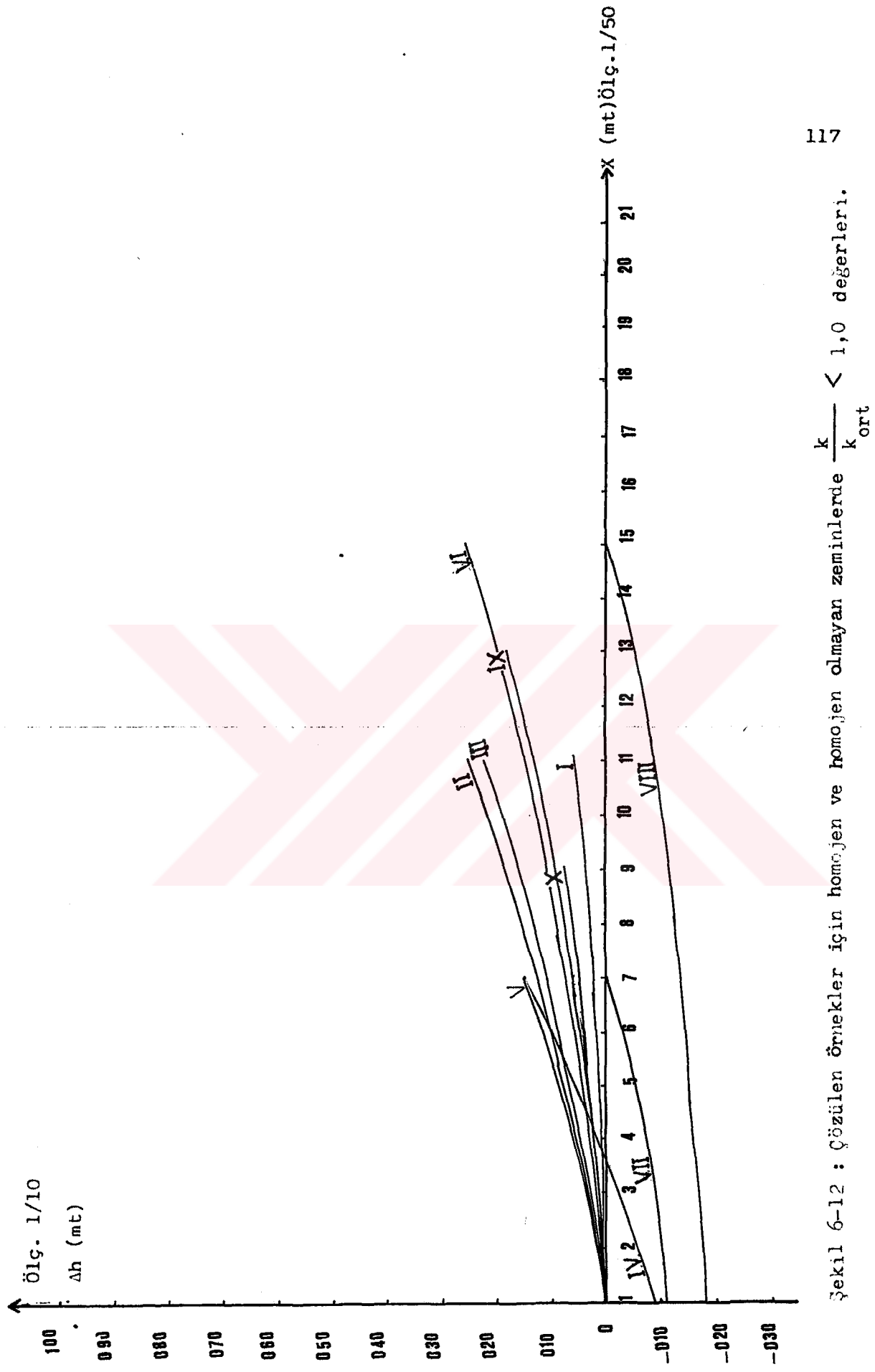
Şekil 6.10.a Homojen ve homojen olmayan zeminlerde nap yüzeyi



Şekil 6-10b : Homojen ve Homojen Olmayan Zeminlerde Nap
Yüzeyleri Arasındaki Ah Parkları.

Şekil 6-11 : Gözülen örnekler için homojen ve homojen olmayan zeminlerde $\frac{k}{k_{\text{ort}}} > 1,0$ değerleri





Şekil 6-12 : Çözülen örnekler için homojen ve homojen olmayan zeminlerde $\frac{k}{k_{\text{ort}}} < 1,0$ değerleri.

6.3. Su Yüzeyi Farkının Hesabı

Homojen ve homojen olmayan durumlarda, su yüzeyleri arasındaki Δh kot farkları k/k_{ort} değerleri için çizilen şekillerden görüleceği gibi Δh değerinin x ile değişimi lineer olarak kabul edilebilir. Bu kabul-den hareketle Δh değeri k/k_{ort} , ve x değerine bağlı olarak ifade edilebilir.

6.3.1. $k/k_{\text{ort}} > 1.0$ durumu

Eğrilerin eğimi ile k/k_{ort} değeri arasında şekil 5.13'te görüldüğü gibi lineer bir bağıntı vardır, ve aşağıdaki şekilde ifade edilebilir.

$$C_1 = \log(\tan \alpha) = 2.70 + 0.645 \frac{k_1}{k_{\text{ort}}} \dots \quad (6.1)$$

Δh kot farkı ise;

$$\Delta h = A + C_1 \cdot x \dots \quad (6.2)$$

şeklinde yazılabilir. Buradaki A sabiti ise yine k/k_{ort} değerinin bir fonksiyonudur, ve Şekil -6.14'te görüldüğü gibi, iki değişken arasında yine lineer bir bağıntı vardır. Bu bağıntı;

$$A = 0.4 \left[-1 + \frac{k_1}{k_{\text{ort}}} \right] \dots \quad (6.3)$$

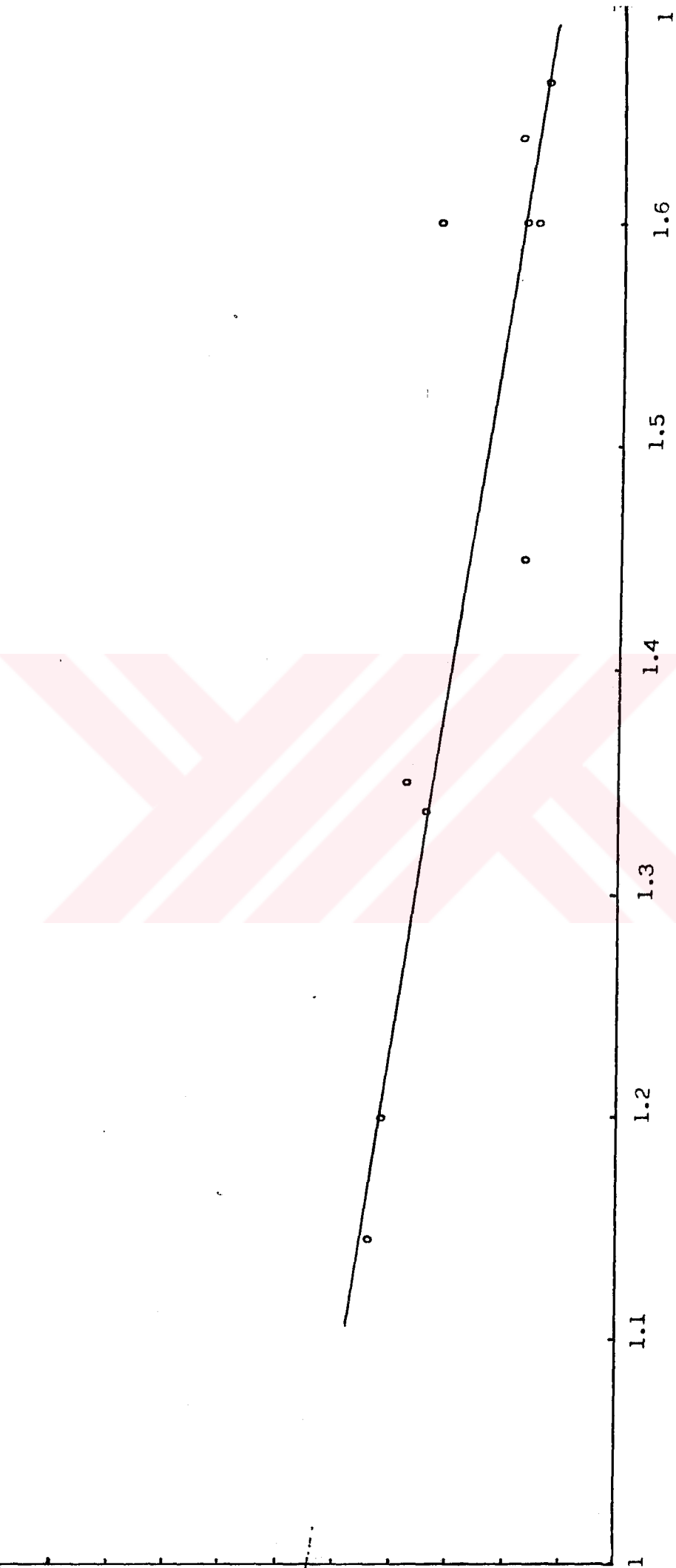
şeklinde yazılabilir. Buradan hareketle Δh değeri;

$$\Delta h = A - \left[10^{-[2.70 - 0.645 \frac{k_1}{k_{\text{ort}}}] \cdot x} \right] \dots \quad (6.4)$$

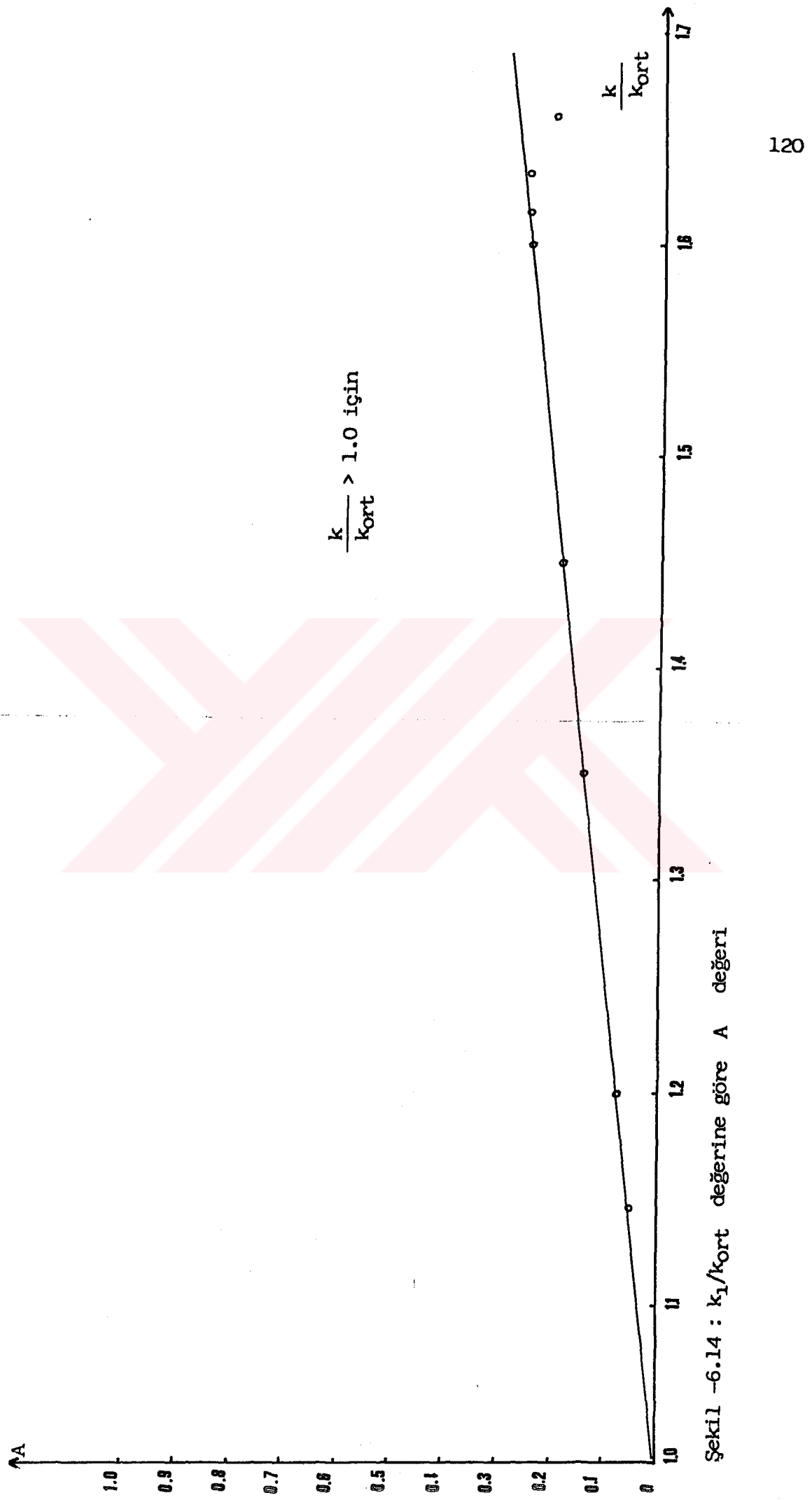
ifadesi elde edilir.

$$\frac{k_1}{k_{\text{ort}}} > 1.0 \text{ için}$$

$\log(\tan \alpha)$



Sekil -6.13 : Eğrilerin eğimi ile k/k_{ort} arasındaki ilişki ($k_1/k_{\text{ort}} > 1.0$)



6.3.2. $k/k_{\text{ort}} < 1.0$ durumu

Eğrilerin eğimi ile k/k_{ort} değeri arasında, yine bir lineer bağıntı Şekil -6.15'te görüldüğü gibi mevcuttur, aşağıdaki şekilde ifade edilebilir.

$$C_2 = \log (\tan \alpha) = 1.25 + \frac{k_2}{k_{\text{ort}}} \dots \quad (6.5)$$

Δh kot farkı ise;

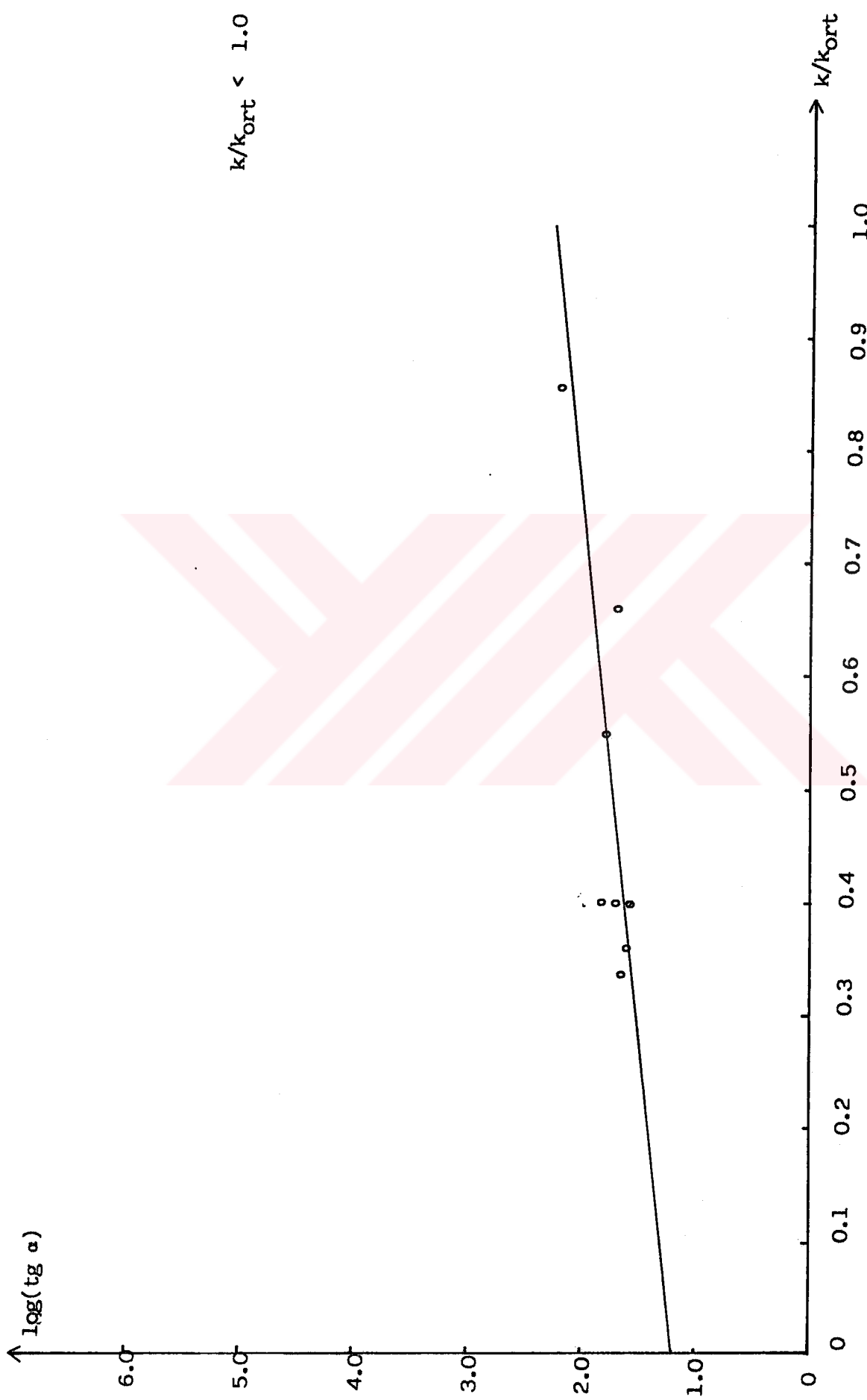
$$\Delta h = B + C_2 \cdot x \dots \quad (6.6)$$

şeklinde yazılabilir. Örneklerin çözümünden B değerinin daima sıfır olduğu sonucu elde edilmiştir. Bu duruda;

$$\Delta h = [10 - [1.25 + \frac{k_2}{k_{\text{ort}}}] \cdot x] \dots \quad (6.7)$$

ifadesi ile hesaplanabilir.

$k/k_{\text{ort}} < 1.0$ için



Sekil -6.15 : Eğrilerin eğimi ile k/k_{ort} arasındaki ilişki ($k_2/k_{\text{ort}} < 1.0$)

VII. BÖLÜM

SONUÇLAR

Dren aralığının optimizasyonunu amaçlayan bu çalışmadan, elde edilen sonuçlar aşağıdaki şekilde özetlenebilir.

Dren aralıklarının optimum hesabı için yapılan literatür araştırmalarında; bu aralığın hesabına bir çok faktörün etki ettiği görülmüştür. Bölgenin hidrolojik özellikleri, yeraltı su seviyesi, bölgenin topografik özellikleri ile toprağın kimyasal ve fiziksel özellikleri, geçirimsiz tabakanın durumu, ekilecek bitkinin kök derinliği başlıca etki faktörleridir.

Hooghoudt denklemi temel alınarak yapılan hesaplarda; yeraltı su yüksekliği maksimum seviyede alçatmadan sonra iki dren borusunun tam ortasında eğimi sıfır olmaktadır.

Homojen zemin durumunda Darcy eşitliğine bağlı olarak yeraltı su seviyesi sabit olmak şartı ile giren debi, çıkan debiye eşittir. Düşey düzleme meydana gelen akımda, akım çizgileri dren borusuna doğru birbirine yaklaşmakta, dren borusundan uzaklaşıkça paralel olarak birbirinden ayrılmaktadır. Yeraltı su seviyesi ise parabol şeklinde bir fonksiyonu ifade eder.

Homojen zeminde, dren aralıkları bir çok araştırmacı tarafından yaklaşık olarak birbirine yakın sonuçlar bulmuşlardır.

Homojen olmayan zeminlerde, yanı farklı permeabiliteden meydana gelen ve düşey yönde tabakalaşmış zeminlerde ise, k geçirimlilik katsayısına bağlı olarak yeraltı su seviyesi değişmektedir. Geçirimliliği az olan zeminlerde yeraltı suyu yükselmekte, geçirimliliği fazla olan zemin-

lerde ise yeraltı suyu daha çabuk drenen olduğundan alçak bir parabol şeklini almaktadır. Bu şartlarda dren aralıklarını etkileyen en önemli faktör zemin geçirimlilik katsayısıdır.

Dren aralıklarında oluşan akımın, iki boyutlu denklemleri çıkarılıp sonlu farklar metoduyla meydana gelen akım çizgileri çizilmiş, homojen zeminde oluşan akım çizgileri ile homojen olmayan zeminde oluşan akım çizgileri birbirinden farklı olduğu görülmüştür.

Dren borusunun döşendiği zemin bölgesinin geçirimliliği az ise, homojen zeminde yapılan çözüme göre daha fazla yükselmektedir. Farklı k' lardan oluşan nap yüksekliği ile homojen zemindeki nap yüksekliği birbirinden farklıdır. Homojen zemin durumuna göre, yapılan çözümle elde edilen nap yüzeyi ile homojen olmayan zeminde yapılan çözüm sonucu bulunan nap yüzeyleri arasındaki Δh farklarına bağlı olarak aşağıdaki bağıntılar elde edilmiştir.

a) $k/k_{ort} > 1.0$

$$\Delta h = A - [10 - [2.70 - 0.645 \frac{k_1}{k_{ort}}]] \cdot x$$

b) $k/k_{ort} < 1.0$

$$\Delta h = [10 - [1.25 + \frac{k_2}{k_{ort}}]] \cdot x$$

K A Y N A K L A R D İ Z İ N İ

- [1]. Ağıraklıoğlu, N., 1977, Sifomlu Shaft Savaklarda Akım durumunun Etüdü ve Başlık Şeklinin Belirlenmesi, Doktora Tezi, İ.T.Ü. İnşaat Fakültesi Matbaası.
- [2]. Ayyıldız, M., Drenaj Sistemlerinde Dren Aralıklarının Karşılaştırılması Üzerinde Bir Araştırma, A.Ü. Ziraat Fakültesi Yayınları, Sayı 426,
- [3]. Berkman, İ., 1965, Buzlú ve Diğer Borulu Drenaja Ait Metodlar ve Makinalar, Köyişleri Bakanlığı Topraksu Genel Müdürlüğü Yayıni, Ankara.
- [4]. Berkman İ., 1967, Dren Aralıklarının Hesaplanması Ait Bazı Nomoğraflar, Atatürk Üniversitesi Basımevi, Erzurum.
- [5]. Beyazıt, M., 1970, Mühendislik Hidroliği, Dördüncü Hidrolik Kongresi Tutanakları, Arı Kitabevi Matbaası, İstanbul.
- [6]. Çağlarer, B., 1979, Yollarda Yeraltı Suyu Drenajı, T.C. Bayındırlık Bakanlığı Karayolları Genel Müdürlüğü Yayıni, No 238.
- [7]. Çeçen, K., 1963, Dren Tesislerinin Planlanması inşası ve Bakımı için Direktifler, İ.T.Ü. İnşaat Fakültesi Matbaası, İstanbul.
- [8]. Çeçen, K., 1963, Sulama Tesisleri, İ.T.Ü. Matbaası, İstanbul.
- [9]. Demirbaş, S., 1987, Kapalı Drenaj, T.C. Tarım Orman ve Köyişleri Bakanlığı Köy Hizmetleri Genel Müdürlüğü Yayınları, Ankara.
- [10]. Drenaj, T.C. Köyişleri ve Kooperatifler Bakanlığı Topraksu Genel Müdürlüğü, Standart No. St. 1-004-69, Ankara.
- [11]. Ghali, A., and Neville, A.M., 1977, Structural Analysis, Second Edition, Newyork, July.
- [12]. Kapdaşlı, S., 1989, Kurutma Ders Notları, İ.T.Ü. İnşaat Fakültesi Anabilim Dalı, İstanbul.

K A Y N A K L A R D İ Z İ N İ (Devam)

- [13].Koutitas, G.C., Element Of Computational Hydrolitics, U.S.A, Capman and Hall, Newyork.
- [14].Luthin, J.N., 1965, Drainage Engineering Professor Of Water Sience Civil Engineering University Of California, Jhon Willy Sons, INC. P.P. 149-172 California.
- [15].Mc Wherter, D.B., and Sunada, D.K., 1977, Ground-Woter Hydrology and Hydraulics, U.S.A., Colorado.
- [16].Omay, E., 1967, Geçirimli Zeminlerdeki Sıvı Akımını Açıklayan Teorilerin Tenkidi ve Drenaj Hendegi Problemi İçin Çözüm, Doktora Tezi, İ.T.Ü. İnşaat Fakultesi Basımevi.
- [17].Savcı, E., 1982, Yeraltı Su Yüzeyinin Permanent Olmayan Alçalması, Doçentlik tezi.
- [18].Taner, N., 1967, Hidrolik Cilt III İ.T.Ü. Kütüphanesi Sayı 965, Çağlayan Basımevi.
- [19].Tarus, C., 1982, Drenaj, T.C. Köyişleri ve Kooperatifler Bakanlığı Topraksu Genel Müdürlüğü VII. Daire Başkanlığı, Ankara.
- [20].Topkaya, H., 1974, Teknik Hidrolik, Hidrodinamik ve Hidrostatik, Güven Kitabevi, Ankara.
- [21].Withers, B., and Vinand, S., 1974, Irrigation Design and Practice.

EK_1

```
10 INPUT "EKRAN=0 , YAZICI=8 ";A
20 IF A=0 THEN A$="SCRN" ELSE A$="LPT1"
30 OPEN A$+;"FOR OUTPUT AS #1
40 DEFDBL A-H:DEFINT I,J:DEFDBL K-Z
50 PRINT#1, CHR$(15)
60 REM BU PROGRAM SONLU FARKLAR METODU ILE
61 REM YERALTI SUYUNUN AKIM DEGERLERINI HESAPLAR
70 REM H0 MAKSUMUM NAP YUKSEKLIGI
80 REM HL BORU CAPI VEYA HENDEK ICINDEKI SU YUKSEKLIGI
90 REM L IKİ DREN ARASINDAKI MESAFENIN YARISI
100 REM M Y YONUNDE SECILEN DY ARALIK SAYISI
110 REM N X YONUNDE SECILEN DX ARALIK SAYISI
111 READ H0,HL,L,M,N
120 DATA 1,0.1,6,10,12
130 M=M+1:N=N+1:CARP=(H0^2-HL^2)/L
140 DIM M(M),N(N),HJ(N),YA(N),TA1(N),BA(M),XA(M),F(M,N),XI(M),TB1(M),TB(M,N),TA
(M,N),S1(M,N)
150 DY=H0/(M-1):DX=L/(N-1):IR=INT(HL/DY):IR=IR+1
160 PRINT #1,"DX=";DX,"DY=";DY
170 PRINT #1,"h0=";H0,"hl=";HL:PRINT #1,
180 PRINT#1,"J SUT SAY. ";" HER NOK.h DEG.";" DUSEYDE AR.MIK. ";" TA ORAN"
190 PRINT#1,"===== ";" =====";" =====";" ====="
200 FOR J=1 TO N
210 HJ(J)=SQR(H0^2-CARP*(J-1)*DX)
220 CA=INT(HJ(J)/DY)
230 YA(J)=HJ(J)-CA*DY
240 TA1(J)=YA(J)/DY
250 PRINT #1,USING"J(##);J,
260 PRINT #1,USING" hJ(##)=";J;
270 PRINT #1,USING"##.#####";HJ(J);
280 PRINT #1,USING" ##.#####";YA(J);
290 PRINT #1,USING" ##.#####";TA1(J)
300 NEXT J
310 IF DY>HL THEN 320
320 PRINT #1,:PRINT #1,:PRINT #1,
330 PRINT#1,"ISAT SAY";" X HER NOK.UZAK";" YATAY AR.MIK";" TB ORAN"
340 PRINT#1,"====";" =====";" =====";" ====="
350 FOR I= 2 TO M-1
360 IF (I-1)*DY<HL OR (I-1)*DY>HL THEN XI(I)=L :GOTO 410
370 XI(I)=(H0^2-((I-1)*DY)^2)/CARP
380 BA=INT(XI(I)/DX)*DX
390 XA(I)=XI(I)-BA
400 TB1(I)=XA(I)/DX
410 PRINT #1,USING"I(##);I,
420 PRINT #1,USING" XI(##)=";I,
430 PRINT #1,USING"##.#####";XI(I),
440 PRINT #1,USING" ##.#####";XA(I),
450 PRINT #1,USING" ##.#####";TB1(I)
```

```

460 NEXT I
470 FOR I=2 TO M
480 FOR J=2 TO N
490 X=(J-1)*DX:Y=(I-1)*DY
500 IF X=XI(I) THEN TB(I,N)=TB1(I):F(I,J)=.5
510 IF DY<=HL THEN TA(I,N)=TA1(J):F(I,J)=.5
520 IF X=XI(I) AND DY=HL THEN F(I,J)=.5:TB(I,J)=TB1(I):TA(I,J)=TA1(J)
530 IF (J-1)*DX>XI(I) THEN F(I,J)=1
540 TA(I,J)=1:TB(I,J)=1
550 IF X>XI(I) AND (X-XI(I))<DX THEN TB(I,J-1)=TB1(I):F(I,J)=1
560 IF Y>HJ(J) AND (Y-HJ(J))<DY THEN TA(I-1,J)=TA1(J):F(I,J)=1
570 IF I=IR AND J=N THEN F(I,J)=1:TB(I,J)=TB1(I):TA(I,J)=TA1(J)
580 IF F(I,J)<>1 THEN F(I,J)=.5
590 NEXT J
600 NEXT I
610 F(M,1)=1
620 PRINT #1,:PRINT #1,
630 FOR I=2 TO M
640 FOR J=2 TO N
650 IF TA(I,J)=1 AND TB(I,J)=1 THEN 670
660 PRINT #1,USING"##.##",TA(##, ##)=##.#### TB(##, ##)=##.##
#####";I,J,F(I,J),I,J,TA(I,J),I,J,TB(I,J)
670 NEXT J
680 NEXT I
690 PRINT #1,:PRINT #1,
700 FOR J=1 TO N:F(I,J)=0:NEXT J
710 FOR I=2 TO M-1
720 F(I,1)=2*F(I,2)-F(I,3)
730 NEXT I
740 IF DY=HL OR DY>HL THEN 780
750 FOR I=2 TO IR
760 F(I,N)=2*F(I,N-1)-F(I,N-2)
770 NEXT I
780 FOR I=2 TO M-1
790 FOR J=2 TO N-1
800 IF F(I,J)=1 THEN 870
810 A=TB(I,J)*F(I,J-1)+F(I,J+1)
820 B=(TB(I,J)*(1+TB(I,J))):'PRINT #1,TB(I,J);(1+TB(I,J));B
830 C=(F(I+1,J)+TA(I,J)*F(I-1,J)):'PRINT #1,F(I+1,J);TA(I,J);F(I-1,J);C
840 D=(TA(I,J)*(1+TA(I,J))):'PRINT #1,TA(I,J);(1+TA(I,J));D
850 E=(TA(I,J)+TB(I,J))/(TA(I,J)*TB(I,J)):'PRINT #1,TA(I,J);TB(I,J);E
860 F(I,J)=(A/B+C/D)/E :'PRINT I,J,F(I,J)
870 NEXT J
880 NEXT I
890 FOR I=2 TO M
900 FOR J=2 TO N
910 IF ABS(S1(I,J)-F(I,J))>.00001 THEN ITER=ITER+1:PRINT"ITER SAY=";ITER :GOTO 9

```

```
920 NEXT J
930 NEXT I
940 GOTO 1020
950 FOR I=2 TO M
960 FOR J=2 TO N
970 S1(I,J)=F(I,J)
980 NEXT J
990 NEXT I
1000 GOTO 710
1010 PRINT #1,:PRINT #1,
1020 PRINT#1, "ITERASYON SAYISI":ITER
1030 PRINT#1, "*****"
1040 PRINT #1,
1050 PRINT #1,"I SATIR ","J SUTUN","F(I,J) ISE I,J'KI DEGERI"
1060 PRINT #1,"-----","-----","-----"
1070 FOR I=1 TO M
1080 FOR J=1 TO N
1090 IF I=M AND J=1 THEN F(I,J)=1:GOTO 1110
1100 IF F(I,J)=1 THEN 1130
1110 F(I,J)=F(I,J)
1120 PRINT#1, I,J,F(I,J)
1130 NEXT J
1140 NEXT I
```